

บทที่ 3

ผลการทดลองและวิเคราะห์ผลการทดลอง

3.1 การสังเคราะห์อนุพันธ์ของยูจีนอล

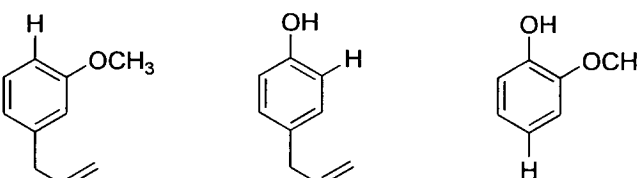
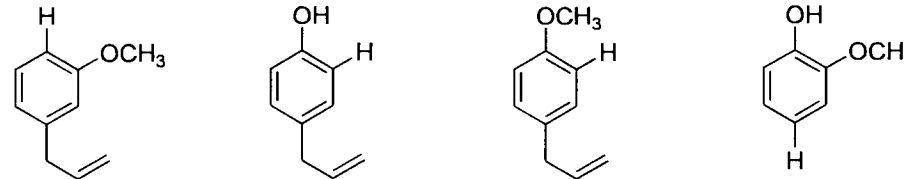
การสังเคราะห์อนุพันธ์ของยูจีนอลชนิดต่างๆ จะดำเนินการควบคู่ไปกับการศึกษาความสัมพันธ์ทางด้านโครงสร้างของสารกับฤทธิ์การเป็นยาสลบ (SAR: Structure-Activity Relationship) ซึ่งจะได้กล่าวในหัวข้อต่อไป เพื่อนำข้อมูลที่ได้มาพัฒนาและปรับปรุงเพื่อออกแบบการสังเคราะห์สารที่มีประสิทธิภาพต่อไป โดยการทดสอบในส่วนนี้ ร่วมมือกับ ผู้ช่วยศาสตราจารย์ ดร. บุญรอดน์ ประทุมชาติ และ ดร. ณอมศักดิ์ บุญรอดน์ ภาควิชาไวรัสศาสตร์ คณะวิทยาศาสตร์ มหาวิทยาลัยบูรพา อย่างไรก็ตาม อ้างอิงจากรายงานความก้าวหน้าครั้งที่ 2 จากผลการทดลองการสลบ ปลาเบื้องต้น ประกอบกับความเห็นจากผู้ทรงคุณวุฒิข้อ 2 (ข้อเสนอแนะเกี่ยวกับการทบทวนและปรับงาน คิดว่าไม่จำเป็นต้องสังเคราะห์อนุพันธ์ที่คล้ายกัน และการทดสอบประสิทธิภาพของสารที่สังเคราะห์ในสัตว์น้ำหลายๆ ชนิด มากกว่าที่จะสังเคราะห์สารจำนวนมากชนิด)

ทางผู้วิจัยจึงขอเสนอให้มีการเปลี่ยนแปลงการออกแบบอนุพันธ์บางกลุ่มเพื่อให้สอดคล้องกับการสังเคราะห์ให้มีประสิทธิภาพมากที่สุด โดยไม่ใช้เวลานานเกินไป โดยจะไม่สังเคราะห์สารบางชนิดที่มีแนวโน้มว่าจะให้ผลที่ไม่ต่างจากสารที่มีอยู่แล้ว แต่ยังคงแนวทางการออกแบบเพื่อศึกษาผลของการดัดแปรหมุ่ต่างๆ ต่อฤทธิ์การสลบในสัตว์น้ำอย่างครบถ้วน โดยจะเน้นนำสารที่มีศักยภาพดีไปทดสอบในสัตว์น้ำชนิดอื่น ได้แก่ ปลากระพง และกุ้งขาวแทน โดยจะทำการดัดแปรโครงสร้างอนุพันธ์ของยูจีนอลทั้งหมด 8 กลุ่ม ดังรายละเอียดแสดงดังนี้

1. การแทนที่หมู่แทนที่ต่างๆ ในยูจีนอลด้วยไฮโดรเจน
2. การสังเคราะห์อนุพันธ์ของยูจีนอล โดยแทนที่หมู่ไฮดรอกซีด้วยหมู่อะมิโน หรือ ชัลไฟด์
3. การสังเคราะห์อนุพันธ์ของยูจีนอล โดยแทนที่หมู่ไฮดรอกซีด้วยหมู่เมทอกซี คลอโร่หรือบromo
4. การสังเคราะห์อนุพันธ์ของยูจีนอล โดยแทนที่หมู่ไฮดรอกซีด้วยหมู่แอลกอฮอล์
5. การสังเคราะห์อนุพันธ์ของยูจีนอล โดยแทนที่หมู่เมทอกซีด้วยหมู่ต่างๆ
6. การสังเคราะห์อนุพันธ์ของยูจีนอล โดยแทนที่หมู่แอลกอฮอล์
7. การสังเคราะห์อนุพันธ์ของยูจีนอล โดยการนำยูจีนอลมาทำปฏิกิริยาต่างๆ
8. การสังเคราะห์อนุพันธ์ของยูจีนอล โดยการปรับปรุงโครงสร้าง helyxyl สำหรับมีส่วนที่ไม่สามารถสังเคราะห์ได้

กลุ่มที่ 1 การแทนที่หมู่แทนที่ต่างๆ ในยูจีนอลด้วยไฮดรอเจน

วัตถุประสงค์ : เพื่อศึกษาถึงความสำคัญของหมู่แทนที่ต่างๆ ที่อาจจะเป็น active site ต่อฤทธิ์การเป็นยาสลบในสัตว์น้ำเบื้องต้น ดังแสดงโครงสร้าง

แนวทางการออกแบบ/ปรับลด
แนวทางเดิม 
แนวทางที่เสนอใหม่ 

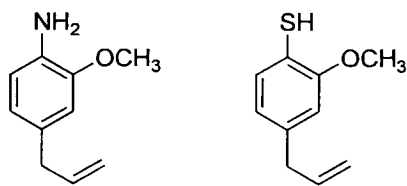
เหตุผลประกอบ : เนื่องจากการศึกษาการดัดแปลงหมู่ไฮดรอกซีด้วยหมู่เม托กซิล (P1-P13) พบว่าอนุพันธ์ที่ออกฤทธิ์ในการสลบปลากดได้ดี คือ อนุพันธ์ P5 P7 P10 และ P13 ซึ่งต่างก็เป็นหมู่เม托กซิล โดย P5 และ P7 เป็นอนุพันธ์ที่ออกฤทธิ์ได้ดีกว่ายูจีนอลที่เป็นหมู่ไฮดรอกซีมาก ประกอบกับอนุพันธ์ที่เสนอไว้เดิมนั้น มีแนวทางการสังเคราะห์ที่ค่อนข้างยาก ดังนั้นผู้วิจัยจึงเห็นว่าจะเสนอเปลี่ยนโครงสร้างจากหมู่ไฮดรอกซี (-OH) เป็นหมู่ เม托กซิ (-OCH₃) เพื่อให้สอดคล้องกับผลการทดสอบฤทธิ์การสลบปลากด ซึ่งสารนี้เป็นสารที่มีจำหน่าย ดังนั้นผู้วิจัยสามารถนำไปทดสอบฤทธิ์ได้โดยตรง

กลุ่มที่ 2 การสังเคราะห์อนุพันธ์ของญี่ปุ่นอล โดยแทนที่หมู่ไฮดรอกซีด้วยหมู่อะมิโน หรือ ชัลไฟฟ์

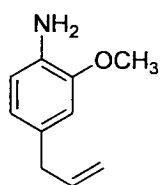
วัตถุประสงค์ : เพื่อศึกษาผลของหมู่แทนที่ที่สามารถเกิดพันธะไฮดรเจน (H-bond donor) ได้ เช่นเดียวกับ หมู่ไฮดรอกซี เช่น หมู่อะมิโน (เริ่มจากอะนิลิน) หมู่ไกโอล (เริ่มจากไทโอดีฟีนอล) เป็นต้น โดยยังคงหมู่แอลลิลและหมู่เมทอกซีภายใต้เงื่อนไขไม่เลกูล่าร์ ดังแสดงโครงสร้าง

แนวทางการออกแบบ/ปรับลด

แนวทางเดิม



แนวทางที่เสนอใหม่



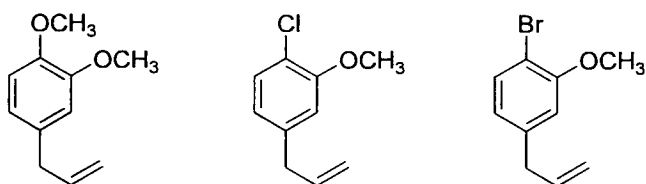
เหตุผลประกอบ : ในกลุ่มนี้จะเป็นการแทนที่หมู่ไฮดรอกซีด้วยหมู่อะมิโน หรือ ชัลไฟฟ์ เพื่อศึกษาผลของ หมู่แทนที่ที่สามารถเกิดพันธะไฮดรเจนแบบ H-bond donor ได้ ซึ่งผู้จัดเรียนว่าการเปลี่ยนจากหมู่ไฮดรอกซี เป็น หมู่อะมิโนน่าจะเพียงพอต่อการได้ข้อมูลในเชิงวิเคราะห์แล้ว จึงขอเสนอตัวการแทนที่ด้วยหมู่ชัลไฟฟ์ออก เพราะเป็น หมู่พิเศษในกลุ่มของ H-bond donor เช่นเดียวกับหมู่อะมิโน โดยอนุพันธ์ที่แทนที่ด้วยหมู่อะมิโนนี้สามารถ สังเคราะห์ได้แล้ว

กลุ่มที่ 3 การสังเคราะห์อนุพันธ์ของอะลีนอล โดยแทนที่หมู่ไฮดรอกซีด้วยหมู่เมทอกซี คลอโรหรือไบรโอม

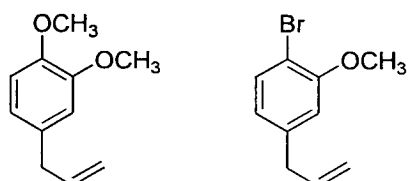
วัตถุประสงค์: เพื่อศึกษาผลของหมู่แทนที่ที่สามารถเกิดพันธะไฮดรเจน (H-bond acceptor) ได้ เช่นเดียวกับหมู่ไฮดรอกซี เช่น หมู่เมทอกซี (เริ่มจากไฟโรแครทิคอล) หมู่คลอโร ไบรโอม (เริ่มจากเออลิเบนซีน) เป็นต้น โดยยังคงหมู่แอลลิลและเมทอกซีภายใต้เงื่อนไขไม่แตกต่าง ดังแสดงโครงสร้าง

แนวทางการออกแบบ/ปรับลด

แนวทางเดิม



แนวทางที่เสนอใหม่



เหตุผลประกอบ : ในกลุ่มนี้จะเป็นการแทนที่หมู่ไฮดรอกซีด้วยคลอโรหรือไบรโอม เพื่อศึกษาผลของหมู่แทนที่ที่สามารถเกิดพันธะไฮดรเจนแบบ H-bond acceptor ได้ ในส่วนของการแทนที่ด้วยเมทอกซีนั้นมีสารแล้ว ส่วน คลอโรและไบรโอมนั้น เป็นหมู่ฟังก์ชันในกลุ่มเดียวกัน ผู้วิจัยจึงเห็นว่าการเปลี่ยนจากหมู่ไฮดรอกซี เป็น คลอโร หรือ ไบรโอม ตัวใดตัวหนึ่ง น่าจะเพียงพอต่อการได้ข้อมูลในเชิงวิเคราะห์แล้ว จึงขอเสนอสังเคราะห์เพียงชนิดใดชนิดหนึ่งเท่านั้น โดยในที่นี้ได้เลือกอนุพันธ์ของไบรโอม เนื่องจากน่าจะสังเคราะห์ได้ง่ายกว่า

กลุ่มที่ 4 การสังเคราะห์อนุพันธ์ของยูนิโอล โดยแทนที่หมู่ไฮดรอกซีด้วยหมู่แอลกอฮอล์

วัตถุประสงค์ : เป็นการเปลี่ยนไฮดรอกซีให้เป็นหมู่ไฮดรออกซ์อนที่มีขนาดยาวขึ้นเพื่อเพิ่มความเป็นไฮโดรฟิบิกในโมเลกุล เช่น หมู่เมทิล เอтиล โพร์พิล บิวทิล จนถึงเอปิทิล เพื่อศึกษาว่าหมู่แทนที่แบบไฮโดรฟิบิกจะมีผลต่อฤทธิ์การสลบอย่างไร ดังแสดงโครงสร้าง

แนวทางการออกแบบ/ปรับลด
<u>แนวทางเดิม</u>
<u>แนวทางที่เสนอใหม่</u>

เหตุผลประกอบ : ในกลุ่มนี้จะเป็นการแทนที่หมู่ไฮดรอกซีด้วยหมู่แอลกอฮอล์ ซึ่งจากผลทดสอบการสลบปลาดูกเบื้องต้นพบว่าอนุพันธ์ P5 P7 P10 และ P13 นั้นมีศักยภาพที่ดี โดยอนุพันธ์ที่มีศักยภาพดีที่สุด คือ P5 และ P7 ซึ่งมีความยาวของหมู่แอลกอฮอล์ คือ C1 และ C3 ดังนั้น อนุพันธ์ที่แทนที่ด้วย isobutyl และ tertiarybutyl จึงน่าจะให้ผลที่ไม่แตกต่างจาก sec-butyl หรือ ethyl มากนัก ผู้วิจัยจึงขอเสนอไม่สังเคราะห์สารดังกล่าว

กลุ่มที่ 5 การสังเคราะห์อนุพันธ์ของยูจีนอล โดยแทนที่หมู่เมทอกซีด้วยหมู่ต่างๆ

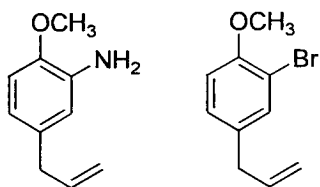
วัตถุประสงค์ : เป็นการแทนที่หมู่เมทอกซีด้วยหมู่ที่สามารถเกิดพันธะไฮโดรเจนได้ เช่น หมู่อะมิโน และ/หรือ สายโซ่carbon ที่มีขนาดยาวขึ้น เช่น หมู่อิทธิล เพื่อศึกษาว่าหมู่แทนที่แบบให้พันธะไฮโดรเจนหรือไฮโดรฟอบิกจะมีผลต่อฤทธิ์การสลบอย่างไร ดังแสดงโครงสร้าง

แนวทางการออกแบบ/ปรับลด

แนวทางเดิม



แนวทางที่เสนอใหม่



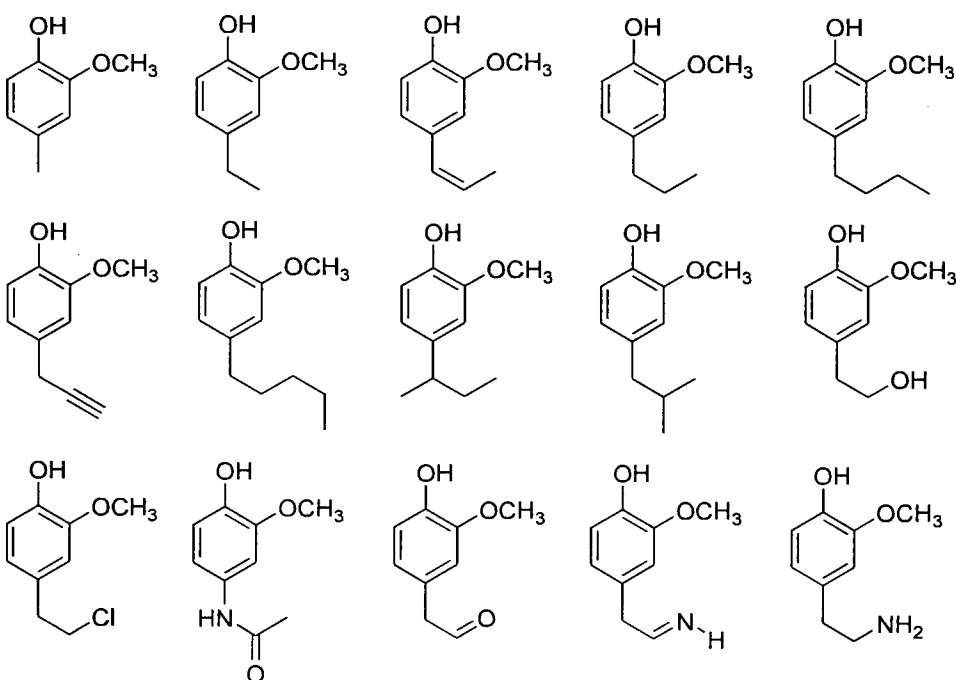
เหตุผลประกอบ : ในกลุ่มนี้จะเป็นการแทนที่หมู่เมทอกซีด้วยหมู่ต่างๆ ซึ่งจากผลทดสอบการสลบเบื้องต้น ของอนุพันธ์ P20 ทำให้ทราบว่าหมู่เมทอกซีดังกล่าวไม่น่าจะมีผลต่อฤทธิ์การสลบปala เพราะโครงสร้างของอนุพันธ์ P20 นั้นไม่มีหมู่เมทอกซี แต่ยังคงออกฤทธิ์ในการสลบ ดังนั้น ผู้วิจัยจึงเห็นว่าการดัดแปลงโครงสร้างบิวเวนน์ไม่น่าจะมีผลต่อฤทธิ์การสลบมากนัก อย่างไรก็ตาม จะขอเสนอโครงสร้างที่มีการแทนที่หมู่เมทอกซี ด้วยหมู่อะมิโน และ คลอโร่หรือโบรโรมิ ไว้เพื่อไว้เป็นข้อมูลเชิงวิเคราะห์ โดยจะขอเปลี่ยนหมู่ไฮดรอกซีเดิม เป็นหมู่เมทอกซี ตามที่ได้รับแจ้งรายละเอียดไว้ในกลุ่มที่ 1

กลุ่มที่ 6 การสังเคราะห์อนุพันธ์ของยูจีนอล โดยแทนที่หมู่แอลลิล

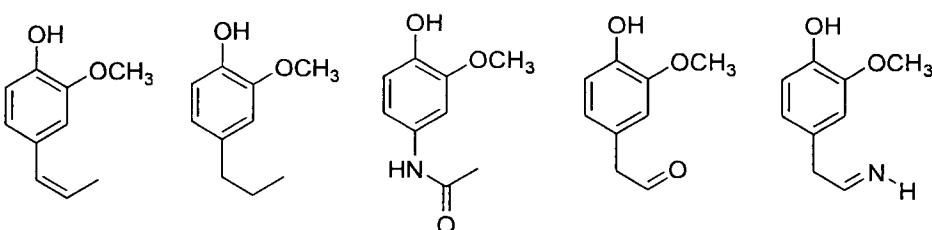
วัตถุประสงค์ : เป็นการแทนที่หมู่แอลลิลให้เป็นหมู่ไอก็อปิกนิดอื่นๆ เช่น หมู่เมทิล เอทธิล โพรพิล ไอโซ โพรพิล บิวทิล เชค-บิวทิล เทอร์เซียร์บิวทิล เป็นต้น รวมทั้งหมู่ที่มีโครงสร้างและความยาวพันธะคล้ายกับหมู่แอลลิล เช่น methylene carbonyl, methylene imine เพื่อศึกษาว่าหมู่แทนที่แบบใดจะมีผลต่อฤทธิ์การตอบอย่างไรดังแสดงโครงสร้าง

แนวทางการออกแบบ/ปรับลด

แนวทางเดิม



แนวทางที่เสนอใหม่



เหตุผลประกอบ : ในกลุ่มนี้จะเป็นการแทนที่หมู่แอลลิลด้วยหมู่ต่างๆ ซึ่งจากผลทดสอบการตอบเบื้องต้นในอนุพันธ์ P3 P4 P21 P22 (P21 และ P22 จะรายงานในความก้าวหน้าครั้งที่ 3) ซึ่งเป็นอนุพันธ์ที่ไม่มีหมู่แอลลิล จะพบว่าอนุพันธ์กลุ่มดังกล่าวไม่ออกฤทธิ์เป็นยาสลบในสตอร์น้ำ หรือออกฤทธิ์ช้ากว่ายูจีนอล ซึ่งแสดงให้เห็นว่าหมู่แอลลิลน่าจะมีความสำคัญมากในโครงสร้างของสารที่จะออกฤทธิ์เป็นยาสลบในสตอร์น้ำ ดังนั้นผู้วิจัยจึงขอเสนอการ

ออกแบบอนุพันธ์ในกลุ่มนี้ใหม่ โดยเห็นว่าควรจะคงในส่วนของหมู่แอลลิลไว้ ส่วนอนุพันธ์ที่ออกแบบโดยการเปลี่ยนหมู่แอลลิลนั้นไม่น่าจะให้ผลออกฤทธิ์เป็นยา слบที่ดีนัก จึงขอตัดออกเพื่อให้สอดคล้องกับผลการทดสอบในส่วนนี้ โดยในกลุ่มนี้จะเหลืออนุพันธ์ที่ต้องสังเคราะห์อยู่ 4 ชนิด ซึ่งมีโครงสร้างคล้ายแอลลิล กล่าวคือมีพันธะอยู่โดยจะเปลี่ยนจาก C=C เป็น C=N หรือ C=O แทน ซึ่งน่าจะทำให้บอกถึงความสำคัญของหมุนได้

กลุ่มที่ 7 การสังเคราะห์อนุพันธ์ของยูจีนอล โดยการนำยูจีนอลมาทำปฏิกิริยาต่างๆ

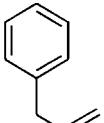
วัสดุประสงค์: เป็นการใช้ยูจีนอลเป็นสารตั้งต้น และนำมาทำปฏิกิริยาขั้นตอนเดียว เช่น ไฮโลเจนเข็นและคิลเลชัน หรือออกซิเดชัน เป็นต้น เพื่อให้ได้ออนุพันธ์ของยูจีนอลแบบต่างๆ ดังแสดงโครงสร้าง

แนวทางการออกแบบ/ปรับลด
<u>แนวทางเดิม</u>
<u>แนวทางที่เสนอใหม่</u>

เหตุผลประกอบ: ในกลุ่มนี้จะเป็นการสังเคราะห์อนุพันธ์ของยูจีนอล โดยการเติมหมุนต่างๆ เข้าไป โดยจะขอเปลี่ยนแปลงตำแหน่งในการเติมเป็นตำแหน่งออร์โธ (ortho) กับหมู่ไฮดรอกซี และขอปรับลดในกรณีของคลอร์ หรือ ไบรอมิ ซึ่งจะเลือกสังเคราะห์เพียงชนิดใดชนิดหนึ่ง เนื่องจากเป็นหมู่ฟังก์ชันในกลุ่มเดียวกัน ส่วนอนุพันธ์ชนิดสุดท้าย เสนอตัดออก เพราะเป็นการเปลี่ยนแปลงหมู่แอลลิล ดังอธิบายไว้ในกลุ่มที่ 6

กลุ่มที่ 8 การสังเคราะห์อนุพันธ์ของยูจีนอล โดยการปรับปรุงโครงสร้างหลายตำแหน่งพร้อมกัน

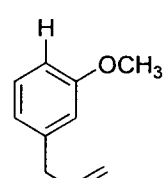
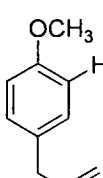
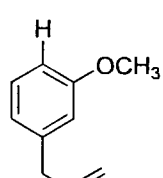
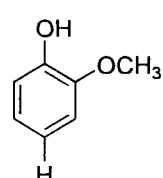
วัตถุประสงค์ : เป็นการออกแบบการปรับโครงสร้างหลายตำแหน่ง เช่น บริเวณที่เป็นหมู่ไฮดรอกซี หรือ บริเวณที่เป็นหมู่แอลลิล ซึ่งการออกแบบในหัวข้อนี้ จะเน้นอยู่กับข้อมูลผลกระทบต่อฤทธิ์ในการลบปลาของอนุพันธ์ทั้งหมด

แนวทางการออกแบบ/ปรับลด
<u>แนวทางคงเดิม</u> 

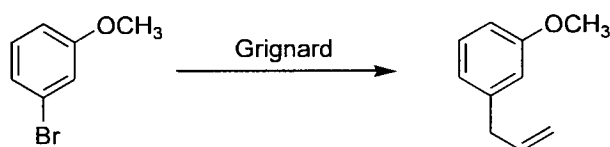
สำหรับสารอนุพันธ์ที่ทำการลบปลาลดออก รวมทั้งหมด 19 ชนิด ดังนั้น คาดว่าสารอนุพันธ์ที่นำจะเตรียมได้ทั้งหมด คงเหลือ 24 ชนิด

สำหรับการสังเคราะห์สารอนุพันธ์แต่ละชนิด มีรายละเอียดดังนี้

3.1.1 การสังเคราะห์สารอนุพันธ์กลุ่มที่ 1 การแทนที่หมู่แทนที่ต่างๆ ในยูจีนอลด้วยไฮดรเจน

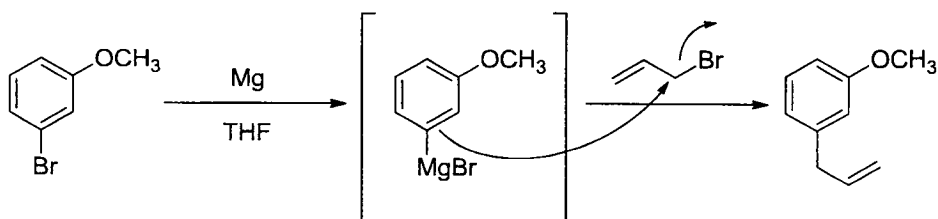
สารอนุพันธ์ที่จะสังเคราะห์			
โครงสร้าง			
Code	P27	P20	P32
Name	3-allylanisole	4-allylanisole	4-allylphenol
โครงสร้าง			
Code	P21		
Name	Guaiacol		

สารอนุพันธ์กลุ่มนี้ได้แก่ 3-allylanisole (P27) เป็นตัวแทนอนุพันธ์ของยูจีนอลที่ไม่มีหมู่ไฮดรอกซิ (-OH) 4-allylanisole (P20) เป็นตัวแทนอนุพันธ์ของยูจีนอลที่ไม่มีหมู่เมทอกซิ (-OCH₃) และแทนที่หมู่ไฮดรอกซิด้วยหมู่เมทอกซิ ส่วน Guaiacol (P21) เป็นตัวแทนอนุพันธ์ของยูจีนอลที่ไม่มีหมู่แอลลิล (-CH₂CH=CH₂) เพื่อศึกษาถึงความสำคัญของหมู่แทนที่ด่างๆ ที่อาจจะเป็น active site ต่อฤทธิ์การเป็นยาสลบในสัตว์น้ำเบื้องต้น โดยที่สารอนุพันธ์ 2 ชนิดหลังคือ 4-allylanisole เป็นสารเคมีของ Aldrich และ Guaiacol เป็นสารเคมีของ Acros Chemical จึงจัดขึ้นมาใช้ในการทดสอบฤทธิ์การเป็นยาสลบในสัตว์น้ำโดยไม่ผ่านการทำให้บริสุทธิ์ ส่วน 3-allylanisole สามารถสังเคราะห์ได้โดยเริ่มจากสารตั้งต้นคือ 3-bromoanisole ซึ่งเป็นสารที่มีจำหน่ายเปลี่ยนให้เป็น 3-allylanisole โดยการทำปฏิกิริยาบาร์เบอเจนต์ที่เป็นแหล่งของหมู่บอร์โรม โดยใช้ตัวเข้าทำปฏิกิริยาและตัวทำละลายชนิดด่างๆ เพื่อหาสภาวะที่เหมาะสมที่ทำให้เกิดปฏิกิริยาการแทนที่ด้วยหมู่บอร์โรม โดยมีแผนกรสังเคราะห์แสดงดังภาพ 3.1



ภาพ 3.1 แนวทางการสังเคราะห์ 3-allylanisole (P27)

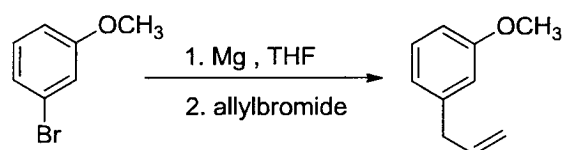
ปฏิกิริยาบินยาสามารถทำได้โดยเตรียมจากสารตั้งต้น 3-bromoanisole เป็น aryl magnesium bromide (ArMgBr) โดยใช้โลหะแมกนีเซียมรีฟลักช์ในตัวทำละลายชนิดօป্র็อติก (aprotic solvent) คือ tetrahydrofuran เมื่อผ่านไปเป็นเวลา 3 ชั่วโมง เดิม allyl bromide ซึ่งจะทำหน้าที่เป็นอิเล็กโทรไฟล์และเมื่อเวลาผ่านไป 24 ชั่วโมง สารจะมีลักษณะเป็นของแข็งสีขาวขุ่น ติดตามปฏิกิริยาด้วย TLC เปรียบเทียบระหว่างสารตั้งต้นและผลิตภัณฑ์ในระบบตัวทำละลาย hexane และ ethyl acetate ในอัตราส่วน 8 : 1 พนぐ่านแผ่น TLC จะเกิดสารผลิตภัณฑ์ขึ้นสองจุด ซึ่งสามารถตรวจสอบได้ด้วยสารละลาย KMnO₄ พบว่าจุดบนที่มีค่า $R_f = 0.69$ สามารถให้ผลบวกกับสารละลาย KMnO₄ คาดว่าจะเกิดเป็น 3-allylanisole โดยการสังเคราะห์และกลไกการเกิดปฏิกิริยาแสดงดังภาพ 3.2



ภาพ 3.2 กลไกการเกิดปฏิกิริยาแอลลิลเรชันผ่านกรินยาบาร์เบอเจนต์ของ 3-bromoanisole

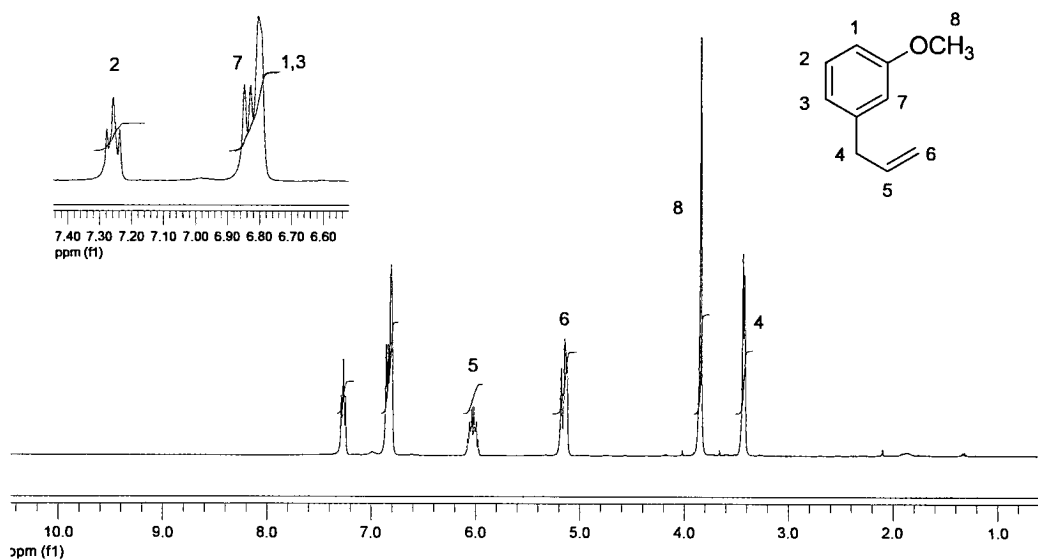
ปฏิกิริยาการเตรียม 3-allylanisole ในงานวิจัยนี้ได้ผลแสดงดังตาราง 3.1 โดยจะได้ผลผลิตประมาณร้อยละ 39.2-57.7

ตาราง 3.1 แสดงผลการเกิดปฏิกิริยากรินญา (Grignard)

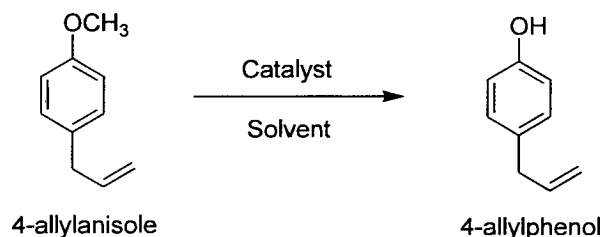


ครั้งที่	จำนวนโมล 3-bromoanisole	จำนวนโมล allyl bromide	น้ำหนักผลิตภัณฑ์	ผลผลิตร้อยละ
1	15×10^{-3}	18×10^{-3}	1.22	55.0
2	15×10^{-3}	18×10^{-3}	1.13	51.2
3	15×10^{-3}	18×10^{-3}	1.21	54.6
4	15×10^{-3}	18×10^{-3}	0.93	41.8
5	15×10^{-3}	18×10^{-3}	0.98	44.2
6	15×10^{-3}	18×10^{-3}	1.28	57.7
7	15×10^{-3}	18×10^{-3}	1.00	45.2
8	15×10^{-3}	18×10^{-3}	0.87	39.2
			เฉลี่ย	48.6

หลังจากทำการแยกสารให้บริสุทธิ์ด้วยวิธีクロมาตอกราฟีแบบคอลัมน์ จะได้สารผลิตภัณฑ์ P27 มีลักษณะเป็นของเหลวใส และพิสูจน์เอกลักษณ์ด้วยเทคนิค Nuclear Magnetic Resonance (NMR) จากผลการทดสอบพบว่ามีการแทนที่ด้วยหมู่ allyl ลงเป็นวงรองromaติก ดังแสดงในภาพ 3.3

ภาพ 3.3 ^1H NMR สเปกตรัมของ 3-allylanisole ใน CDCl_3

สำหรับการสังเคราะห์ 4-allylphenol (P32) นั้นสามารถสังเคราะห์ได้จาก 4-allylanisole ซึ่งเป็นสารที่มีจำหน่าย โดยนำมาทำปฏิกิริยา demethylation เพื่อกำจัดหมู่เมтиโลออก แสดงดังแผนภาพ 3.4



ภาพ 3.4 ปฏิกิริยา demethylation ใน การสังเคราะห์ 4-allylphenol

ในการทำปฏิกิริยา demethylation นั้นจะต้องอาศัยตัวเร่งปฏิกิริยาและสภาวะที่ค่อนข้างรุนแรง โดยได้ทำการศึกษาการสังเคราะห์วิธีต่างๆ จากเอกสารอ้างอิง ดังแสดงในตาราง 3.2 โดยปกติตัวเร่งปฏิกิริยาที่ใช้จะเป็นกรดลิวอิส หรือเบสลิวอิส เช่น aluminum chloride (AlCl_3) หรือ sodium ethanethiolate (NaSEt) [1] โดยได้ทดลองใช้ AlCl_3 ในกรณีต่างๆ (วิธีที่ 1-3) และได้ทดลองใช้เบสลิวอิส (วิธีที่ 11) ปรากฏว่าไม่สามารถสังเคราะห์ผลิตภัณฑ์ที่ต้องการได้ หรือได้สารที่มีลักษณะเป็นของผสมที่ไม่สามารถทำให้บริสุทธิ์ได้ ดังนั้นจึงได้ปรับสภาวะการทดลองโดยใช้ Lithium chloride/*N,N*-dimethylformamide (LiCl-DMF) ร่วมกับการใช้คลื่นไมโครเวฟ ซึ่งเป็นตัวเร่งปฏิกิริยาที่ค่อนข้างจำเพาะเจาะจงต่อการกำจัดหมู่เมтиโลในเมทอกซ์ (วิธีที่ 4) [2,3] อย่างไรก็ตาม ปฏิกิริยาดังกล่าวก็ไม่ประสบความสำเร็จเท่านี้ อาจจะเนื่องมาจากหมู่ฟังก์ชันแอลลิลในโครงสร้างที่รบกวนการทำปฏิกิริยา

ต่อมาจึงได้ทดลองใช้ Trimethylsilyl chloride ($(\text{CH}_3)_3\text{SiCl}$) ใน pyridine (วิธีที่ 5) และ tetra-*n*-butylammonium bromide (TBAB) ในตัวทำละลายผสมของ 48%HBr/acetic acid (วิธีที่ 6) [4] ซึ่งยังคงไม่พบผลิตภัณฑ์ที่ต้องการ หรือการใช้โลหะโซเดียม ทั้งที่มีและไม่มี 1,4,7,10,13,16-hexaoxacyclooctadecane (18-Crown-6) (วิธีที่ 7-8) [5] รวมถึงการใช้ iodocyclohexane (วิธีที่ 10) ก็ไม่ประสบความสำเร็จ และการใช้ NaSEt ก็ให้ของผสมจำนวนมากที่ไม่สามารถแยกให้บริสุทธิ์ได้ สุดท้ายได้ทดลองใช้ methyl magnesium iodide (MeMgI) ใน THF (วิธีที่ 9) [6] ผลปรากฏว่า สามารถสังเคราะห์ 4-allylphenol ได้ผลผลิตร้อยละ 70 ดังนั้นจึงสามารถสรุปได้ว่า สามารถสังเคราะห์สารอนุพันธ์ P32 ได้ โดยมีรายละเอียดดังแสดงในตาราง 3.2

ตาราง 3.2 ปฏิกิริยา demethylation ในการสังเคราะห์ 4-allylphenol

วิธี	รีเอเจนต์	ตัวทำละลาย	อุณหภูมิ (°C)	เวลา (h)	Yield (%)
1	AlCl ₃	CH ₃ CN	0	24	NR
2	AlCl ₃	CH ₂ Cl ₂	0-35	24	NR
3	AlCl ₃	EtOAc	50	24	NR
4	LiCl	DMF	MW	72	NR
5	(CH ₃) ₃ SiCl	Pyridine	35	24	NR
6	TBAB	HBr/AcOH	reflux	24	NR
7	Na	THF/NH ₃	35	48	NR
8	Na/18-Crown-6	THE	35	24	NR
9	MeMgl	THF	reflux	24	70
10	Iodocyclohexane	DMF	reflux	48	NR
11	NaSEt	DMF	reflux	3	mixture

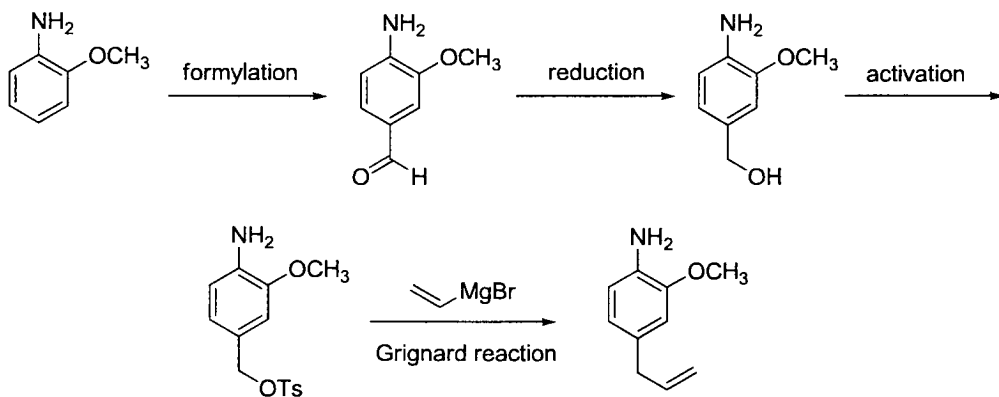
Note: NR = No reaction, MW = Microwave (100 W, 160 °C)

3.1.2 การสังเคราะห์สารอนุพันธ์กลุ่มที่ 2 การสังเคราะห์อนุพันธ์ของยูจีนอล โดยแทนที่หมู่ไฮดรอกซีด้วยหมู่อะมิโน

สารอนุพันธ์ที่จะสังเคราะห์			
โครงสร้าง			
Code	P30		
Name	4-allyl-2-methoxyaniline		

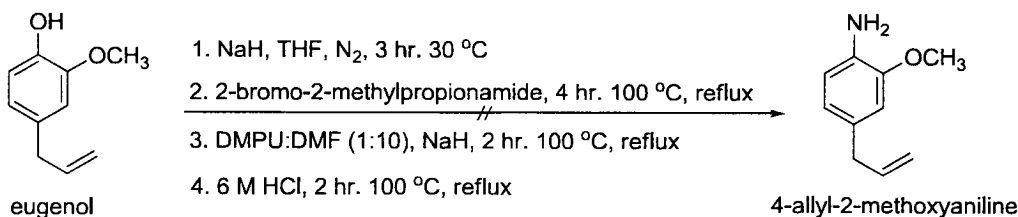
สารอนุพันธ์กลุ่มนี้ได้แก่ 4-allyl-2-methoxyaniline (P30) เป็นตัวแทนอนุพันธ์ของยูจีนอลที่มีการแทนที่หมู่ไฮดรอกซีด้วยหมู่อะมิโน เพื่อศึกษาผลของการแทนที่ที่สามารถเกิดพันธะไฮดรเจน (H-bond donor) ได้ เช่นเดียวกับหมู่ไฮดรอกซี เช่น หมู่อะมิโน (อนุพันธ์ของอะนิลิน) เป็นต้น โดยยังคงหมู่แอลกิลและหมู่เมทอกซีภายในโมเลกุลไว้ และได้ทำการสังเคราะห์ 4-allyl-2-methoxyaniline โดยมีแนวทางในการสังเคราะห์ 2 วิธี โดยวิธีแรกจะใช้

o-anisidine เป็นสารตั้งต้น จะมีแนวทางการสังเคราะห์ดังแสดงในภาพ 3.5 โดยให้ทำปฏิกิริยา formylation เพื่อแทนที่หมู่ฟอร์มิลลงบนวงเป็นชีนแล้วรีดิวซ์หมู่ออกไซด์ให้เป็นแอลกอฮอล์ จากนั้นเปลี่ยนหมู่แอลกอฮอล์ให้เป็น leaving group ที่ดี แล้วจึงนำไปทำปฏิกิริยากับ vinyl magnesium bromide เกิดการแทนที่ด้วยหมู่ไวนิลจะได้ 4-allyl-2-methoxyaniline เป็นผลิตภัณฑ์สุดท้าย อย่างไรก็ตามแนวทางนี้ไม่ได้ดำเนินการเนื่องจากมีวิธีการหลายขั้นตอน และแนวทางที่สองที่มีขั้นตอนน้อยกว่าขั้นประสบความสำเร็จด้วยดี



ภาพ 3.5 แผนการสังเคราะห์ 4-allyl-2-methoxyaniline โดยใช้ *o*-anisidine เป็นสารตั้งต้น

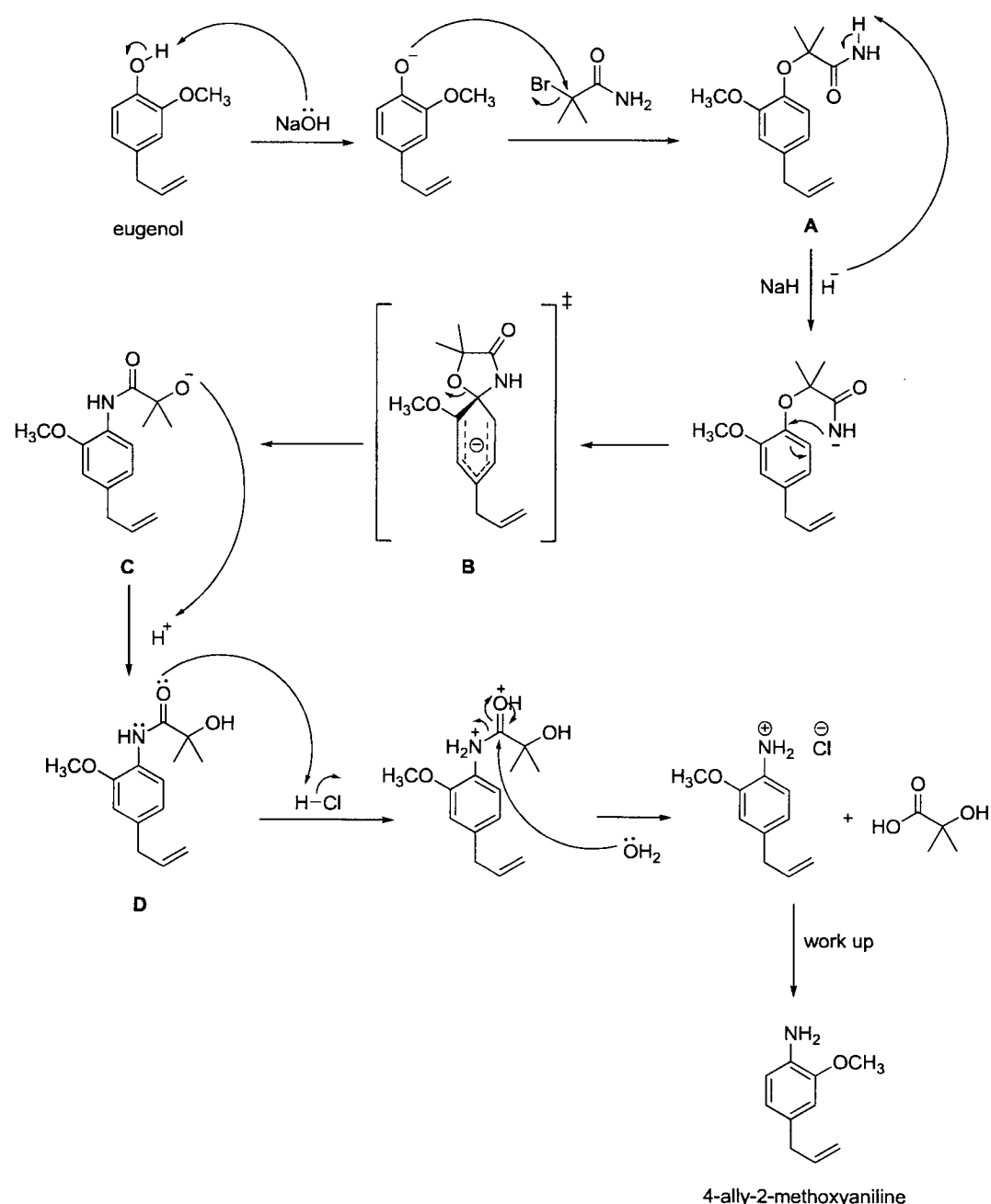
แผนการสังเคราะห์ 4-allyl-2-methoxyaniline แนวทางที่สอง คือ การใช้ยูจีนอลเป็นสารตั้งต้น โดยปฏิกิริยาที่เกิดจะเป็นการเปลี่ยนหมู่ไฮดรอกซิลเป็นสารตั้งต้น โดยทำการเปลี่ยนหมู่ไฮดรอกซี (-OH) ให้เป็นหมู่อะมิโน (-NH₂) ซึ่งจากการงานตามเอกสารอ้างอิงของ Carlo Bonini และคณะ [7] พบร่วมกับปฏิกิริยาที่สามารถเปลี่ยนหมู่ไฮดรอกซีบนวงอะโรมาติกให้เป็นหมู่อะมิโนได้ในขั้นตอนเดียว นั่นคือการทำปฏิกิริยา Smiles rearrangement ดังแสดงในภาพ 3.6



ภาพ 3.6 แผนการสังเคราะห์ 4-allyl-2-methoxyaniline โดยปฏิกิริยา Smiles rearrangement โดยใช้ยูจีนอลเป็นสารตั้งต้น

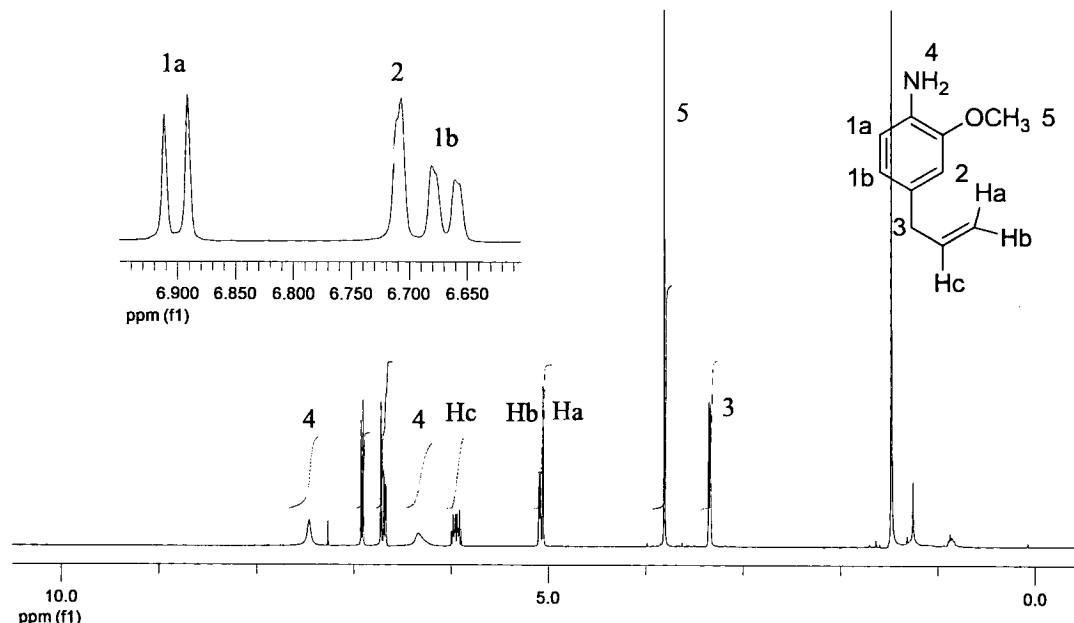
ดังนั้นจึงได้ทำการสังเคราะห์ตามวิธีของ Carlo Bonini และคณะ โดยใช้ยูจีนอลเป็นสารตั้งต้น ซึ่งในการทดลองเบื้องต้นพบว่าไม่เกิดปฏิกิริยาเป็นสารผลิตภัณฑ์ตามต้องการ จากนั้นจึงได้ทำการทดลองเปลี่ยนวิธีเอนท์ที่ใช้จากเบส NaH เป็นเบส NaOH จากผลการทดลองพบว่าสามารถเกิดปฏิกิริยาได้ โดยเริ่มจากการละลายยูจีนอลใน

THF แล้วเติม NaOH ซึ่งอ้างอิงจากงานวิจัยของ Masahiro Mizuno และคณะ [8] ตามด้วยการเติม 2-bromo-2-methylpropionamide แล้วรีฟลักซ์ที่อุณหภูมิ 100°C เป็นเวลา 4 ชั่วโมง จากนั้นเติม DMPU:DMF ในอัตราส่วน 1:10 แล้วรีฟลักซ์ต่อที่อุณหภูมิ 100°C เป็นเวลา 2 ชั่วโมง จากนั้นเติมกรด 6 M HCl แล้วรีฟลักซ์ต่ออีกที่อุณหภูมิ 100°C เป็นเวลา 2 ชั่วโมง ได้ผลิตภัณฑ์เป็น 4-allyl-2-methoxyaniline คิดเป็นร้อยละ 89.0 โดยทั้งหมดนี้เกิดขึ้นภายในภาชนะเดียวกัน (one-pot reaction) โดยปฏิกิริยา Smiles rearrangement ของยูจีโนลนี้มีกลไกการเกิดปฏิกิริยาดังแสดงในภาพ 3.7



ภาพที่ 3.7 กลไกการเกิดปฏิกิริยา Smiles rearrangement ของ 4-allyl-2-methoxyaniline

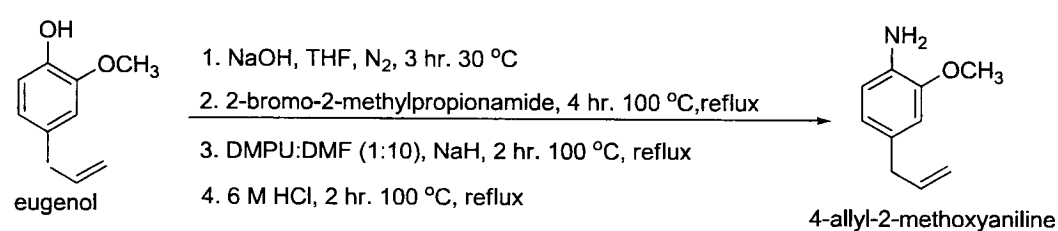
จาก ^1H NMR สเปกตรัมสามารถยืนยันโครงสร้างของ 4-allyl-2-methoxyaniline ที่ได้ด้วยเทคนิค Nuclear Magnetic Resonance (NMR) ดังแสดงในภาพ 3.8



ภาพที่ 3.8 ^1H NMR สเปกตรัมของ 4-allyl-2-methoxyaniline

ผลการสังเคราะห์ 4-allyl-2-methoxyaniline โดยใช้ปฏิกิริยา Smiles rearrangement และผลตั้งตาราง 3.3 โดยทำการทดลองทั้งหมด 8 ครั้ง ได้ผลผลิตร้อยละ 30.5-89.0 คิดเป็นค่าเฉลี่ยร้อยละ 61.2

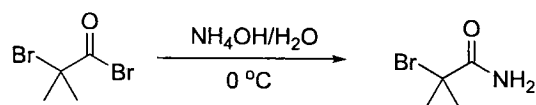
ตาราง 3.3 การสังเคราะห์ 4-allyl-2-methoxyaniline โดยปฏิกิริยา Smiles rearrangement



ครั้งที่	จำนวนโมลของยูจีโนล (mmol)	ผลิตภัณฑ์ (กรัม)	ร้อยละโดยน้ำหนัก
1	1.0	0.081	49.7
2	6.0	0.299	30.5
3	6.0	0.456	46.6
4	8.0	0.646	49.5
5	6.0	0.615	62.8
6	6.0	0.872	89.0

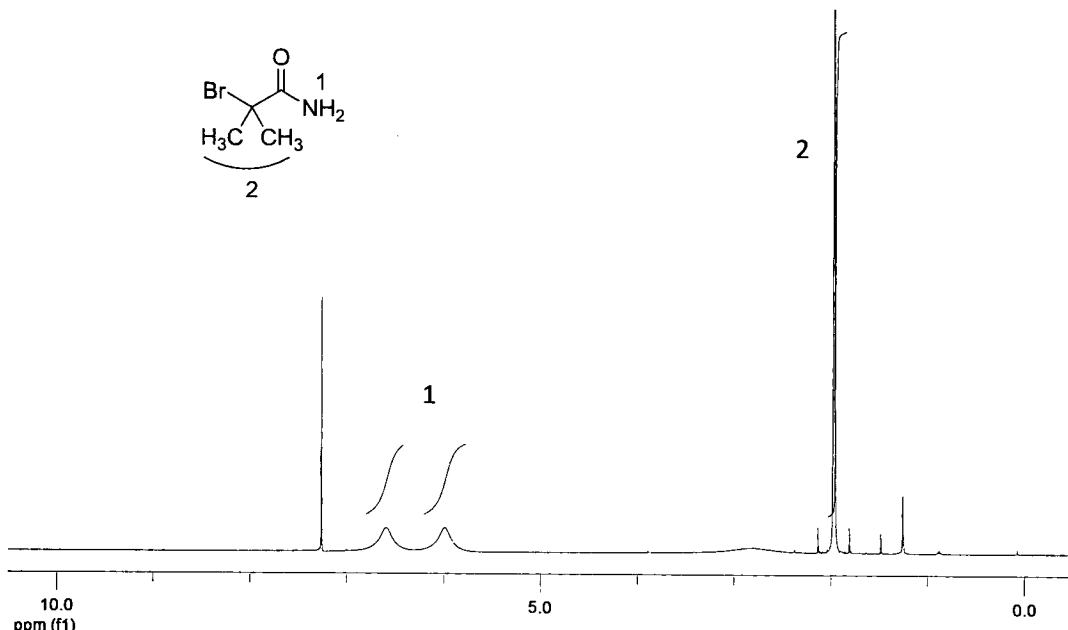
ครั้งที่	จำนวนโมลของยูจีนอล (mmol)	ผลิตภัณฑ์ (กรัม)	ร้อยละโดยน้ำหนัก
7	6.0	0.795	81.2
8	6.0	0.785	80.2
		เฉลี่ย	61.2

เมื่อพิจารณาจากกลไกการเกิดปฏิกิริยา Smiles rearrangement จะเห็นว่าเรื่องต่อไปนี้ในปฏิกิริยา คือ 2-bromo-2-methylpropionamide ซึ่งเป็นสารที่มีราคาค่อนข้างแพง (4000 บาท/5 g) ดังนั้นจึงได้ทดลองเตรียม bromoacetamide และ 2-bromo-2-methyl propionamide เพื่อศึกษาว่าจะสามารถสังเคราะห์เอกสารได้ เนื่องจากข้อดีของการใช้ bromoacetamide และ 2-bromo-2-methyl propionamide เป็นสารที่มีราคาถูกและสามารถสังเคราะห์เอกสารได้โดยใช้ 2-bromo-2-methylpropionamide ที่สามารถเตรียมได้จาก α -Bromoisobutyrylbromide (2100 บาท/100 g) ทำปฏิกิริยากับ NH_4OH ในตัวทำละลายน้ำรายละเอียดแสดงดังภาพ 3.9 โดยได้ผลผลิตร้อยละ 70.1



ภาพที่ 3.9 การสังเคราะห์ 2-bromo-2-methylpropionamide

จาก $^1\text{H-NMR}$ สเปกตัม สามารถยืนยันโครงสร้างของ 2-bromo-2-methylpropionamide ที่สังเคราะห์ได้ดังแสดงในภาพ 3.10



ภาพ 3.10 $^1\text{H-NMR}$ สเปกตัมของ 2-bromo-2-methylpropionamide

หลังจากนั้นจึงได้นำรีเอเจนต์ 2-bromo-2-methylpropionamide ที่สังเคราะห์ขึ้นเองมาใช้ในการสังเคราะห์ 4-allyl-2-methoxyaniline โดยวิธี Smiles rearrangement พนวารีเอเจนต์ที่สังเคราะห์ขึ้นเองนั้น สามารถนำมายield เทคนิคที่มีจำนวนน้ำยในเชิงพาณิชย์โดยมีร้อยละของผลผลิตอยู่ระหว่าง 23.8-59.1 คิดเป็นค่าเฉลี่ยร้อยละ 42.3 ซึ่งได้ผลการทดลองแสดงในตาราง 3.5

ตาราง 3.5 การสังเคราะห์ 4-allyl-2-methoxyaniline โดยใช้รีเอเจนต์ 2-bromo-2-methylpropionamide ที่สังเคราะห์ขึ้นมาเองในปฏิกิริยา Smiles rearrangement

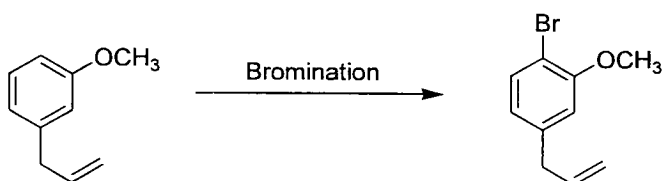
ครั้งที่	จำนวนมิลลิกรัมของเม็ด (mmol)	ผลิตภัณฑ์ (กรัม)	ร้อยละโดยน้ำหนัก
1	6.0	0.229	23.4
2	10.0	0.964	59.1
3	10.0	0.724	44.4
		เฉลี่ย	42.3

เมื่อเปรียบเทียบเที่ยบการสังเคราะห์ 4-allyl-2-methoxyaniline โดยใช้รีเอเจนต์ที่สังเคราะห์ขึ้นเองพบว่า เมื่อใช้ 2-bromo-2-methylpropionamide ที่สั่งซื้อมาจากบริษัท Aldrich จะได้ผลผลิตร้อยละของผลิตภัณฑ์เฉลี่ย 61.2 และเมื่อใช้ 2-bromo-2-methylpropionamide ที่สังเคราะห์ขึ้นเอง จะได้ผลผลิตร้อยละของผลิตภัณฑ์เฉลี่ย 42.3 ดังนั้นการใช้รีเอเจนต์ที่สังเคราะห์ขึ้นเองนั้น สามารถสังเคราะห์สารเป้าหมายได้ แม้ว่าผลผลิตร้อยละที่ได้จะน้อยกว่าในกรณีเมื่อใช้รีเอเจนต์ที่สั่งซื้อ อาจเป็นผลเนื่องมาจากการสังเคราะห์รวมทั้งการทำให้บริสุทธิ์ อาจมีสิ่งเจือปนอยู่ จึงทำให้ได้ผลผลิตร้อยละน้อยลง แต่เพื่อลดต้นทุนในการสังเคราะห์สาร การใช้รีเอเจนต์ที่สังเคราะห์ขึ้นมาเองนั้นสามารถนำมาใช้ทดแทนในการสังเคราะห์ 4-allyl-2-methoxyaniline ได้

3.1.3 การสังเคราะห์สารอนุพันธ์กลุ่มที่ 3 การสังเคราะห์อนุพันธ์ของยูจีนอล โดยแทนที่หมู่ไฮดรอกซีด้วยหมู่เมทอกซี คลอโรไฮโรบิโนไม

สารอนุพันธ์ที่จะสังเคราะห์			
โครงสร้าง			
Code	P5	P28	
Name	Methyleugenol	4-allyl-1-bromo-2-methoxybenzene	

สารอนุพันธ์กลุ่มนี้ได้แก่ methyleugenol (P5) และ 4-allyl-1-bromo-2-methoxyaniline (P28) เป็นตัวแทนอนุพันธ์ของยูจีนอลที่มีการแทนที่หมู่ไฮดรอกซีด้วยหมู่เมทอกซี และหมู่บิโนไม เพื่อศึกษาผลของหมู่แทนที่ที่สามารถเกิดพันธะไฮโดรเจน (H-bond acceptor) ได้ เช่นเดียวกับหมู่ไฮดรอกซี เช่น หมู่เมทอกซี หมู่บิโนไม เป็นต้น โดยยังคงหมู่แอลลิลและเมทอกซีภายใต้เงื่อนไขเดียวกัน สำหรับการสังเคราะห์ methyleugenol จะออกล่าวยละอีกด้วยการสังเคราะห์ในกุ่มที่ 4 เพราะปฏิกิริยาการสังเคราะห์มีความคล้ายคลึงกัน ส่วนการสังเคราะห์ 4-allyl-1-bromo-2-methoxybenzene สามารถเริ่มจาก 3-allylanisole (P27) ที่ได้ก่อให้เกิดไปแล้วในการสังเคราะห์สารอนุพันธ์กลุ่มที่ 1 โดยนำมาทำปฏิกิริยาบิโนมีนีชัน ซึ่งจะเป็นการแทนที่ไฮโดรเจนอะตอมที่ตำแหน่งออกซิโลของหมู่เมทอกซีด้วยบิโนมีนอะตอมด้วยปฏิกิริยาบิโนมีนีชัน ซึ่งจากการสืบค้นเอกสารอ้างอิง พบว่าการแทนที่บิโนมีนอะตอมลงบนวงแหวนจะไม่สามารถทำได้หลายวิธี ดังแสดงในภาพ 3.11 และตาราง 3.6



ภาพ 3.11 แนวทางการสังเคราะห์ 4-allyl-1-bromo-2-methoxybenzene

ตาราง 3.6 ตัวอย่างปฏิกิริยาใบรวมในขั้นของสารประกอบอะโนม่าติกจากการสืบค้นเอกสารอ้างอิง

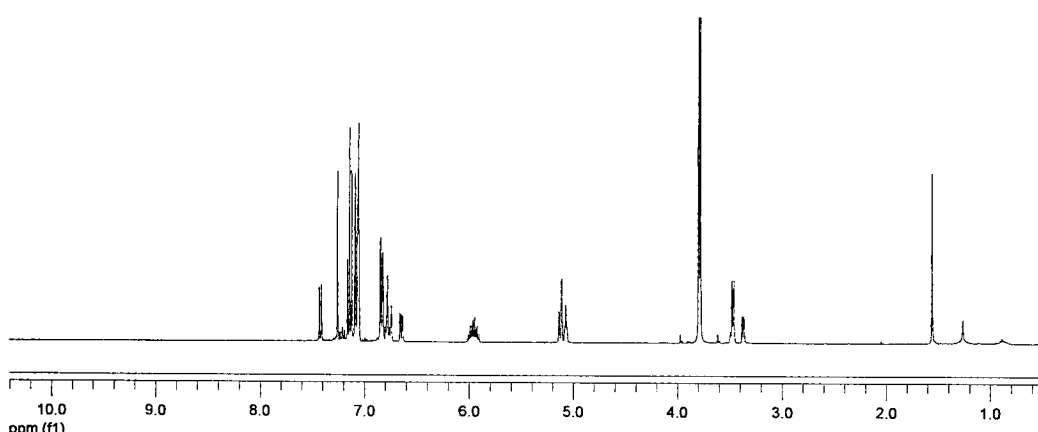
วิธี	สารตั้งต้น	สารผลิตภัณฑ์	เรื่องเจนต์	% Yield	Ref
1			HBr, DMSO, RT, 2h	96	[9]
2			LiBr, CAN, MeCN, N2	98	[10]
3			NBS, MeCN, hν	100	[11]
4			PhCH2Ph3PPhSO3, KBr, MeCN, RT	92	[12]
5			NBS, pTsOH, MeCN, RT	95	[13]
6			5 mol% Bu4NBr, HNO3	99	[14]
7			Py*HBr3, Zn	94	[15]
8			Br2, NaHCO3, Methanol	33	[16]
9			NBS, iPr2NH, CH2Cl2	86	[17]

และการศึกษาปฏิกิริยาบอร์มิเนชันต่างๆ ตามเอกสารอ้างอิง จึงได้ทดลองโดยมีการปรับสภาวะแวดล้อมทำละลาย ดังแสดงในตาราง 3.7 นี้

ตาราง 3.7 สภาวะที่ใช้ในการทดลองปฏิกิริยาบอร์มิเนชันของ 3-allylanisole

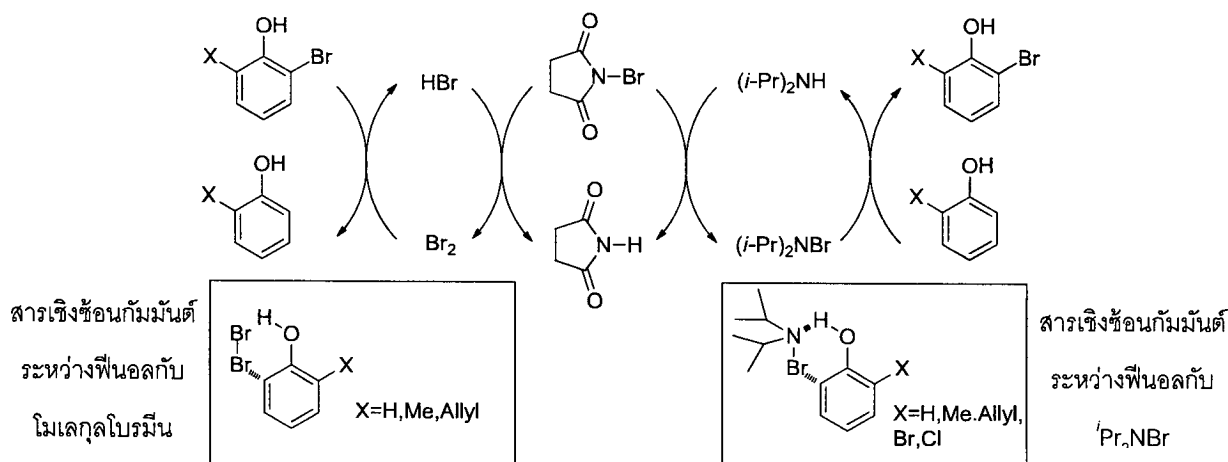
วิธี	เรอเจนต์	สารเติมแต่ง	ตัวทำละลาย	สภาวะ	Ref	% Yield
1	NBS	-	DMF	N ₂ , 0 °C	[11]	-
2		-	MeCN	N ₂ , RT	[11]	-
3		-	THF	N ₂ , 0 °C	[11]	-
4		(i-Pr) ₂ NH	CH ₂ Cl ₂	0 °C	[17]	-
5		p-TsOH	MeCN	RT	[13]	-
6	HBr	-	DMSO	RT	[9]	-
7		CH ₃ COOH	DMSO	RT	[9]	-
8	Br ₂	FeCl ₃	MeCN	0 °C	-	-
9	Py·HBr ₃	Zn	-	RT ถึง 60 °C	[15]	54.6

จากตาราง 3.7 พบว่าวิธีที่ 1-3 จะใช้ NBS ในตัวทำละลายชนิดต่างๆ ได้แก่ dimethyl-formamide (DMF) acetonitrile (MeCN) และ tetrahydrofan (THF) จากผลการทดลองพบว่า ไม่ได้ผลิตภัณฑ์ตามต้องการ ซึ่งคาดว่าในงานวิจัยนี้ใช้สารตั้งต้นเป็น 3-allylanisole ซึ่งต่างจากเอกสารอ้างอิง ซึ่งใช้ anisole ซึ่งเป็นสารอะโรมาติกอย่างง่าย เป็นสารตั้งต้น ในขณะที่ 3-allylanisole จะมีส่วนของหมู่ allyl ที่อาจเกิดการแทนที่ที่ตำแหน่ง benzyl (Ph-CH₂-R) หรือเกิดการเติมที่พันธะคู่ของหมู่แลลลิล ทำให้เกิดผลิตภัณฑ์หลายชนิดที่ยากต่อการทำให้บริสุทธิ์ ดังแสดงในตัวอย่างของ ¹H NMR สเปกตรัมของของสมของปฏิกิริยาดังกล่าวใน CDCl₃ ในภาพ 3.12



ภาพ 3.12 ตัวอย่าง ¹H NMR สเปกตรัมของของสมใน CDCl₃

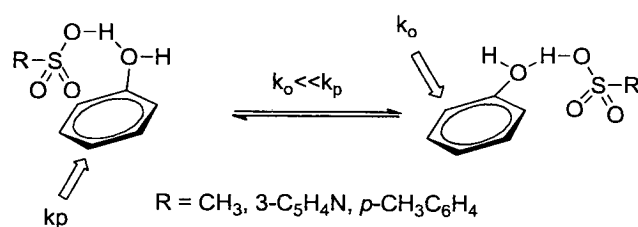
ดังนั้นผู้วิจัยจึงได้สืบค้นเอกสารอ้างอิงเพิ่มเติม พบว่า Calo V. และคณะ [10] ได้ใช้ iso-propylamine เป็นสารเติมแต่ง เพื่อเห็นช่องทางที่เกิดการแทนที่ของบอร์มีนอะตอมที่ตำแหน่งออกซิเจนโดยหมู่ไฮดรอกซีของอนุพันธ์ฟีโนล โดยใช้ NBS ร่วมกับ diisopropylamine จะเกิดเป็นสารมัธยัณฑ์ *N*-bromo-*N*-isopropylpropane-2-amine ซึ่งสามารถเกิดพันธะไฮดรเจนระหว่างในโครงสร้างอะตอมกับหมู่ไฮดรอกซีบันทางอะโรมาติก ทำให้เกิดจีโอมิทรีเมะสมในการเกิดการแทนที่ของบอร์มีนอะตอมที่ตำแหน่งออกซิเจนโดยกลไกการเกิดปฏิกิริยาแสดงดังภาพ 3.13



ภาพ 3.13 แสดงกลไกการเกิดปฏิกิริยาบอร์มีนเข้มโดยใช้ diisopropylamine เป็นสารเติมแต่ง [10]

โดยตามรายงานจากเอกสารอ้างอิง สามารถสังเคราะห์ได้ผลิตภัณฑ์ได้ถึงร้อยละ 86 ดังนั้นผู้วิจัยจึงได้ประยุกต์ใช้วิธีนี้ในการสังเคราะห์สารเป้าหมาย (วิธีที่ 4) แต่พบว่าปฏิกิริยาดังกล่าวไม่ประสบความสำเร็จ ทั้นคือค่าว่าสารตั้งต้นที่ใช้เป็นอนุพันธ์ของอะนิโซล ซึ่งมีหมู่เมทธอกซี (-OCH₃) แทนหมู่ไฮดรอกซี (-OH) ทำให้ไม่สามารถเกิดพันธะไฮดรเจนได้ดังกล่าวที่แสดง จึงไม่เกิดผลิตภัณฑ์ตามต้องการ

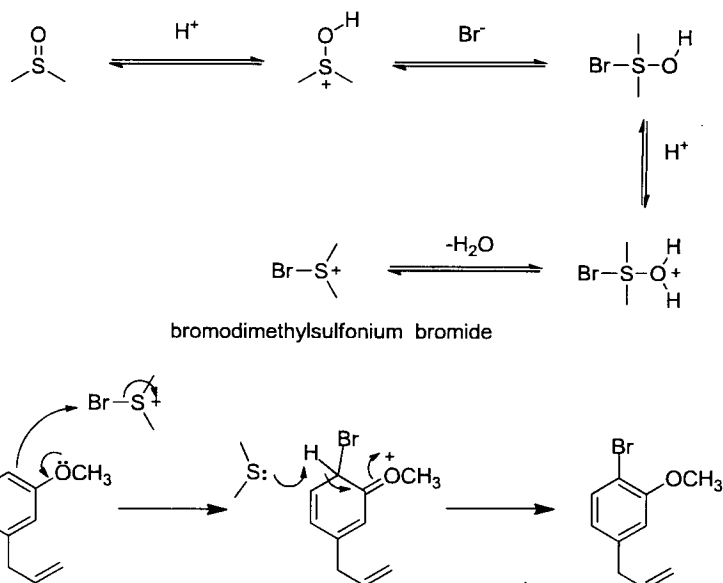
ในขณะเดียวกัน Bovonsombat P. และคณะ [18] ได้รายงานการใช้ *p*-toluenesulfonic acid ซึ่งเป็นกรดอินทรีย์เป็นสารเติมแต่งเพื่อทำให้เกิด regioselectivity ของปฏิกิริยาบอร์มีนเข้มที่ตำแหน่งพารามากกว่าตำแหน่งออกซิเจนโดยอาศัยผลความเบกะกะ (steric effect) และดังภาพ 3.14 อย่างไรก็ตามจากการทดลองตามวิธีที่ 5 พบว่าปฏิกิริยาดังกล่าวไม่ประสบความสำเร็จ เช่นเดียวกับวิธีที่ 4



ภาพ 3.14 แสดงการเลือกเข้าของบอร์มีนบันทางอะโรมาติก โดยใช้ *p*-toluenesulfonic acid เป็นสารเติมแต่ง

หลังจากไม่สามารถสังเคราะห์โมเลกุลเป้าหมายด้วยการใช้ NBS เป็นรีเอเจนต์ ผู้วิจัยจึงทดลองใช้กรดไฮโดรบอร์มิก (HBr) และ DMSO เป็นรีเอเจนต์ (วิธีที่ 6) ตามวิธีการในเอกสารอ้างอิง

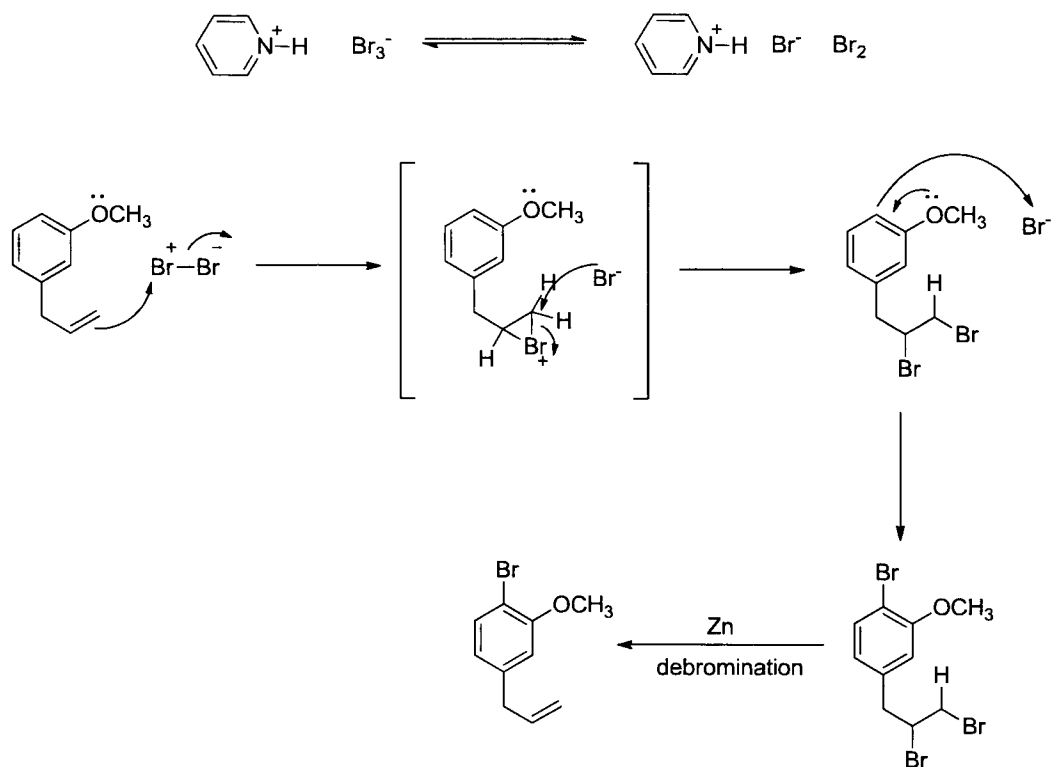
จากเอกสารอ้างอิง [11] พบว่ามีการแสดงกลไกการเกิดปฏิกิริยาในรูปในขั้นของสารประกอบโดยกลไกการเกิดปฏิกิริยาจะเกิดผ่านสารมัธยันต์ dimethylsulfonium bromide ดังภาพ 3.15



ภาพ 3.15 แสดงกลไกการเกิดปฏิกิริยาในรูปในขั้น ผ่าน bromodimethylsulfonium bromide

อย่างไรก็ตามจากการทดลอง พบร่วมกับไม่เกิดปฏิกิริยาตามต้องการ ซึ่งอาจเกิดจากสาเหตุที่ใช้กรดไม่เพียงพอต่อการเกิดสารมัธยันต์ดังกล่าว จึงได้ปรับสภาวะโดยการเติมกรดอะซิติก (HOAc) เพิ่ม (วิธีที่ 7) ซึ่งเอกสารอ้างอิงรายงานว่าจะทำให้เกิดปฏิกิริยาได้ดีขึ้น [11] แต่พบว่าไม่เกิดปฏิกิริยาเช่นเดียวกับวิธีที่ 6 โดยวิธีนี้อาจจะไม่เหมาะสม เนื่องจากว่าในกรณีที่มีหมุนแอลลิลภายในโมเลกุลอาจจะเกิดปฏิกิริยาการเติมแข็งขันได้ ต่อมาผู้วิจัยจึงได้ทดสอบปฏิกิริยาในรูปในขั้นด้วยวิธีมาตรฐาน คือ ใช้ไบรเมิน (Br₂) และมีตัวเร่งปฏิกิริยาเป็น FeBr₃ แต่ในงานวิจัยนี้ผู้วิจัยได้ใช้ FeCl₃ ใน acetonitrile แทน (วิธีที่ 8)

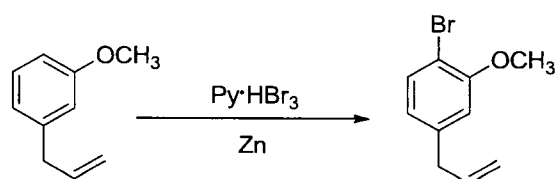
ในทำนองเดียวกับวิธีที่ 1-7 พบร่วมกับไม่เกิดปฏิกิริยาตามต้องการ ต่อมาผู้วิจัยจึงได้ทำการทดลองโดยใช้ pyridinium hydrobromide perbromide (Py⁺HBr⁻Br₂; PHP) และกรดอะซิติกเป็นรีเอเจนต์ตามวิธีการในเอกสารอ้างอิง [17] สารมัธยันต์นี้สามารถเข้าสู่สมดุลได้อย่างรวดเร็วและเป็นของแข็ง สามารถให้ผลิตภัณฑ์ได้ร้อยละ 54.6 โดยพบว่าในขั้นแรกจะได้สารมัธยันต์ที่มีการเติมไบรเมินลงไปที่พันธะคู่ และการแทนที่ไปที่วงอะโรมาติก ดังนั้นจึงต้องทำขั้นตอนที่ 2 ที่ทำปฏิกิริยา debromination โดยใช้ Zn เป็นรีเอเจนต์ จึงจะได้ผลิตภัณฑ์ตามต้องการ แสดงกลไกการเกิดปฏิกิริยาดังภาพ 3.16



ภาพ 3.16 แสดงกลไกการเกิดปฏิกิริยาในรัมเนชัน ผ่าน pyridinium hydrobromide perbromide

ปฏิกิริยาการเติม 4-allyl-1-bromo-2-methoxybenzene จากรายงานเอกสารอ้างอิง [17] ได้ผลแสดงดังตาราง 3.8 โดยจะได้ผลผลิตเฉลี่ยร้อยละ 47.6

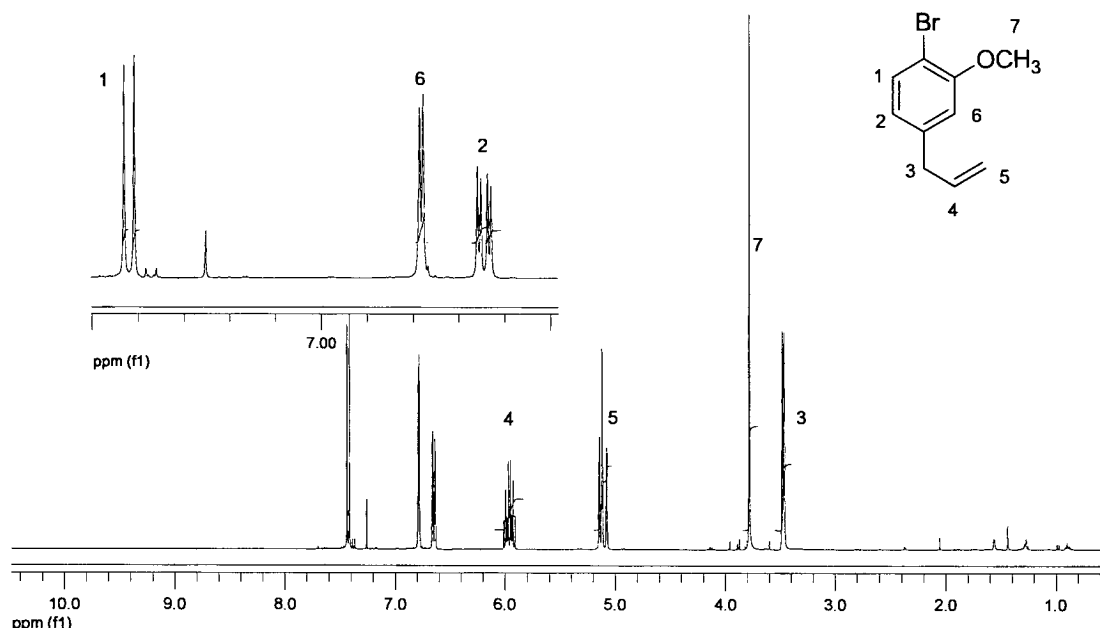
ตาราง 3.8 แสดงผลการเกิดปฏิกิริยาบีรัมเนชัน (Bromination)



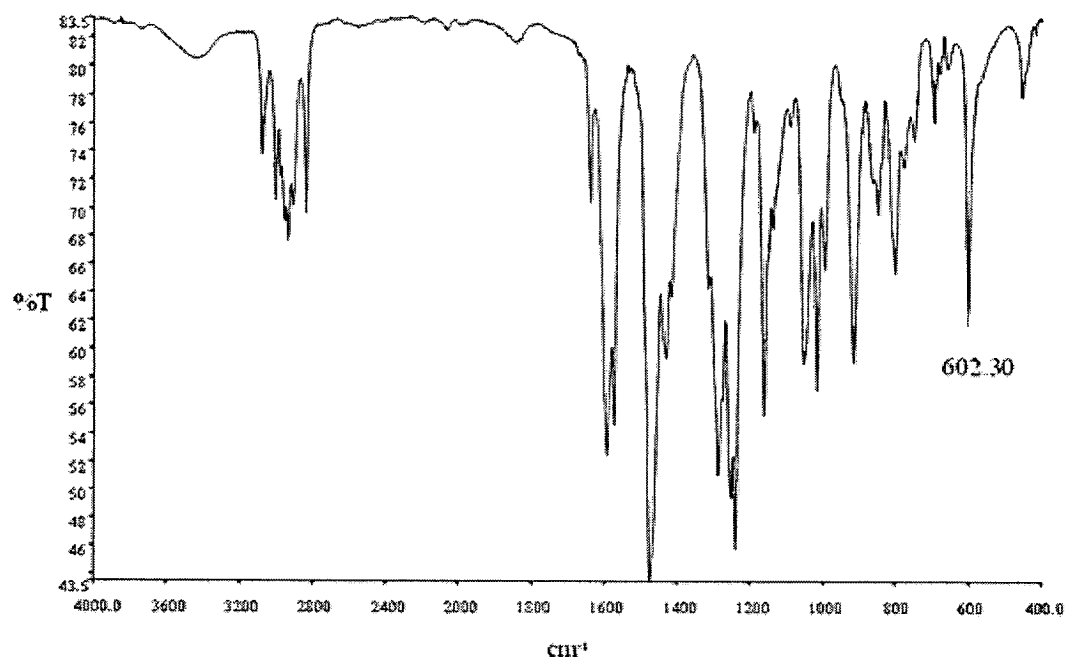
ครั้งที่	จำนวนโมล 3-allylbromide	จำนวนโมล $\text{Py}\cdot\text{HBr}_3$	จำนวนโมล Zn	น้ำหนัก ผลิตภัณฑ์	ร้อยละของ ผลิตภัณฑ์ที่ได้
1	5.9×10^{-3}	5.9×10^{-3}	6.0×10^{-3}	0.12	9.1*
2	3.5×10^{-3}	3.5×10^{-3}	3.6×10^{-3}	0.32	40.6
3	2.1×10^{-3}	2.1×10^{-3}	2.2×10^{-3}	0.26	54.6
				เฉลี่ย	47.6

*ไม่ได้นำมาคิดในร้อยละของผลิตภัณฑ์เฉลี่ยที่ได้เนื่องจากเกิดความผิดพลาดระหว่างการทดลอง

หลังจากทำการแยกสารให้บริสุทธิ์ด้วยวิธีโครงสร้างแบบคอลัมน์ จะได้สารผลิตภัณฑ์มีลักษณะเป็นของเหลวใส และพิสูจน์เอกลักษณ์ด้วยเทคนิค Nuclear Magnetic Resonance (NMR) จากผลการทดสอบพบว่ามีการแทนที่ด้วยหมู่ไบเมติลกลิเดนในวงอะโรมาติกจริง ดังแสดงในภาพ 3.17



ภาพ 3.17 ^1H NMR สเปกตรัมของ 4-allyl-1-bromo-2-methoxybenzene ใน CDCl_3



ภาพ 3.18 IR spectrum ของ 4-allyl-1-bromo-2-methoxybenzene

นอกจากนี้ยังสามารถยืนยันการเข้าแทนที่ของหมู่บromoในบันทึกของ 4-allyl-1-bromo-2-methoxybenzene จาก IR spectroscopy ซึ่งโดยปกติพันธุ์ C-Br จะปรากฏสัญญาณที่เลขค่าใน $650\text{--}511\text{ cm}^{-1}$ (C-Br stretching) และจากสเปกตรัมพบว่าเกิดสัญญาณของ C-Br stretching ที่เลขค่าใน 602.30 cm^{-1} ซึ่งแสดงถึงความสอดคล้องกับการพิจารณาโครงสร้าง 4-allyl-1-bromo-2-methoxybenzene แสดงดังภาพ 3.18

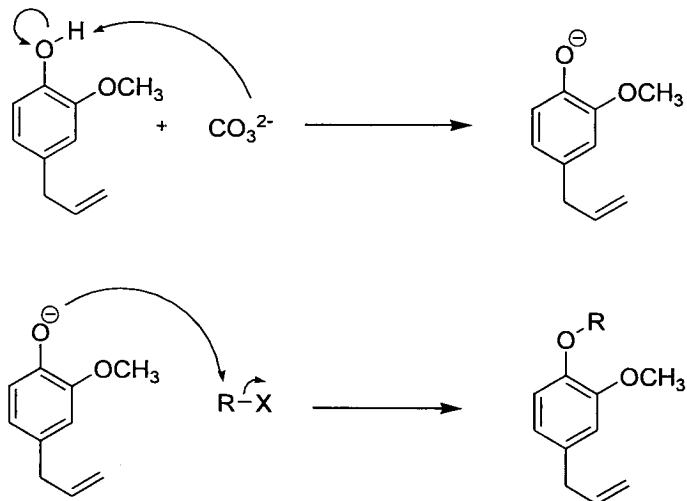
3.1.4 การสังเคราะห์สารอนุพันธ์กลุ่มที่ 4 การสังเคราะห์อนุพันธ์ของยูจีนอล โดยแทนที่หมู่ไฮดรอกซีด้วยหมู่แอลกอฮอล์

	สารอนุพันธ์ที่จะสังเคราะห์		
โครงสร้าง			
Code	P5	P6	P7
Name	Methyleugenol	Ethyleugenol	Propyleugenol
โครงสร้าง			
Code	P8	P13	P10
Name	Isopropyleugenol	Butyleugenol	Sec-Butyleugenol
โครงสร้าง			
Code	P9	P11	P12
Name	Pentyleugenol	Hexyleugenol	Heptyleugenol

สารอนุพันธ์กลุ่มนี้ได้แก่ methyleugenol (P5) ethyleugenol (P6) propyleugenol (P7) isopropyleugenol (P8) butyleugenol (P13) sec-butyleugenol (P10) pentyleugenol (P9) hexyleugenol (P11) และ heptyleugenol (P12) ซึ่งเป็นตัวแทนอนุพันธ์ของยูจีนอลที่มีการเปลี่ยนไฮดรอกซีให้เป็นหมู่

ไฮโดรคาร์บอนที่มีขนาดยาวขึ้นเพื่อเพิ่มความเป็นไฮโดรฟอบิกในโมเลกุล เช่น หมู่เมทธิล เอทิล พร็อพิล บิวทิล จนถึง เอปทิล เพื่อศึกษาว่าหมู่แทนที่แบบไฮโดรฟอบิกจะมีผลต่อฤทธิ์การสลบอย่างไร

โดยได้ศึกษาการสังเคราะห์อนุพันธ์ของยูจีนอลที่มีการเปลี่ยนหมู่ไฮดรอกซีให้เป็นหมู่แอลกอฮอลโดยปฏิกิริยา o-alkylation โดยให้ทำปฏิกิริยา กับแอลกิลไอล์ด์ ในตัวทำละลายและชนิดของเบสที่ต่างกันเพื่อหาสภาวะที่เหมาะสมในการเกิดปฏิกิริยา o-alkylation กลไกการเกิดปฏิกิริยาแอลกิลเลชันแสดงดังภาพ 3.19



ภาพ 3.19 แผนการสังเคราะห์อนุพันธ์ของยูจีนอลโดยปฏิกิริยา o-alkylation

เมื่อ R แทนหมู่แอลกิลชนิดต่างๆ ($-\text{CH}_3, -\text{C}_2\text{H}_5, \dots, -\text{C}_7\text{H}_{15}$)

สำหรับสภาวะที่ใช้ในการทำปฏิกิริยาจะใช้ยูจีนอลเป็นสารตั้งต้น ทำปฏิกิริยา กับแอลกิลไอล์ด์ชนิดต่างๆ โดยมีเบสเป็นเอเจนต์ร่วมในตัวทำละลายชนิดต่างๆ และสภาวะที่ใช้ในการทดลองแสดงดังตาราง 3.9

ตาราง 3.9 สภาวะในการทดลองและผลผลิตร้อยละของปฏิกิริยาแอลกิลเลชันของยูจีนอล

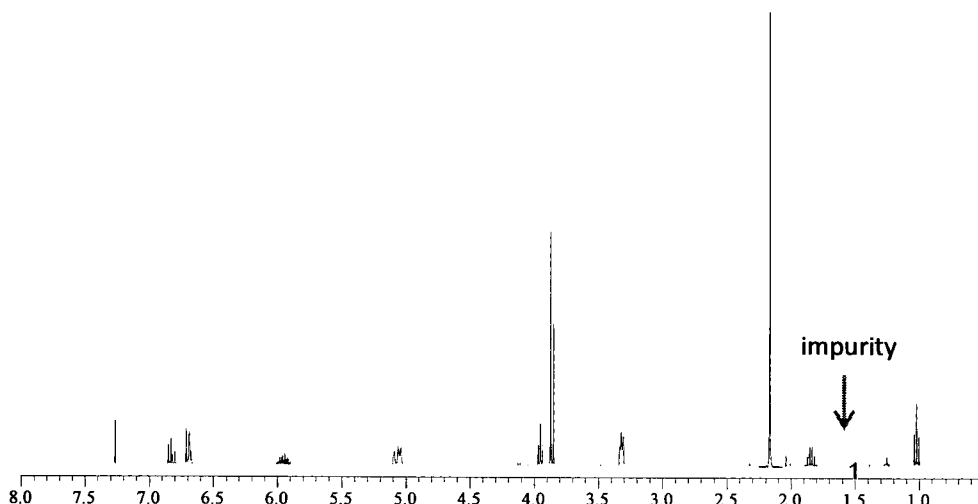
สภาวะ	ตัวเข้าทำปฏิกิริยา	เบส	ตัวทำละลาย	%yield
1	Methyl iodide	K_2CO_3	Acetone	46.0
2	Ethyl bromide	K_2CO_3	Acetone	42.4
3	Propyl bromide	K_2CO_3	Acetone	30.3
4	Propyl bromide	NaH	THF	ของผสม
5	Propyl bromide	NaOH	Methanol	ของผสม
6	Isopropyl bromide	K_2CO_3	Acetone	25.3
7	Isopropyl bromide	NaH	THF	ของผสม

สภาวะ	ตัวเข้าทำปฏิกิริยา	เบส	ตัวทำละลาย	%yield
8	Isopropyl bromide	NaOH	Methanol	ของผสม
9	Butylbromide	K ₂ CO ₃	Acetone	53.6
10	Isobutylbromide	K ₂ CO ₃	Acetone	17.8
11	Pentylbromide	K ₂ CO ₃	Acetone	56.0
12	Hexylbromide	K ₂ CO ₃	Acetone	61.2
13	Heptylbromide	K ₂ CO ₃	Acetone	62.3

สภาวะการทดลองที่แสดงในตาราง 3.9 แสดงให้เห็นว่าในสภาวะที่ 3-8 นั้นเป็นไปเพื่อศึกษาสภาวะที่เหมาะสมในการเกิดปฏิกิริยาและคุณภาพเพื่อให้ได้ผลผลิตร้อยละของผลิตภัณฑ์มากที่สุด ซึ่งผลที่ได้ออกมานั้นจะพบว่าในการใช้โพแทสเซียมคาร์บอนเนตเป็นเบสและใช้อะซีตินเป็นตัวทำละลายจะให้ผลการทดลองที่ดีที่สุด

การเปรียบเทียบผลที่ได้จากการทดลองที่ 3-5 ซึ่งเป็นปฏิกิริยาและคุณภาพของ propyl bromide พบว่าการใช้เบสเป็น K₂CO₃ และตัวทำละลายเป็นอะซีติน (การทดลองที่ 3) จะให้ผลผลิตร้อยละของผลิตภัณฑ์สูงสุด และผลิตภัณฑ์หลังผ่านการแยกด้วยคอลัมน์ไฮดรอยาฟิฟ พบร่วมกับความบริสุทธิ์สูง ไม่มีสารอื่นปน แต่ผลิตภัณฑ์ที่ได้จากสภาวะการทดลองอื่น (การทดลองที่ 4 และ 5) จะให้ผลผลิตร้อยละที่ต่ำกว่า และสารผลิตภัณฑ์ไม่ค่อยบริสุทธิ์แม้ว่าจะผ่านการแยกด้วยคอลัมน์ไฮดรอยาฟิฟมาแล้ว

ส่วนการเปรียบเทียบผลที่ได้จากการทดลองที่ 6-8 ซึ่งเป็นปฏิกิริยาและคุณภาพของ isopropyl bromide พบว่าการใช้เบสเป็น NaOH และตัวทำละลายเป็นเมทานอล (การทดลองที่ 8) จะให้ผลผลิตร้อยละสูงสุดแต่สารผลิตภัณฑ์ที่ได้พบว่าไม่ค่อยบริสุทธิ์ สังเกตได้จาก NMR spectrum ที่มีพิกท์ไม่ใช่ของสารผลิตภัณฑ์ที่ปราศจาก

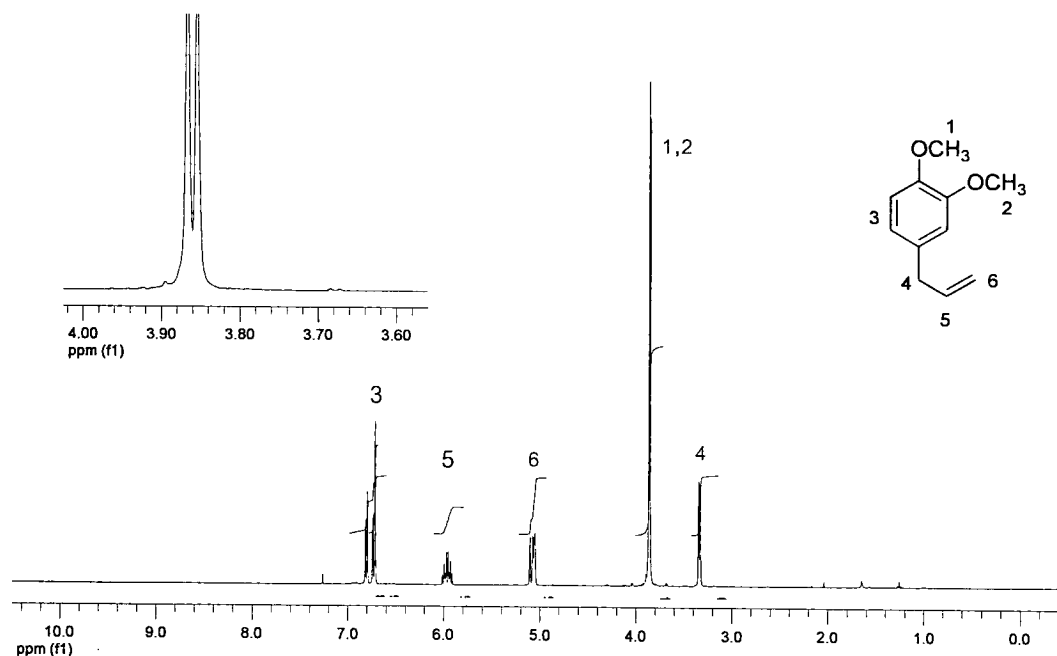


ภาพ 3.20 ¹H NMR สเปกต์รัมของ propyleugenol ที่สังเคราะห์ได้โดยใช้ NaOH เป็นเบส

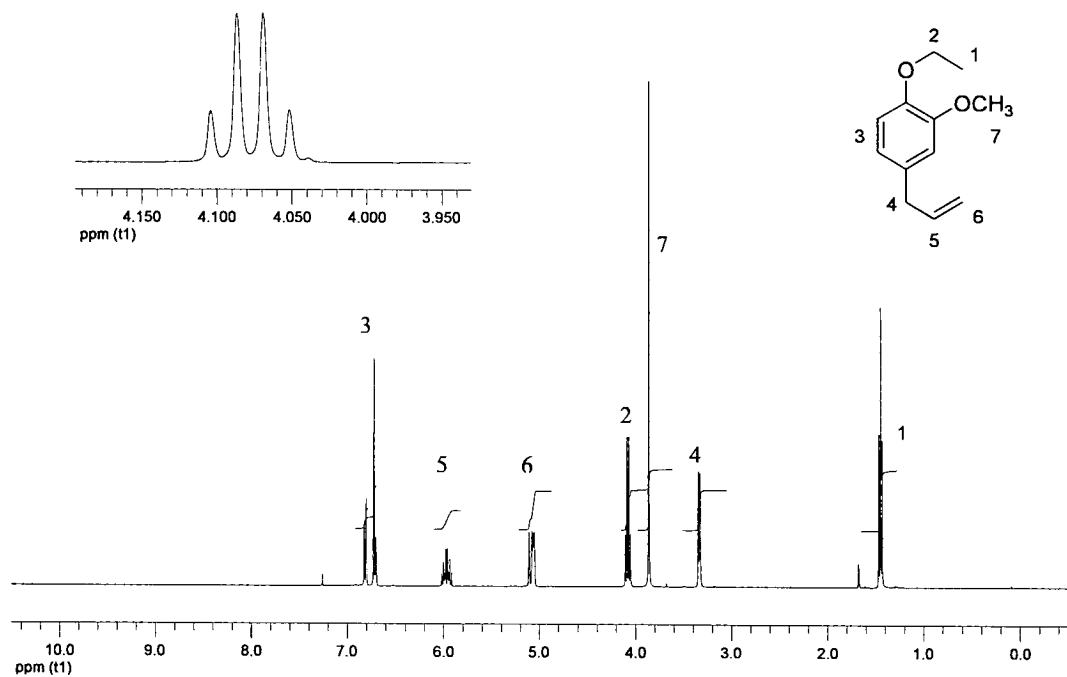
เช่นเดียวกับการใช้เบสเป็น NaH และ THF จะให้ผลผลิตร้อยละที่ต่ำกว่าและพบการปนเปื้อนของสารผลิตภัณฑ์ ส่วนส่วนส่วนของการทดลองที่ใช้เบสเป็น K_2CO_3 และอะซีตอิโนนเป็นตัวทำละลาย แม้ว่าจะให้ผลผลิตร้อยละที่ต่ำกว่าแต่ผลิตภัณฑ์ที่ได้มีความบริสุทธิ์ดังนั้นในการทดลองของปฏิกิริยาแอลกิลเลชันอื่นๆ จึงเลือกใช้ส่วนส่วนของการทดลองที่มีเบสเป็น K_2CO_3 และอะซีตอิโนนเป็นตัวทำละลาย

นอกจากนี้พบว่าปฏิกิริยาแอลกิลเลชันของหมู่แอลกิลที่เป็นโซ่อุปาระได้ผลิตภัณฑ์มีผลผลิตร้อยละสูงกว่าหมู่แอลกิลที่เป็นโซ่อิ่ง (เบรย์บเทียบจากการทดลองที่ 3 กับ 6 และการทดลองที่ 9 กับ 10) ผลการทดลองที่ได้นี้อาจจะอธิบายได้จากผลของการแยกของหมู่แอลกิลที่เป็นโซ่อิ่งจึงทำให้การเข้าทำปฏิกิริยาเกิดขึ้นยากกว่า

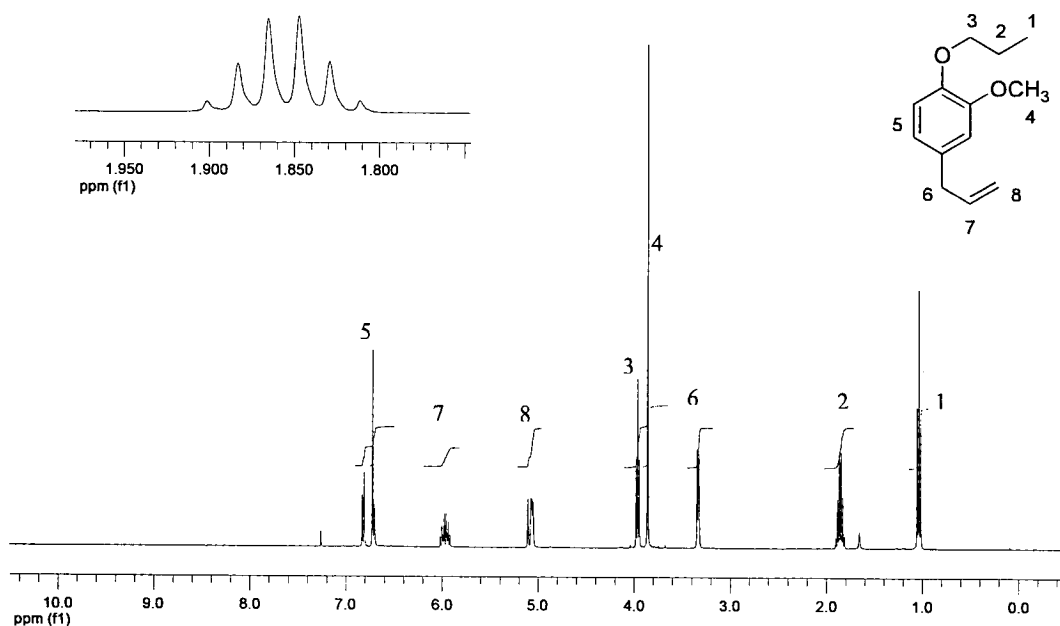
จากการศึกษาโครงสร้างของสารทั้งหมดที่ได้สังเคราะห์ด้วยวิธีเทคนิค Nuclear magnetic resonance (NMR) ออกมาระบบว่าได้ผล 1H NMR สเปกตรัมสามารถยืนยันโครงสร้างของสารแต่ละตัวได้ดังนี้



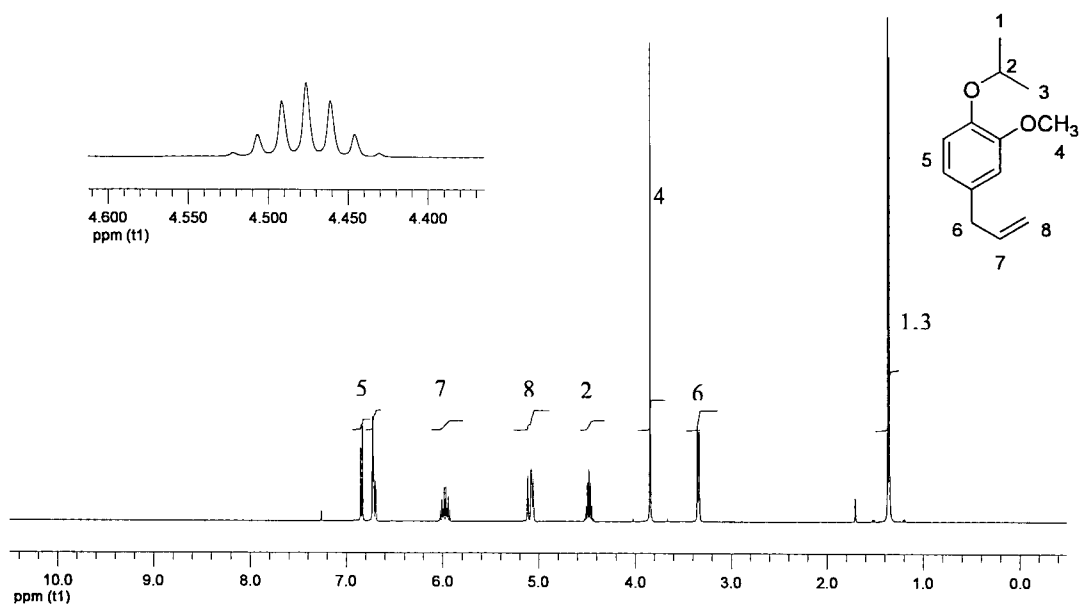
ภาพ 3.21 1H NMR สเปกตรัมของ methyleugenol ที่สังเคราะห์ได้



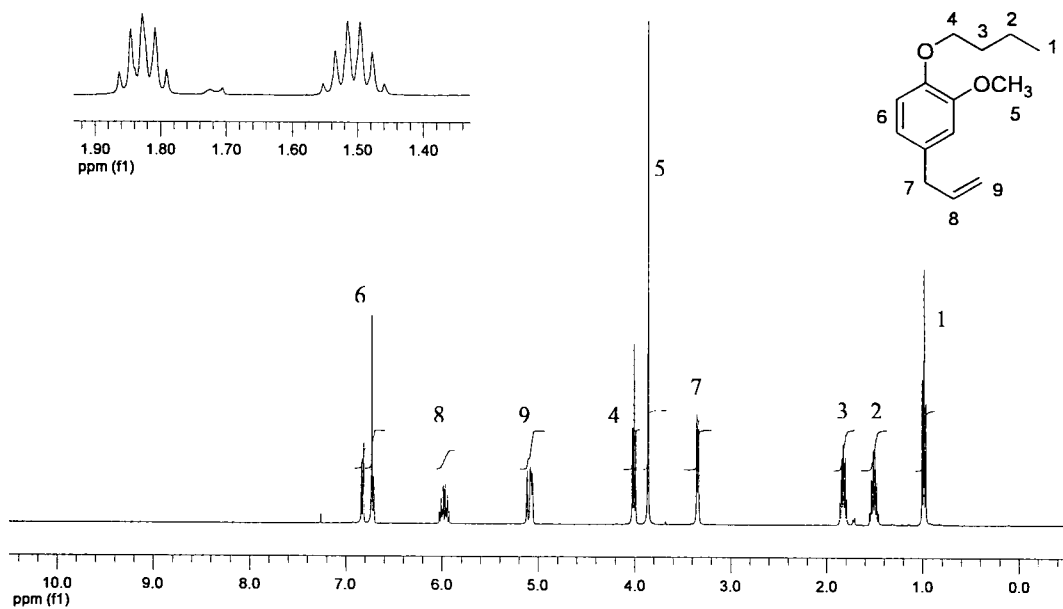
ภาพ 3.22 ^1H NMR สเปกตรัมของ ethyleugenol ที่สังเคราะห์ได้



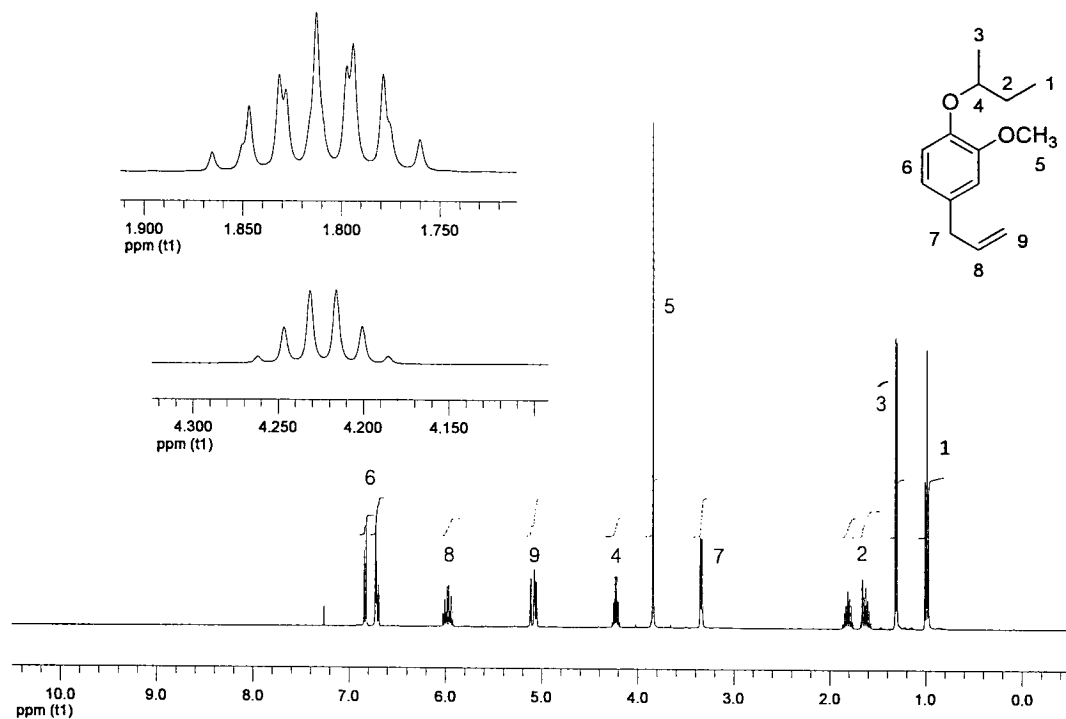
ภาพ 3.23 ^1H NMR สเปกตรัมของ propyleugenol ที่สังเคราะห์ได้



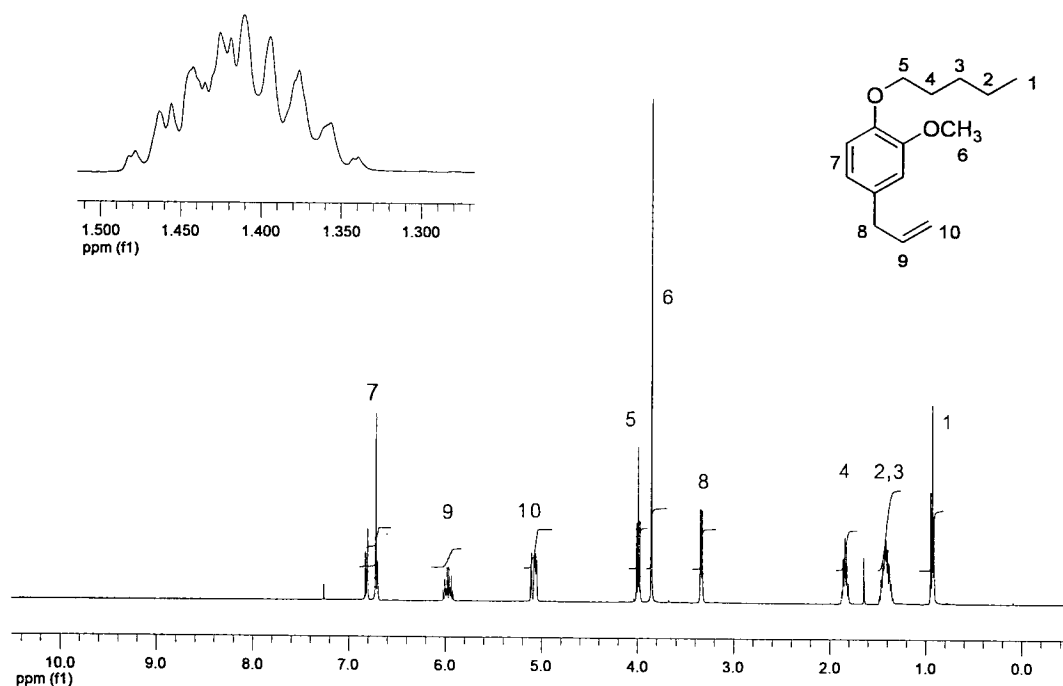
ภาพ 3.24 ^1H -NMR สเปกตรัมของ isopropyleugenol ที่สังเคราะห์ได้



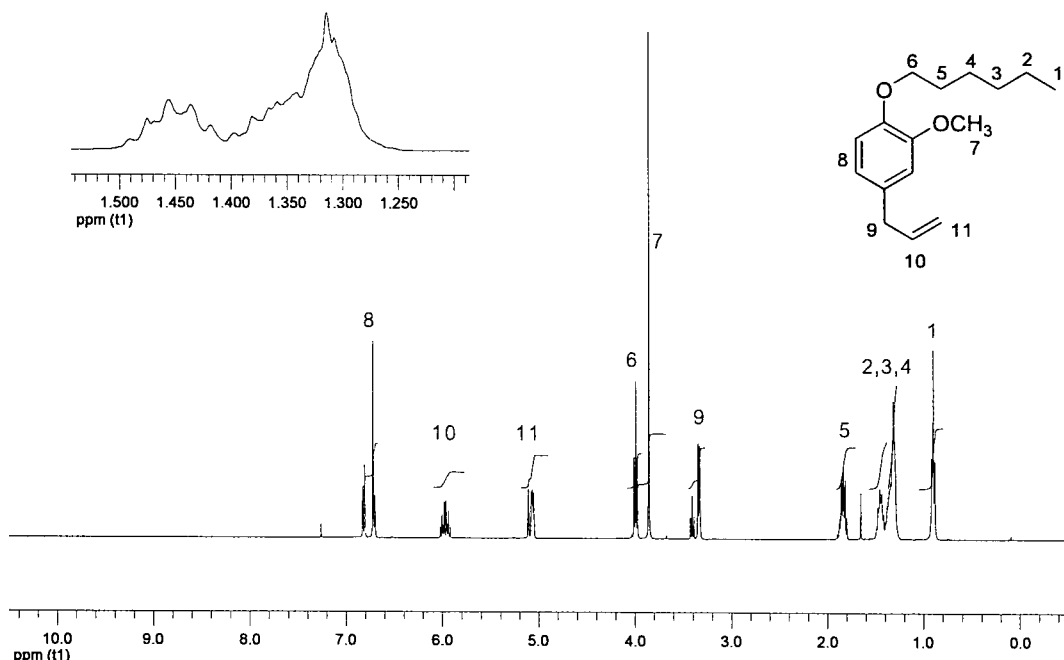
ภาพ 3.25 ^1H NMR สเปกตรัมของ butyleugenol ที่สังเคราะห์ได้



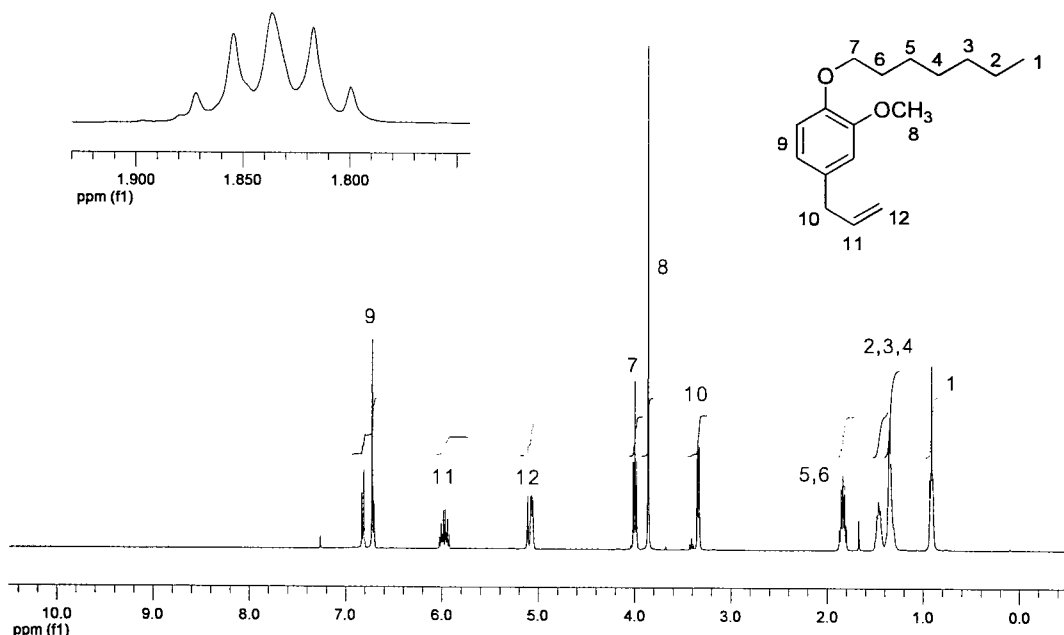
ภาพ 3.26 ^1H NMR สเปกตรัมของ sec-butyleugenol ที่สังเคราะห์ได้



ภาพ 3.27 ^1H NMR สเปกตรัมของ pentyleugenol ที่สังเคราะห์ได้



ภาพ 3.28 ^1H NMR สเปกต์รัมของ hexyleugenol ที่สังเคราะห์ได้

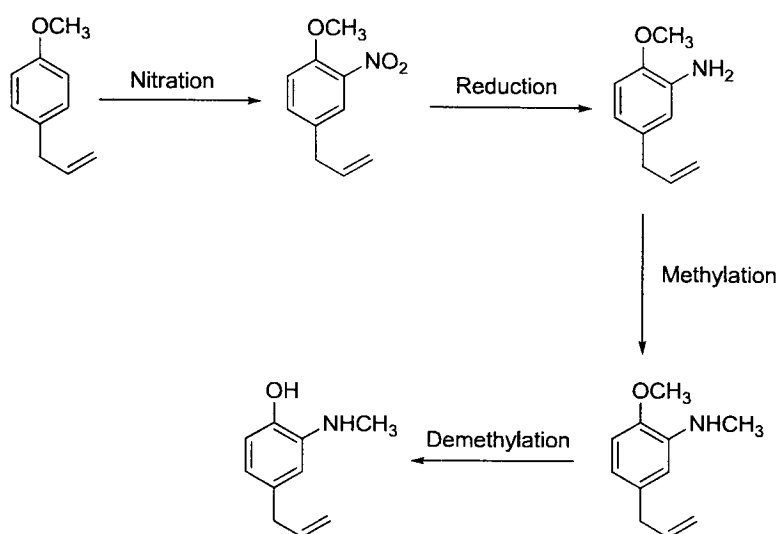


ภาพ 3.29 ^1H NMR สเปกต์รัมของ heptyleugenol ที่สังเคราะห์ได้

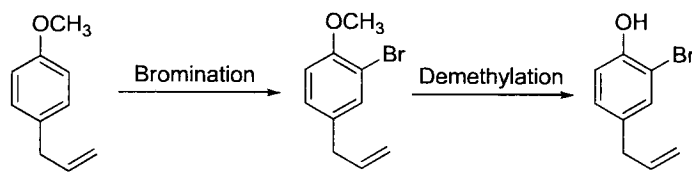
3.1.5 การสังเคราะห์สารอนุพันธ์กลุ่มที่ 5 การสังเคราะห์อนุพันธ์ของยูจีนอล โดยแทนที่หมู่เมทอกซีด้วยหมู่ต่างๆ

สารอนุพันธ์ที่จะสังเคราะห์			
โครงสร้าง			
Code	-	P29	
Name	5-allyl-2-hydroxy-N-methylaniline	4-allyl-2-bromophenol	

สารอนุพันธ์กลุ่มนี้ได้แก่ 5-allyl-2-hydroxy-N-methylaniline และ 4-allyl-2-bromophenol (P29) ซึ่งเป็นตัวแทนอนุพันธ์ของยูจีนอลที่มีการแทนที่หมู่เมทอกซีด้วยหมู่ที่สามารถเกิดพันธะไฮดรอเจนได้ เช่น หมู่อะมิโน และหมู่ไบโรมิ เพื่อศึกษาว่าหมู่แทนที่แบบให้พันธะไฮดรอเจนหรือไฮดร็อฟิลิกจะมีผลต่อฤทธิ์การลดบอย่างไร โดยได้ทำการศึกษาการสังเคราะห์อนุพันธ์ของยูจีนอล จากสารตั้งต้น 4-allylanisole โดย 5-allyl-2-hydroxy-N-methylaniline มีแนวทางการสังเคราะห์จากปฏิกิริยาในเดชัน จะได้สารประกอบในโตร แล้วจากงานนั้นทำการเปลี่ยนหมู่ในโตรไปเป็นหมู่อะมีนด้วยปฏิกิริยาดักชัน แล้วจึงทำปฏิกิริยาเมทิลเลชันได้สารประกอบเป็น N-methylaniline และในขั้นสุดท้ายจะทำปฏิกิริยาดีเมทิลเลชันได้เดลิฟันท์สุดท้ายเป็น 5-allyl-2-hydroxy-N-methylaniline ส่วน 4-allyl-2-bromophenol สามารถสังเคราะห์ได้จากปฏิกิริยาในรミニเนชัน และปฏิกิริยาดีเมทิลเลชัน ซึ่งมีแผนการสังเคราะห์แสดงดังภาพ 3.30 และภาพ 3.31

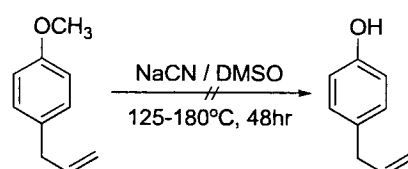


ภาพ 3.30 แผนการสังเคราะห์ 5-allyl-2-hydroxy-N-methylaniline



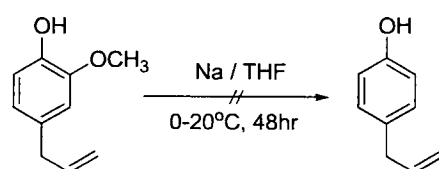
ภาพ 3.31 แผนการสังเคราะห์ 4-allyl-2-bromophenol

ในขั้นแรกนี้ได้ทำการศึกษาการเปลี่ยนหมุ่เมทอกซีของ 4-allylanisole ให้เป็นหมุ่ไซดรอกซีโดยใช้ปฏิกิริยาดีเมทิลเลชันตามรายงานจากเอกสารอ้างอิงของ Greene [19] ซึ่งแสดงปฏิกิริยาดังภาพ 3.32



ภาพ 3.32 ปฏิกิริยา Demethylation ของ 4-allylanisole

จากการทดลองปรากฏว่าปฏิกิริยาดีเมทิลเลชันของ 4-allylanisole ไม่ประสบความสำเร็จตามที่คาดหวัง แม้จะใช้สภาวะค่อนข้างรุนแรงที่อุณหภูมิประมาณ 180°C และใช้ระยะเวลาประมาณ 48 ชั่วโมงแล้วก็ตาม ในขั้นตอนนี้ได้ลองเปลี่ยนแนวทางการสังเคราะห์โดยเริ่มจากยูจีนอล ทำปฏิกิริยากำจัดหมุ่เมทอกซีอ้างอิงจากงานวิจัยของ Azzena และคณะ [20] ด้วยปฏิกิริยา demethoxylation ผ่านกลไกการถ่ายโอนอิเล็กตรอนของโลหะ Na ในสารละลาย THF ปฏิกิริยาแสดงได้ดังภาพ 3.33

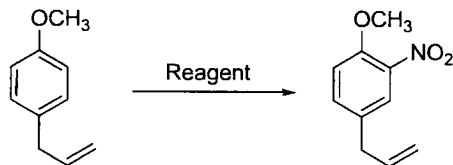


ภาพ 3.33 ปฏิกิริยา demethoxylation ของยูจีนอล

ผลปรากฏว่าปฏิกิริยาดีเมทอกซีเลชันของยูจีนอลก็ไม่ประสบความสำเร็จเช่นเดียวกับปฏิกิริยาดีเมทิลเลชัน ดังนั้นเพื่อเป็นการลดขั้นตอนในการสังเคราะห์ ผู้วิจัยจึงใช้ 4-allylanisole เป็นสารตั้งต้นโดยจะไม่มีการเปลี่ยนหมุ่พังก์ชันของ 4-allylanisole จากหมุ่เมทอกซีเป็นหมุ่ไซดรอกซี ทั้งนี้เนื่องจากพิจารณาเห็นว่าฤทธิ์การลดเบื้องต้นของ methyleugenol นั้น ไม่ต่างจากยูจีนอลมากนัก โดยคาดว่าหมุ่ไซดรอกซี หรือ หมุ่เมทอกซี ในโครงสร้างดังกล่าว ไม่น่าจะมีผลกระทบมากนักต่อการออกฤทธิ์เป็นยาสลบในสัตว์น้ำ ดังนั้นจึงคงหมุ่เมทอกซีไว้ดังเดิมโดยจะนำ 4-allylanisole มาศึกษาการทำปฏิกิริยาในเตรชันและปฏิกิริยาในรูมิเนชันต่อไป

ในการศึกษาปฏิกิริยา nitration ของ 4-allylanisole โดยได้ทดลองรีเอเจนต์ชนิดต่างๆ ในสภาวะต่างๆ ตามที่ได้ศึกษาจากเอกสารอ้างอิง โดยมีรายละเอียดการทดลองแสดงดังตาราง 3.10

ตาราง 3.10 ปฏิกิริยานิเตรชันที่ใช้ในการสังเคราะห์ในครั้งนี้ เมื่อใช้ 4-allylanisole เป็นสารตั้งต้น



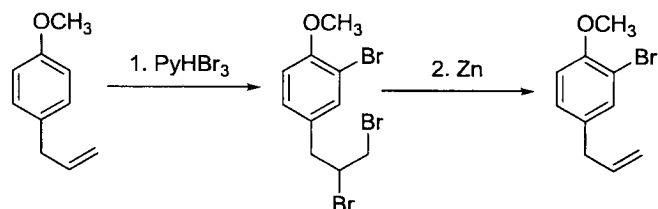
ลำดับ	รีเอเจนต์ / สภาวะ	ร้อยละผลลัพธ์	เอกสารอ้างอิง
1	Urea nitrate, AcOH / 60 °C, 24 h	NR	[15]
2	Ac ₂ O, HNO ₃ / 0 °C, 4 h	NR	[16]
3	H ₂ SO ₄ , HNO ₃ , Ac ₂ O / RT, 4 h	NR	[16]
4	TBAB, HNO ₃ / 20 °C, 4-6 h	NR	[16]
5	Bi(NO ₃) ₃ ·5H ₂ O, CH ₂ Cl ₂ / 40 °C, 8 h (silica gel)	NR	[17]
6	Bi(NO ₃) ₃ ·5H ₂ O, Al ₂ O ₃ , Toluene / 100 °C, 8 h	NR	[17]
7	Bi(NO ₃) ₃ ·5H ₂ O, Toluene / 100 °C, 8 h	NR	[17]
8	Bi(NO ₃) ₃ ·5H ₂ O, CH ₂ Cl ₂ / 40 °C, 8 h (MS4A)	NR	[17]

NR = No reaction

จากตาราง 3.10 พบร่วมปฏิกิริยานิเตรชันที่ใช้ urea nitrate เป็นรีเอเจนต์ โดยมีกรดอะซิติกเป็นตัวทำละลายนั้น อ้างอิงจากการวิจัยของ Nitin และคณะ [21] ไม่ประสบผลสำเร็จตามที่คาดหวัง จึงได้ศึกษาการทำปฏิกิริยานิเตรชันด้วยวิธีใหม่ คือ วิธีที่ 2 3 และ 4 ซึ่งวิธีดังกล่าวจะใช้กรดไนโตริกเป็นรีเอเจนต์ทั้งหมดร่วมกับสารชนิดอื่น ได้แก่ acetic anhydride, sulfuric acid, หรือ TBAB ตามลำดับ โดยอ้างอิงจากการวิจัยของ Joshi และคณะ [22] พบร่วมไม่ประสบความสำเร็จตามที่คาดหวัง จึงได้ลองเปลี่ยนวิธีการทดลองใหม่โดยศึกษาปฏิกิริยานิเตรชันอีกกลุ่มคือการใช้ Bi(NO₃)₃·5H₂O เป็นแหล่งให้หมู่ในตัว โดยวิธีที่ 5 ใช้ CH₂Cl₂ เป็นตัวทำละลาย ที่อุณหภูมิ 40 °C ส่วนวิธีที่ 6 และ 7 จะใช้ toluene เป็นตัวทำละลาย โดยวิธีที่ 6 มีการใช้ Al₂O₃ เป็นรีเอเจนต์ร่วมด้วย โดยทั้งหมด อ้างอิงจากการวิจัยของ Canales และคณะ [23] อย่างไรก็ตามก็พบว่ายังไม่สามารถเกิดผลิตภัณฑ์ตามที่ต้องการ ทั้งนี้น่าจะเนื่องมาจากสภาวะต่างๆ ดังกล่าวตามที่อ้างอิงจะกระทำการทำกับสารตั้งต้นที่เป็นอนุพันธ์อย่างง่ายของฟีนอล ในขณะที่งานวิจัยนี้เริ่มต้นจาก 4-allylanisole ซึ่งคาดว่าส่วนของหมู่แอลลิล ซึ่งเป็น electron-rich region น่าจะมี

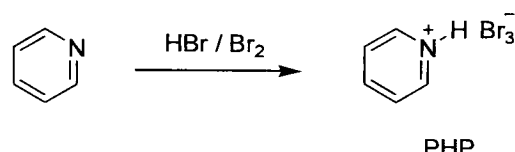
ผลกระทบทำให้ไม่สามารถเกิดปฏิกิริยาตามที่คาดหวัง หรืออาจจะทำให้เกิดผลิตภัณฑ์ข้างเคียงอื่นๆ ดังนั้นจึงได้ทำการศึกษาวิธีการสังเคราะห์ 4-Allyl-2-bromoanisole ด้วยปฏิกิริยาบอร์มีเนชันแทน

ปฏิกิริยาบอร์มีเนชัน ซึ่งใช้ในการสังเคราะห์ 4-Allyl-2-bromoanisole นั้นอ้างอิงการทดลองของ Chuen [24] โดยมีรูปแบบและขั้นตอนการเดียวกับแสดงดังภาพ 3.34

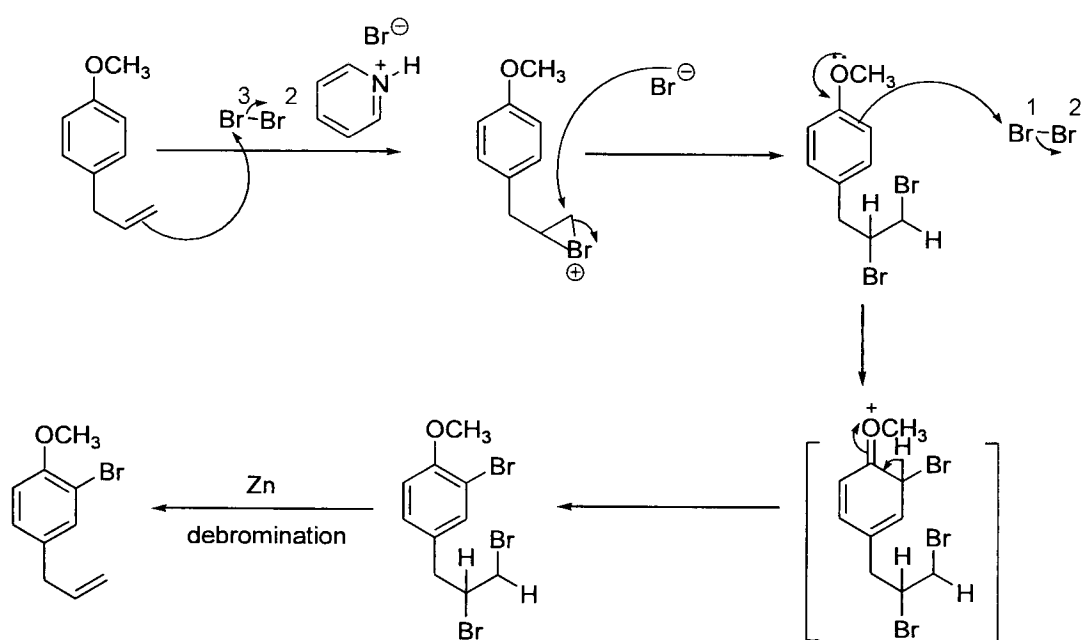


ภาพ 3.34 ปฏิกิริยาบอร์มีเนชันของ 4-allylanisole

ในปฏิกิริยานี้จะใช้ pyridinium hydrobromide perbromide (PHP) เป็นแหล่งให้บอร์มีน โดยสามารถเดียวกับการนำกรดไฮโดรไบร์ดบอร์มีนิกเติมลงในสารละลายนิทรีดีนที่สภาวะ 0°C จากนั้นเติมบอร์มีนลงไปจะได้ของแข็งสีเหลืองอมส้ม แล้วนำออกมาราบให้แห้ง ซึ่งจากการเดียวกับ Pyridinium hydrobromide perbromide และดังสมการ

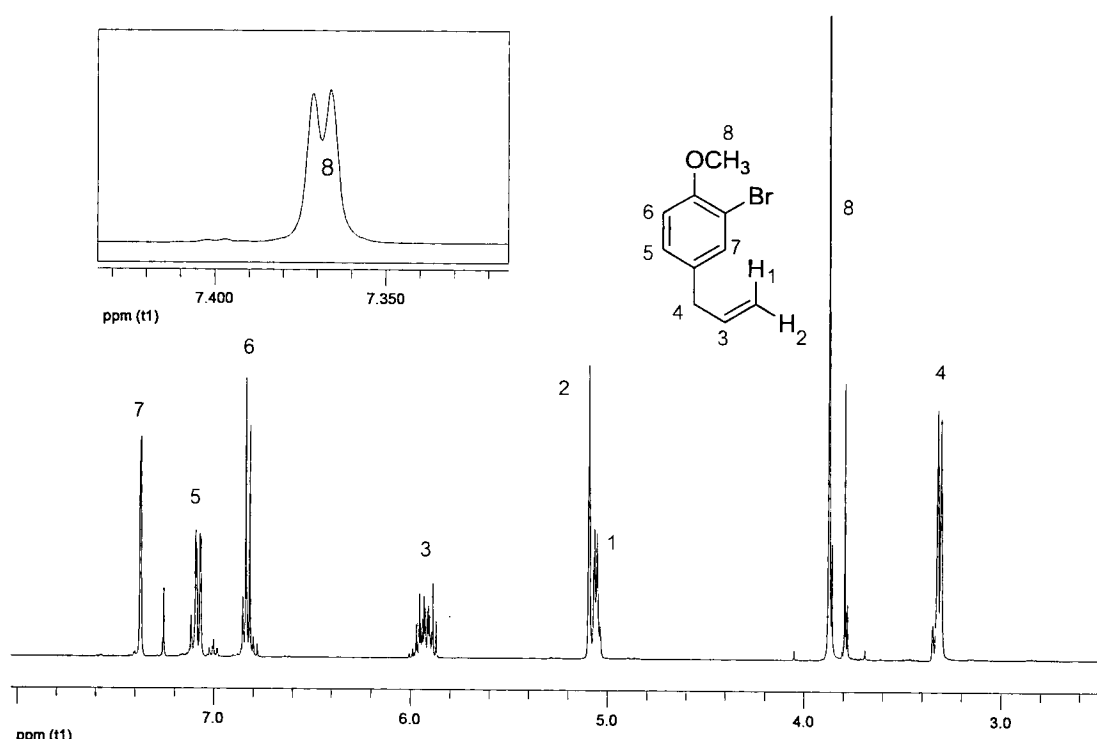


กลไกการเกิดปฏิกิริยาขั้นแรกจะเกิดการเติมบอร์มีนที่ตำแหน่งพันธะคู่ แล้วจึงเกิดการแทนที่ด้วยบอร์มีนบนวงแหวนเบนซิน ได้สารมอร์ยันที่มีการเติมและการแทนที่ขึ้นก่อน ในขั้นตอนต่อมาจึงทำปฏิกิริยาด้วยโลหะสังกะสีในสารละลายน้ำไดเอทิลเอเทอร์ที่สภาวะรีฟลักซ์ที่ $35\text{-}40^{\circ}\text{C}$ ซึ่งจะเกิดการทำลายของบอร์มีนที่ตำแหน่งพันธะคู่เดิม (debromination) ทำให้ได้พันธะคู่กลับมาได้ผลิตภัณฑ์เป็น 4-allyl-2-bromoanisole ตามที่ต้องการ โดยการเกิดปฏิกิริยาแสดงดังภาพ 3.35



ภาพ 3.35 กลไกการเกิดปฏิกิริยาบอรมิเนชันด้วย PyHBr₃ ของ 4-allylanisole

ผลิตภัณฑ์ที่เกิดขึ้นสามารถยืนยันโครงสร้างด้วย ¹H NMR ดังภาพ 3.36



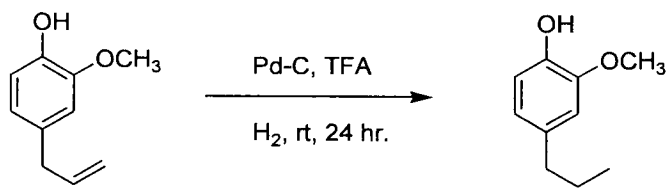
ภาพ 3.36 ¹H NMR spectrum ของสาร 4-Allyl-2-bromoanisole ใน CDCl_3

3.1.6 การสังเคราะห์สารอนุพันธ์กลุ่มที่ 6 การสังเคราะห์อนุพันธ์ของยูจีนอล โดยแทนที่หมู่แอลลิล

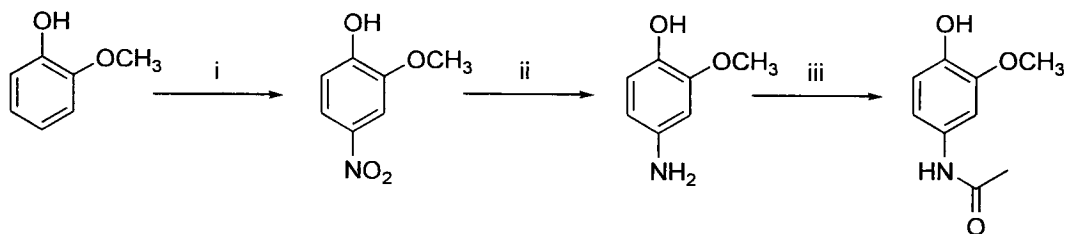
		สารอนุพันธ์ที่จะสังเคราะห์	
โครงสร้าง			
Code	P4	P26	
Name	2-methoxy-4-propylphenol	Isoeugenol	
โครงสร้าง			
Code	-	-	-
Name	N-acetyl-4-aminoguaiacol	2-(4-hydroxy-3-methoxyphenyl)acetaldehyde	4-(2-iminoethyl)-2-ethoxyphenol

สารอนุพันธ์กลุ่มนี้ได้แก่ 2-methoxy-4-propylphenol (P4), Isoeugenol (P26), N-acetyl-4-amino guaiacol, 2-(4-hydroxy-3-methoxyphenyl)acetaldehyde และ 4-(2-iminoethyl)-2-ethoxyphenol ซึ่งเป็นตัวแทน อนุพันธ์ของยูจีนอลที่มีการแทนที่หมู่แอลลิลให้เป็นหมู่ไอกโรฟนิกนิดอื่นๆ เช่น โพร์พิล เป็นต้น รวมทั้งหมู่ที่มี โครงสร้างและความยาพันธุ์คล้ายกับหมู่แอลลิล เช่น methylene carbonyl, methylene imine เพื่อศึกษาว่าหมู่ แทนที่แบบใดจะมีผลต่อฤทธิ์การสลบอย่างไร โดย Isoeugenol (P26) นั้นเป็นสารที่มีจำหน่ายของบริษัท Acros Chemical และนำมาใช้ในการทดสอบฤทธิ์การเป็นยาสลบโดยไม่ผ่านการทำให้บริสุทธิ์ ส่วน 2-methoxy-4-propylphenol (P4) นั้นสามารถสังเคราะห์ได้โดยใช้ปฏิกิริยาไฮಡ्रอเจนของยูจีนอล โดยใช้โลหะพาลลาเดียมเป็น ตัวเร่งปฏิกิริยาใน trifluoroacetic acid (TFA) ภายใต้สภาวะแก๊สไฮโดรเจน [25] โดยจะเกิดการเติมไฮโดรเจนเข้าที่หมู่ แอลลิลเกิดเป็นผลิตภัณฑ์ 2-methoxy-4-propylphenol (PMP) (P4) ผลผลิตต่อกายละ 82 แสดงดังภาพ 3.37

ส่วนการสังเคราะห์ N-acetyl-4-amino guaiacol นั้นมีแนวทางการสังเคราะห์แสดงดังภาพ 3.38 โดยเริ่ม จากสารตั้งต้น guaiacol ทำปฏิกิริยาในเตรชันเพื่อแทนที่หมู่ไนโตรลงในวงแหวนเป็นชีนและจากนั้นทำการรีดิวชัน ในไฮเดรฟลักซ์เป็นหมู่อะมิโน และในขั้นสุดท้ายทำปฏิกิริยาอะเซทิลเลชัน ก็จะได้ผลิตภัณฑ์เป็น N-acetyl-4-amino guaiacol ที่แทนที่หมู่แอลลิลในยูจีนอลด้วยหมู่ N-acetyl ที่มีลักษณะคล้ายหมู่แอลลิล



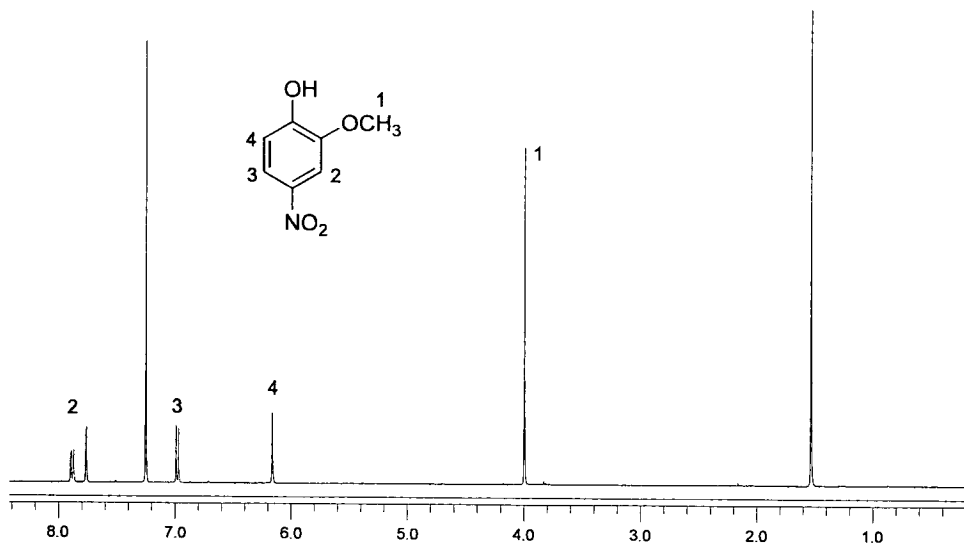
ภาพ 3.37 การสังเคราะห์ 2-methoxy-4-propylphenol ด้วยปฏิกิริยาไฮโดรเจนชัน



Reagents and conditions: i. HNO₃/H₂SO₄, CH₂Cl₂, 0°C or NaNO₃/KHSO₄, SiO₂/H₂O (1:1), CH₂Cl₂, rt [26]; ii. Zn/HCl, 0°C, iii. AcCl, DMF

ภาพ 3.38 แนวทางการสังเคราะห์ N-acetyl-4-aminoguaiacol

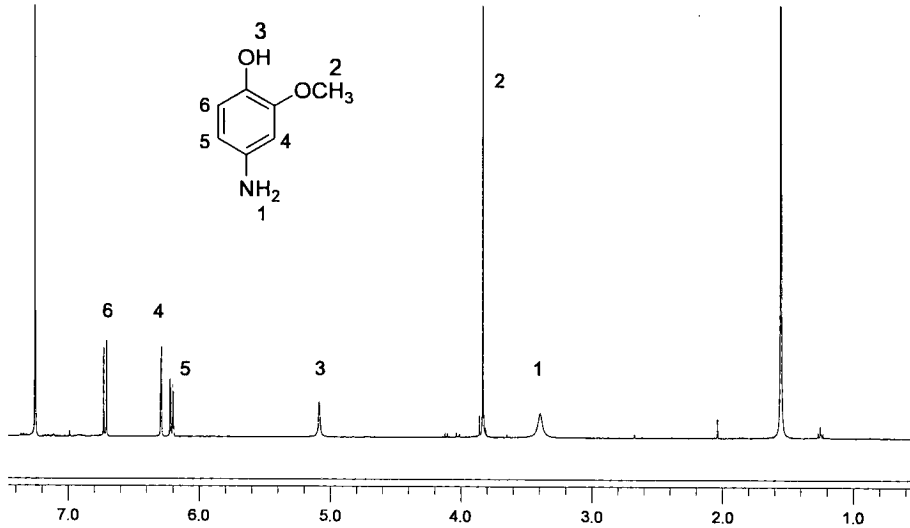
ปฏิกิริยาการแทนที่อนุพันธ์ของ Guaiacol ด้วย Urea nitrate และ CH₃COOH เป็นรีเอเจนต์ที่อุณหภูมิ 60°C ได้สารผลิตภัณฑ์เป็น 4-nitroguaiacol ได้ผลผลิตร้อยละ 13.5 ผลจาก NMR สเปกตรัมของสารที่ได้จากการสังเคราะห์ใน terra แสดงดังภาพ 3.39



ภาพ 3.39 ¹H NMR สเปกตรัมของ 4-nitroguaiacol ใน CDCl₃ ที่สังเคราะห์ได้จาก

Condition: Urea nitrate, CH₃COOH, 60°C

จากนั้นนำมาทำปฏิกิริยาไฮโดรเจนชัน (Hydrogenation) โดยมีตัวเร่งปฏิกิริยาเป็น 10%mol Pd/C และใช้ เมทานอลเป็นตัวทำละลาย ภายใต้สภาวะแก๊สไฮโดรเจน ได้ผลิตภัณฑ์เป็น 4-aminoguaiacol ได้ผลผลิตร้อยละ 29.4 ดังแสดงในภาพ 3.40 ผลจาก NMR สเปกตรัมของสารที่ได้จากการปฏิกิริยาไฮโดรเจนชัน

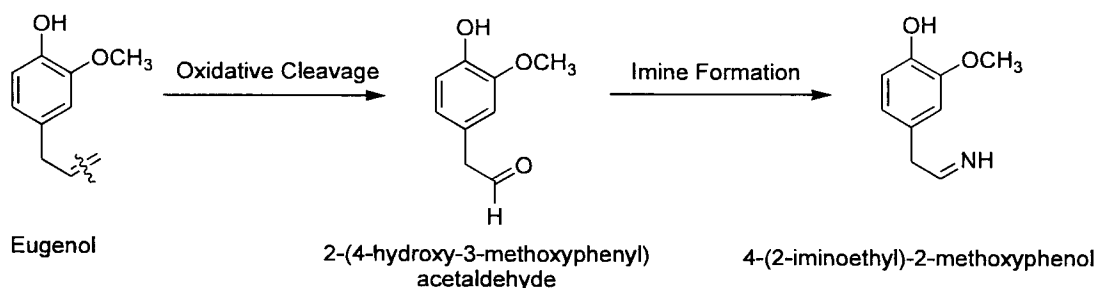


ภาพ 3.40 ^1H NMR สเปกตรัมของ 4-aminoguaiacol ใน CDCl_3 ที่สังเคราะห์ได้จาก

Condition: 10%mol Pd/C, H_2

อย่างไรก็ตามปฏิกิริยาอะเซทิลเดชันของ 4-aminoguaiacol นั้นยังไม่ประสบความสำเร็จ ดังนั้นจึงยังไม่สามารถสังเคราะห์ N -acetyl-4-aminoguaiacol ได้ตามที่วางแผนไว้

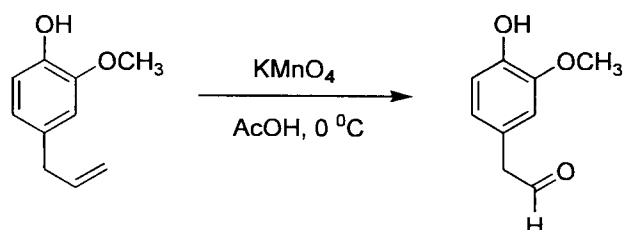
เช่นเดียวกับการสังเคราะห์ 2-(4-hydroxy-3-methoxyphenyl)acetaldehyde และ 4-(2-iminoethyl)-2-ethoxyphenol ซึ่งมีแผนการสังเคราะห์โดยใช้สารตั้งต้นประเภทอนุพันธ์ของยูจีนอลและใช้ตัวเร่งปฏิกิริยานิดต่างๆ และหาสภาวะที่เหมาะสมในการทำปฏิกิริยาแบบ Oxidative Cleavage เพื่อให้เกิดการสลายพันธุ์ในตำแหน่ง carbonyl ของส่วนปลายของยูจีนอล เพื่อให้เกิดการแทนที่ของหมู่แอลดีไฮด์ที่ตำแหน่ง carbonyl ของส่วนปลายของยูจีนอล จากนั้นนำผลิตภัณฑ์ที่ได้ คือ 2-(4-hydroxy-3-methoxyphenyl)acetaldehyde ในขั้นตอนแรกมาทำการสังเคราะห์ต่อด้วยปฏิกิริยา Imine Formation ด้วยเอมิโนเนียมเพื่อเปลี่ยนหมู่แอลดีไฮด์ให้เป็นหมู่อิมมีนตรงตำแหน่งแอลดีไฮด์ เป็นไปตามแผนการสังเคราะห์ที่ไว้ปี ดังภาพ 3.41



ภาพ 3.41 แผนการสังเคราะห์ 2-(4-hydroxy-3-methoxyphenyl)acetaldehyde

และ 4-(2-iminoethyl)-2-methoxyphenol

จากรายงานในเอกสารอ้างอิง พบร่วมกับการสังเคราะห์ 2-(4-hydroxy-3-methoxyphenyl) acetaldehyde โดยใช้ยูนิโอลเป็นสารตั้งต้นและใช้โพแทสเซียมเปอร์แมกนีเซียมเป็นตัวเร่งปฏิกิริยาและใช้กรดอะซิติกมีตัวทำละลาย เป็นน้ำ [27] ทำการทดลองที่ 0°C เป็นเวลา 4 ชั่วโมง แต่พบว่าไม่เกิดผลิตภัณฑ์เนื่องจากเวลาหรือสภาวะในการทำการทดลองไม่เหมาะสม



ภาพที่ 3.42 ปฏิกิริยา Oxidative Cleavage ในการสังเคราะห์ 2-(4-hydroxy-3-methoxyphenyl) acetaldehyde

จึงได้ทดลองเปลี่ยนสภาวะการทำการปฏิกิริยาและรีเอเจนต์ต่างๆ ตั้งแสดงในตาราง

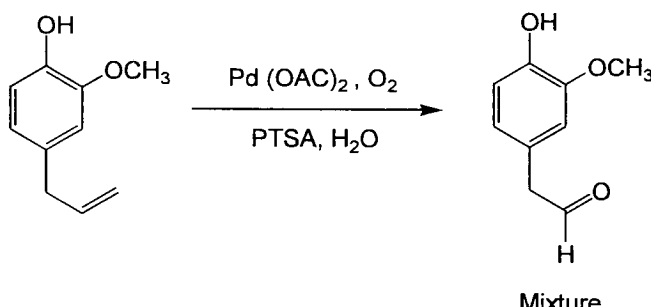
ตาราง 3.11 แสดงผลการทดลองปฏิกิริยา Oxidative Cleavage ในสภาวะต่างๆ

วิธี	สภาวะ	ตัวทำละลาย	อุณหภูมิ	%Yield
1	$\text{KMnO}_4 / \text{AcOH}$	H_2O	0°C	-
2	$\text{Na}_2\text{Cr}_2\text{O}_7 / \text{AcOH}$	H_2O	-	-
3	$\text{K}_2\text{Cr}_2\text{O}_7 / \text{AcOH}$	H_2O	-	-
4	3%mol $\text{Pd}(\text{OAc})_2 / \text{PTSA}, \text{O}_2$	H_2O	-	ของผสม
5	KMnO_4	THF	40°C	-
6	10%mol $\text{PdCl}_2 / \text{CuCl}, \text{O}_2$	$\text{DMF:H}_2\text{O}(7:1)$	80°C	ของผสม
7	$\text{CoCl}_2 / \text{O}_2$	CH_3CN	75°C	-

จากผลการทดลองในตาราง พบว่าปฏิกิริยาส่วนใหญ่ยังมีสารตั้งต้นเหลืออยู่ ส่วนปฏิกิริยาที่คาดว่าจะเกิดผลิตภัณฑ์ มี 2 วิธี คือ วิธีที่ 4 และ วิธีที่ 6 โดยพบว่าเกิดผลิตภัณฑ์แต่ยังคงมีสารผสมอื่นๆ โดยมีรายละเอียดดังนี้

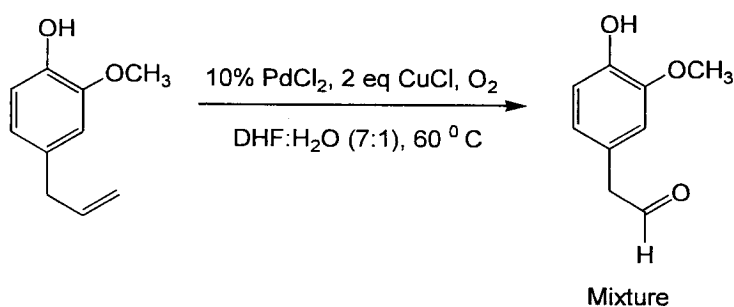
จากวิธีที่ 1 และ 5 ที่ใช้โพแทสเซียมเปอร์แมกนีเตต์เป็นตัวเร่งปฏิกิริยา โดยใช้น้ำเป็นตัวทำละลายที่ส่วนมากต่างกัน โดยคาดหวังว่าให้โพแทสเซียมเปอร์แมกนีเตต์ทำหน้าที่ในการออกไซด์โดยเติม O_2 เข้าไปแล้วเกิดเป็นแอลดีไฮด์ตรงตำแหน่ง $C=C$ ตรงส่วนปลายของยูนิต แต่ทั้งนี้ในสองวิธีนี้ไม่เกิดผลิตภัณฑ์ อาจเนื่องมาจากโพแทสเซียมเปอร์แมกนีเตต์ไม่สามารถทำหน้าที่ได้ เนื่องจากวิธีที่ 1 ใช้โพแทสเซียมเปอร์แมกนีเตต์ที่มีความซึ้งความชื้นสูง จึงทำให้เกิดปฏิกิริยาข้างเคียงได้ นอกจากนี้ยังอาจจะเกิด over-oxidation โดยโพแทสเซียมเปอร์แมกนีเตต์จะเข้าทำปฏิกิริยากับหมุแอลดีไฮด์ของผลิตภัณฑ์ และเปลี่ยนหมุแอลดีไฮด์ไปเป็นหมุคาร์บอชิลิก ทำให้ไม่ได้ผลิตภัณฑ์ตามต้องการ

จากนั้นผู้ทำการทดลองจึงเปลี่ยนวิธี โดยใช้ตัวเร่งปฏิกิริยามาเป็นแพลลาเดียมอะซิเตต์ ในวิธีที่ 4 นั้นคาดว่าจะเกิดผลิตภัณฑ์ได้ดีกว่า เพื่อเปลี่ยนแอลดีไฮด์เป็นแอลดีไฮด์ อย่างไรก็ตามพบว่าได้ผลิตภัณฑ์เป็นสารผสม แสดงดังภาพ 3.43



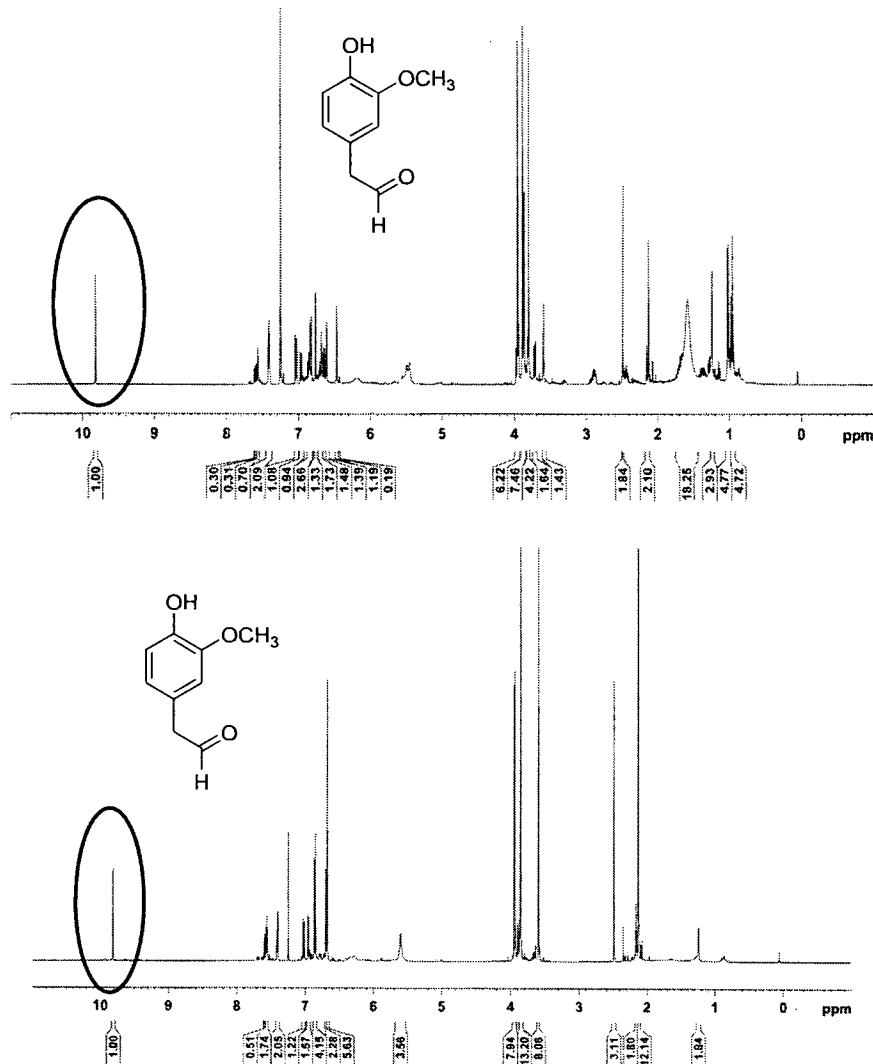
ภาพ 3.43 การเกิดปฏิกิริยา Oxidative cleavage โดยใช้แพลลาเดียมเป็นตัวเร่งปฏิกิริยา

ส่วนปฏิกิริยาที่ใช้ แพลลาเดียมคลอไรด์เป็นตัวเร่งปฏิกิริยานิวธีที่ 6 นั้นคาดว่าจะสามารถเปลี่ยนแอลดีไฮด์เป็นหมุแอลดีไฮด์ได้ โดยพบว่าเกิดผลิตภัณฑ์ที่เป็นสารผสม แสดงดังภาพ 3.44 โดยนำไปพิสูจน์โดยกลั่กชันด้วย NMR



ภาพ 3.44 กลไกการเกิดปฏิกิริยา Oxidative cleavage โดยใช้แพลลาเดียมคลอไรด์เป็นตัวเร่งปฏิกิริยา

จาก $^1\text{H-NMR}$ สเปกตรัมสามารถยืนยันโครงสร้างของหมู่ที่เกิดเป็นแอลดีไฮด์โดยมีค่า chemical shift ปรากฏพิคที่ 9.80 ppm ของ CHO ของหมู่แอลดีไฮด์ตั้งแสดงในภาพ 3.45



ภาพ 3.45 $^1\text{H-NMR}$ สเปกตรัมของ 2-(4-hydroxy-3-methoxyphenyl) acetaldehyde

ที่สังเคราะห์ด้วยวิธีที่ 4 และวิธีที่ 6

จากการทดลอง $^1\text{H-NMR}$ สเปกตรัมที่ได้จากการสังเคราะห์โดยใช้แพลลาเดียมอะซิตेटและออกซิเจน เป็นรีเอเจนต์ (วิธีที่ 4) และจากการสังเคราะห์โดยใช้แพลลาเดียมคลอไรด์เป็นรีเอเจนต์ (วิธีที่ 6) ซึ่งเกิดสเปกตรัมของ แอลดีไฮด์ที่ 9.80 ppm และผลิตภัณฑ์ที่ได้เป็นสารผสม เช่นเดียวกัน จากการวิเคราะห์ที่ได้จาก $^1\text{H-NMR}$ ที่ได้จากการ สังเคราะห์อนุพันธ์ของญี่ปุ่นที่ใช้ปฏิกิริยาของ Oxidative cleavage จะเกิดพิคของแอลดีไฮด์เกิดขึ้นแล้วเกิดพิคของ สารผสมที่มีสิ่งปนเปื้อนอยู่ ซึ่งยังไม่สามารถแยกสารผสมออกจากกันได้ โดยจะนำไปหาวิธีในการแยกต่อไป

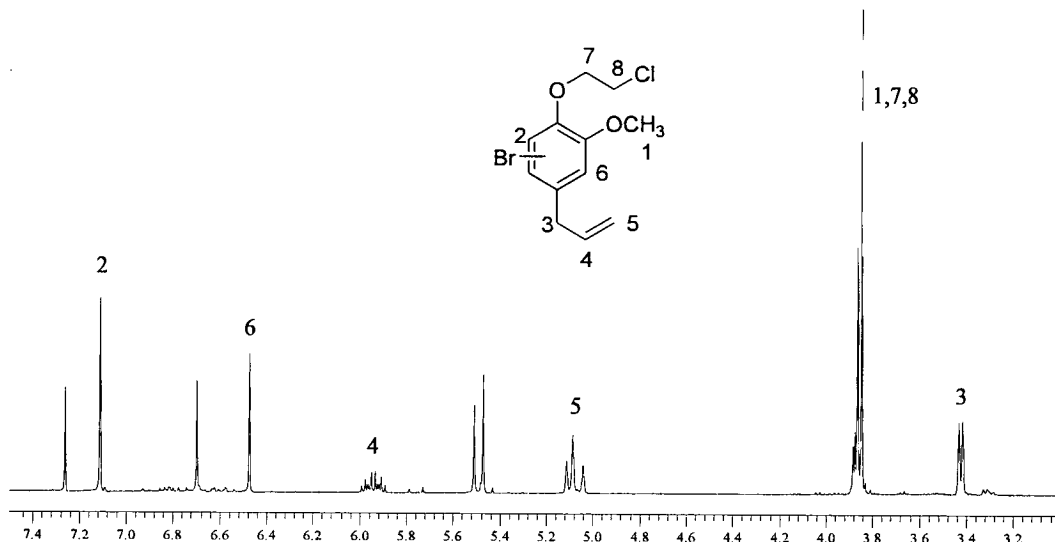
3.1.7 การสังเคราะห์สารอนุพันธ์ กลุ่มที่ 7 การสังเคราะห์อนุพันธ์ของยูจีนอล โดยการนำยูจีนอลมาทำปฏิกิริยาต่างๆ และกลุ่มที่ 8 การสังเคราะห์อนุพันธ์ของยูจีนอล โดยการปรับปรุงโครงสร้างหลายตำแหน่งพร้อมกัน

		สารอนุพันธ์ที่จะสังเคราะห์		
โครงสร้าง				
Code	P24	-	P25	
Name	Bromoeugenol	Chloroeugenol	Nitroeugenol	
โครงสร้าง				
Code	P2			
Name	Allylbenzene			

สารอนุพันธ์ในกลุ่มที่ 7 และกลุ่มที่ 8 ได้แก่ Bromoeugenol (P24), Chloroeugenol, Nitroeugenol (P25) และ Allylbenzene (P2) ซึ่งเป็นตัวแทนอนุพันธ์ของยูจีนอลที่นำมาทำปฏิกิริยาขั้นตอนเดียว เช่น ไฮโลเจนเข้าและคลิลเลชัน หรือออกซิเดชัน เป็นต้น เพื่อให้ได้ออนุพันธ์ของยูจีนอลแบบต่างๆ เพื่อศึกษาว่ามีแทนที่แบบใดจะมีผลต่อฤทธิ์การลดอย่างไร หรือเป็นการของการปรับโครงสร้างหลายตำแหน่ง เช่น บริเวณที่เป็นหมู่ไอก្រอกซี หรือ บริเวณที่เป็นหมู่เมทอกซี ซึ่งการออกแบบในหัวข้อนี้ จะชี้แจงถึงข้อมูลผลการทดสอบฤทธิ์ในการลดปลาของอนุพันธ์ทั้งหมด โดย Allylbenzene (P2) นั้นเป็นสารที่มีจำนวนอย่างมากในบริษัท Fluka และนำมาใช้ในการทดสอบฤทธิ์การเป็นยาลดโดยไม่ผ่านการทำให้บริสุทธิ์ ส่วน Bromoeugenol (P24) และ Nitroeugenol (P25) นั้นสามารถสังเคราะห์ได้โดยใช้ปฏิกิริยาบอร์มิเนชัน และในตรวจสอบยูจีนอล ตามลำดับ

ผู้ทดลองได้ทดลองทำปฏิกิริยาบอร์มิเนชันโดยใช้สารตั้งต้นเป็นยูจีนอลทำปฏิกิริยากับ Br_2 ในตัวทำละลายเป็น 1,2-dichloroethane ปรับอุณหภูมิไปที่ 0°C ในขั้นตอนนี้สารทดสอบมีลักษณะเป็นของเหลวใสสีฟ้า หลังคนทึ้งไว้นาน 3 ชั่วโมง ทำการติดตามการเกิดปฏิกิริยาด้วย TLC ในระบบตัวทำละลายเป็นสารทดสอบระหว่าง ethyl acetate และ hexane ในอัตราส่วน 1 ต่อ 6 พบร่วมกันใหม่เกิดขึ้นที่ตำแหน่งต่างๆ ตำแหน่งของยูจีนอล จากนั้นทำการเติมน้ำเพื่อหยุดปฏิกิริยาและเติม sodium metabisulfite ($\text{Na}_2\text{S}_2\text{O}_5$) เพื่อทำการกำจัดบอร์มีนที่เหลือออก ให้เกิดเป็น NaBr เมื่อบอร์มีนที่เหลือถูกกำจัดออกหมดสารละลายมีลักษณะสีขาวขุ่น จากนั้นทำการสกัดด้วย dichloromethane (CH_2Cl_2) และทำการตรวจสอบอีกครั้งด้วย TLC เพื่อให้แน่ใจว่าสารที่สกัดออกมานั้นเป็นผลิตภัณฑ์ที่ต้องการ

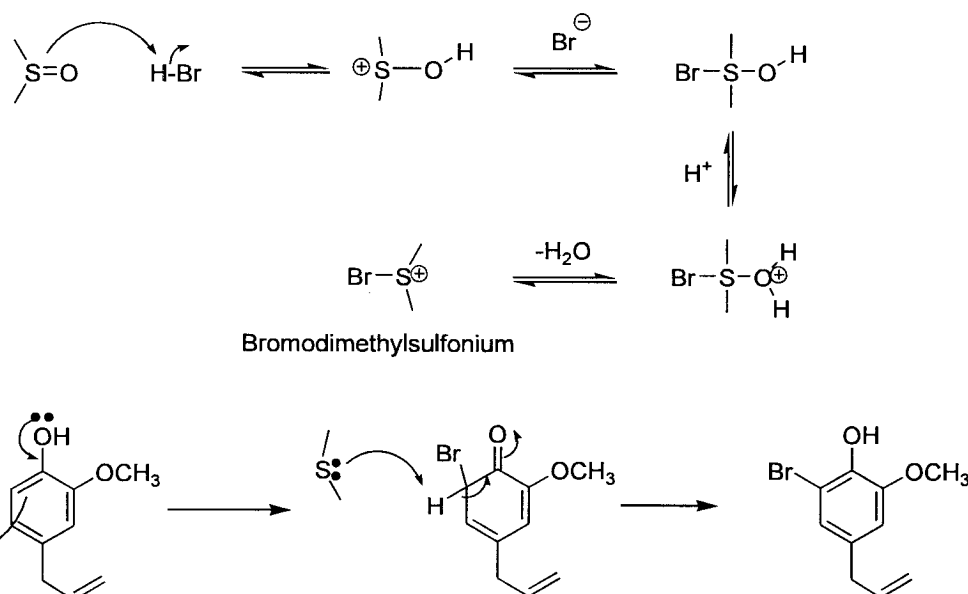
จากนั้นทำการระเหยเอตัวทำละลายออกแล้วละลายด้วย ethanol ทำการเติม Zn powder เพื่อเป็นตัว reduce Br ในปฏิกิริยาที่อาจจะมี Br เข้าไปแทนที่ในหลายตำแหน่ง โดยเฉพาะตำแหน่งของหมู่ allyl ให้กลับมาเป็น alkene เมื่อเดินทางในขั้นตอนนี้สารละลายมีลักษณะเป็นสีเทาชุ่น จากนั้นทำการเพิ่มอุณหภูมิไปที่ 60°C เป็นเวลา 12 ชั่วโมง เมื่อครบตามเวลาแล้วทำการกรองเอาผงสังกะสีออกและระเหยตัวทำละลาย สุดท้ายสักด้วยน้ำจะได้สารละลายที่มีลักษณะใส่มีสี นำมาทำให้สารมีความบริสุทธิ์ด้วยวิธีกรรมทางภาพแบบคลัมน์ในระบบตัวทำละลายเป็นสารผสมระหว่าง ethyl acetate และ hexane ในอัตราส่วน 1 ต่อ 6 เป็นเฟสเคลื่อนที่ จะได้สารผลิตภัณฑ์ที่มีลักษณะเป็นของเหลวใสสีเหลืองอ่อน จากนั้นส่งทดสอบเพื่อหาเอกลักษณ์ของสารด้วยเทคนิค Nuclear Magnetic Resonance (NMR) ผลจากการทดสอบของสารพบร่วมกับจากจะมีหมู่ Br แทนที่เข้าไปบนวงโคจรนาโนติกของยูจีนอลแล้ว คาดว่าจะมีการแทนที่ของ 1,2-dichloroethane ตรงตำแหน่ง $-\text{OH}$ ของยูจีนอล ซึ่งไม่ใช่ผลิตภัณฑ์ที่ต้องการโดย NMR spectrum แสดงดังภาพ 3.46 จึงทำการปรับเปลี่ยนกระบวนการทดลอง



ภาพ 3.46 ^1H NMR สเปกตรัมของ bromoeugenol ใน CDCl_3 ที่สังเคราะห์ได้

จาก condition : Br_2 , 1,2-dichloroethane, 0°C , 3 h.

จากรายงานในเอกสารอ้างอิง [11] พบร่วมปฏิกิริยาบรมิเนชันของสารประกอบอะโรมาติกที่เกิดผ่าน bromodimethylsulfonium bromide ในตัวทำละลายเป็น DMSO ที่อุณหภูมิห้องเป็นเวลา 2 ชั่วโมง จะให้ผลิตภัณฑ์ที่ต้องการสูงถึง 96% yield ผู้ทดลองจึงได้ทดลองทำปฏิกิริยาบรมิเนชัน (bromination) โดยใช้สารตั้งต้นเป็นยูจีนอลทำปฏิกิริยากับ hydrobromic acid (HBr) ในตัวทำละลายเป็น DMSO โดยคาดหวังว่า HBr จะเข้าทำปฏิกิริยากับ DMSO และเกิดเป็น bromodimethylsulfonium และ bromodimethyl sulfonium ion เข้าดึง proton จากยูจีนอลเกิดเป็น bromoeugenol แผนภาพการเกิดปฏิกิริยาแสดงดังภาพ 3.47

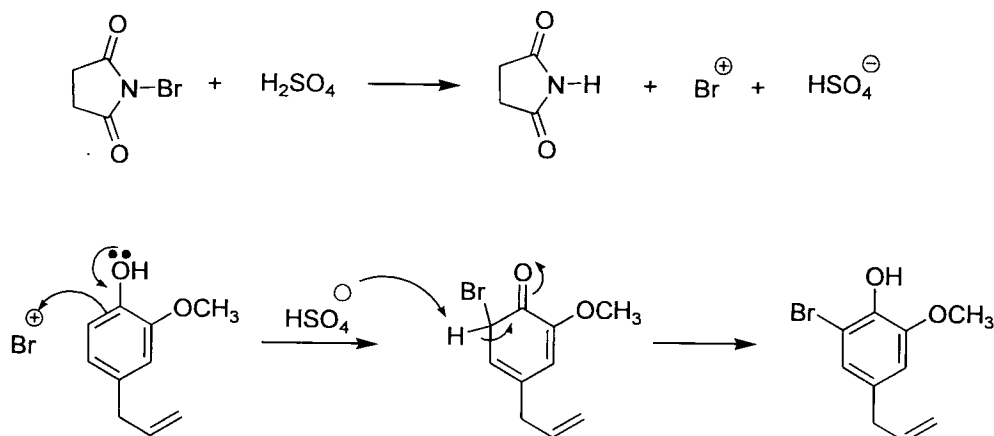


ภาพ 3.47 กลไกการเกิดปฏิกิริยา bromoeugenol โดยใช้ HBr เป็นตัวเข้าทำปฏิกิริยานในตัวทำละลาย DMSO

ปฏิกิริยาเริ่มต้นจากละลายยูนิโอลใน dimethyl sulfoxide 3 mL แล้วค่อยๆ เติม 48% HBr ลงไป ขั้นตอนนี้ สารละลายมีลักษณะใสสีเหลืองอ่อน ทำการคนทิ้งนาน 3 วัน เพื่อให้ปฏิกิริยาเกิดได้อย่างสมบูรณ์ เมื่อครบ 3 วัน สารละลายเปลี่ยนเป็นสีเข้ม จากนั้นติดตามการเกิดปฏิกิริยาด้วย TLC และเติมน้ำகள்เพื่อยุดปฏิกิริยา ทำการปรับ pH ด้วยสารละลายโซเดียมไฮดรอกไซด์ (NaOH) ให้ได้ pH ประมาณ 7-8 เพื่อให้สารละลายอยู่ในรูปที่เป็นกลาง และ ทำให้สารบริสุทธิ์โดยวิธีกรรมทางภาพแบบคลัมน์ สารผลิตภัณฑ์มีลักษณะเป็นของเหลวใสสีเหลือง จากนั้นส่ง ทดสอบเพื่อหาเอกลักษณ์ของสารด้วยเทคนิค Nuclear Magnetic Resonance (NMR) ผลจากการทดสอบหา เอกลักษณ์ของสารพบว่ามีสัญญาณชื่นจำนวนมาก ทั้งนี้คาดว่าสารผลิตภัณฑ์ที่เกิดขึ้นจะเป็นของผสมที่ไม่สามารถ แยกออกได้ด้วยเทคนิคคลัมน์ไมโครมาโทกราฟี

จากรายงานในเอกสารอ้างอิง [28] พบว่าได้มีการศึกษาปฏิกิริยาในรัมินชันของ deactivated aromatics ที่ใช้ *N*-bromosuccinimide (NBS) ในกรณีที่วิเคราะห์ขั้นทำปฏิกิริยา กับ 3-nitrobenzaldehyde ได้ผลิตภัณฑ์เป็น 3-bromo-5-nitrobenzaldehyde ถึง 92% yield

ผู้ทดลองจึงได้ทดลองทำปฏิกิริยาในรัมินชัน (bromination) โดยใช้สารตั้งต้นเป็นยูนิโอลทำปฏิกิริยากับ *N*-bromosuccinimide (NBS) ในตัวทำละลายเป็น sulfuric acid และให้ปฏิกิริยาเกิดที่ 60°C เป็นเวลา 1 ชั่วโมง โดยคาดหวังว่า *N*-bromosuccinimide (NBS) จะเข้าทำปฏิกิริยากับ sulfuric acid แล้วหลุด硼ในเนียมไอออกอนออกมา จากนั้นในรัมินเนียมไอออกอนจะเข้าทำปฏิกิริยากับยูนิโอลโดยมี sulfuric anion เข้าดึงไปรัมินจากยูนิโอลเกิดเป็น bromoeugenol กลไกการเกิดปฏิกิริยาแสดง ดังภาพ 3.48



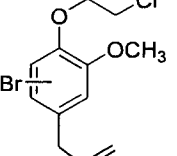
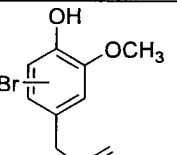
ภาพ 3.48 กลไกการเกิด bromoeugenol โดยใช้ NBS เป็นตัวเข้าทำปฏิกิริยาในตัวทำละลาย H_2SO_4

ปฏิกิริยาเริ่มต้นจากผงสมยูจีนอลลงใน sulfuric acid โดยค่อนข้างดูดซึมน้ำลงไป และวางแผนอ่างน้ำแข็งและละลาย *N*-bromosuccinimide ด้วย sulfuric acid จากนั้นค่อยๆ เติมน้ำไป แต่เนื่องจาก sulfuric acid เป็นกรดที่แรงจึงทำให้ควบคุมปฏิกิริยาได้ยาก เมื่อทำการเติมสารผสมเข้าด้วยกันสารผสมที่ได้มีลักษณะเป็นสีดำ และเมื่อทำให้สารบริสุทธิ์โดยวิธีโครมาโทกราฟีแบบคอลัมน์แล้วจะได้สารผลิตภัณฑ์ที่มีลักษณะเป็นของเหลวสีน้ำตาลเข้มจากนั้นส่งทดสอบเพื่อหาเอกลักษณ์ของสารพบว่ามีสัญญาณชี้จำนวนมากซึ่งคาดว่าสารผลิตภัณฑ์ที่เกิดขึ้นจะเป็นของผสมที่ไม่สามารถแยกออกได้ด้วยเทคนิคคอลัมน์โครมาโทกราฟี ทั้งนี้ปฏิกิริยาที่ไม่เกิดตามที่ต้องการคาดว่ามาจากสภาวะที่ใช้ไม่เหมาะสมคืออุณหภูมิอาจจะสูงเกินไป อีกทั้ง sulfuric acid ยังเป็นกรดที่แรงจึงเกิดปฏิกิริยาที่รุนแรงกับยูจีนอลทำให้เมื่อทดสอบหาเอกลักษณ์ของสารพบ peak ชี้จำนวนมาก ผู้ทดลองจึงได้ทดลองทำปฏิกิริยาต่อไปโดยเปลี่ยนตัวทำละลายและเปลี่ยนสภาวะใหม่เพื่อให้มีความเหมาะสมมากขึ้นในการเกิดปฏิกิริยา

หลังจากนั้นผู้วิจัยได้ใช้สารตั้งต้นเป็นยูจีนอลทำปฏิกิริยากับ *N*-bromosuccinimide (NBS) แต่เปลี่ยนตัวทำละลายเป็น DMF และเปลี่ยนสภาวะในการเกิดปฏิกิริยาเป็นที่ 0°C นาน 1 ชั่วโมง โดยคาดหวังว่า DMF จะเข้าดีงไป protonจากยูจีนอลจากนั้น NBS จะเข้าทำปฏิกิริยากับยูจีนอลเกิดเป็น bromoeugenol กลไกการเกิดปฏิกิริยาแสดงดังภาพ 3.49

ปฏิกิริยาเริ่มต้นจากผงสมยูจีนอลใน DMF 5 mL โดยค่อนข้างดูดซึมน้ำลงไป และวางแผนอ่างน้ำแข็งจากนั้นละลาย NBS ด้วย DMF จากนั้นค่อยๆ เติมน้ำในยูจีนอล ชั้นตอนนี้สารละลายผสมมีลักษณะเป็นของเหลวใสสีเหลืองและเมื่อคนทิ้งไว้ครบ 1 ชั่วโมง สารละลายผสมเปลี่ยนเป็นสีเหลืองส้ม และเมื่อนำมาทำให้สารบริสุทธิ์โดยวิธีโครมาโทกราฟีแบบคอลัมน์จะได้สารผลิตภัณฑ์ที่มีลักษณะเป็นของเหลวใสสีเหลืองอ่อนๆ จากนั้นส่งทดสอบเพื่อหา

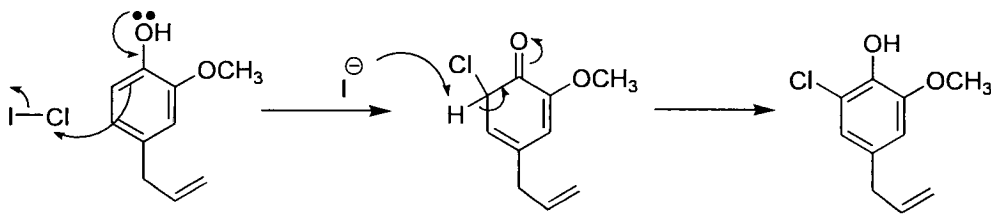
ตาราง 3.12 ສภาวะการทดลองและ % yield ของปฏิกิริยาบอร์มีนีเรชัน

ลำดับ	รีเอเจนต์	ตัวทำละลาย	ผลิตภัณฑ์ที่เกิดขึ้น	% yield
1	Bromine	1,2-dichloroethane		82.6
2	HBr	DMSO	ผลิตภัณฑ์เกิดเป็นของผสม	-
3	HBr, DMSO	Ethyl acetate	ผลิตภัณฑ์เกิดเป็นของผสม	-
4	NBS	Sulfuric acid	ผลิตภัณฑ์เกิดเป็นของผสม	-
5	NBS	DMF		47.7

สำหรับปฏิกิริยาคลอรีนีเรชัน (chlorination) เป็นปฏิกิริยาของหมู่ยาโลเจนที่เข้าทำปฏิกิริยากับสารอะโรมาติก จากรายงานในเอกสารอ้างอิง [29] พบว่าปฏิกิริยา oxychlorination ของยูจีนอล ทำปฏิกิริยากับ sodium chloride โดยมี copper(II)chloride เป็นตัวเร่งปฏิกิริยา เกิดภายในตัวทำละลายที่มีอุณหภูมิ 60°C เป็นเวลา 4-6 ชั่วโมง ผลิตภัณฑ์ที่เกิดขึ้นเกิดเป็น monochlorination ที่ให้ผลิตภัณฑ์ที่สูงถึง 99% yield

ผู้จัดจึงได้ทดลองทำปฏิกิริยาคลอรีนีเรชัน (chlorination) โดยใช้สารตั้งต้นเป็นยูจีนอลทำปฏิกิริยากับ NaCl โดยมี copper(II)chloride เป็นตัวเร่งปฏิกิริยา ในตัวทำละลายเป็น acetic acid ปฏิกิริยานี้เริ่มจากการเตรียมสารละลายผสม NaCl และ copper(II)chloride จากนั้นเติมลงในยูจีนอลที่ละลายในกรดอะซิติก (CH_3COOH) ทำการคนทึบไว้ (open air) พบร่วมปฏิกิริยาไม่เกิด ไม่พบร้าใหม่เกิดขึ้น และสารในปฏิกิริยาสังคบเป็นยูจีนอลตัวเดิมเมื่อทำการติดตามการเกิดปฏิกิริยาเบรี่ยนเทียบกับสารตั้งต้น ทั้งนี้การที่ปฏิกิริยาไม่เกิดนี้คาดว่าจะมาจากสภาวะที่ใช้อากาศยังไม่เหมาะสมที่จะทำให้เกิดปฏิกิริยา โดยอาจจะใช้อุณหภูมิที่ยังไม่เหมาะสมทำให้ยูจีนอลไอออกน้ำไปจับกับprotoion แล้วเกิดเป็นสารตั้งต้นตัวเดิม โดยไม่ทำปฏิกิริยากับคลอรีนเนียมไอออกน้ำ

หลังจากนั้นจึงได้ทดลองใช้สารตั้งต้นเป็นยูจีนอลทำปฏิกิริยากับ iodinemonochloride (ICl) และใช้ตัวทำละลายเป็น acetonitrile สภาวะในการเกิดปฏิกิริยาที่อุณหภูมิห้องนาน 8 ชั่วโมง โดยคาดหวังว่า ICl จะเข้าทำปฏิกิริยากับยูจีนอลเกิดเป็น chloroeugenol กลไกการเกิดปฏิกิริยาแสดงดังภาพ 3.51



ภาพ 3.51 กลไกการเกิด chloroeugenol โดยใช้ ICl เป็นตัวเข้าทำปฏิกิริยาในตัวทำละลาย CH₃CN

ปฏิกิริยานี้เริ่มจากละลาย yu-jin ol ใน CH₃CN โดยค่อนข้างดูจืดจางลงไป จากนั้นละลาย ICl ด้วย CH₃CN และค่อนข้างเดิมลงในyu-jin ol ขั้นแรกนี้สารผสมมีลักษณะใสสีน้ำตาลอ่อน ทำการคนทิ้งไว้ที่อุณหภูมิห้องเป็นเวลา 8 ชั่วโมง จากนั้นเติมสารละลาย Na₂S₂O₅ และสักัดด้วย CH₂Cl₂ ทำให้สารบริสุทธิ์โดยวิธีโครมาโทกราฟแบบคอลัมน์ โดยใช้ตัวทำละลายเป็นสารผสมระหว่างเอทิลอะซิตेटและ헥าน (EtOAc : Hexane) ในอัตราส่วน 1 ต่อ 6 เป็นเฟสเคลื่อนที่ จะได้สารผลิตภัณฑ์ที่มีลักษณะเป็นของเหลวใสสีเหลือง จากนั้นส่งทดสอบเพื่อหาเอกลักษณ์ของสารด้วยเทคนิค Nuclear Magnetic Resonance (NMR) ผลจากการทดสอบหาเอกลักษณ์ของสารพบว่าจากสเปกตรัม ¹H NMR ของสารผลิตภัณฑ์ที่เกิดขึ้นเปรียบเทียบกับสัญญาณ ¹H NMR ของสารตั้งต้น yu-jin ol ยังคงพบสัญญาณของ aromatic โปรดอน แต่ไม่พบสัญญาณของ allyl โปรดอน แสดงให้เห็นว่ามีหมู่แทนที่เข้าไปแทนที่บันดาลตำแหน่งของหมู่ allyl ของสารตั้งต้นแทนการเข้าที่ตำแหน่งบันดาลของโมโนติกของสารตั้งต้น yu-jin ol

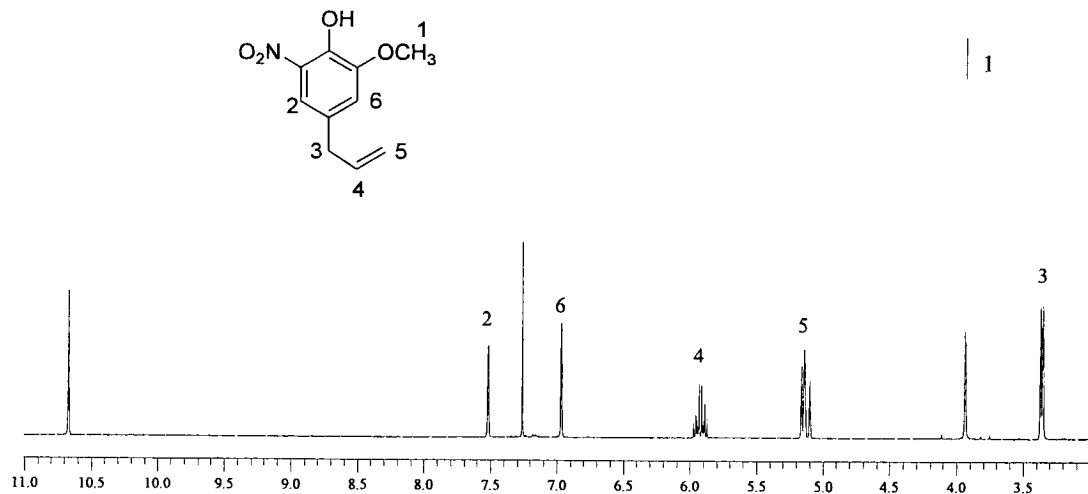
ตาราง 3.13 ສภาวะการทดลองและ % yield ของปฏิกิริยาคลอริเนชัน

วิธี	ตัวเข้าทำปฏิกิริยา	ตัวทำละลาย	ผลิตภัณฑ์ที่เกิดขึ้น	% yield
1	Sodium chloride	Acetic acid	ไม่เกิดผลิตภัณฑ์	-
2	Iodine monochloride	Acetonitrile		24.7

ดังนั้นจึงไม่สามารถสังเคราะห์ Chloroeugenol ได้ตามแผนที่วางไว้

สำหรับปฏิกิริยานิเตรชัน (nitration) โดยทั่วไปของสารอะโนมาติกเป็นปฏิกิริยาของเบนซินกับกรดไนติก (HNO₃) โดยมีกรดซัลฟูริก (H₂SO₄) เข้มข้น เป็นตัวเร่งปฏิกิริยา ผู้จัดจึงได้ทดลองทำปฏิกิริยานิเตรชัน (nitration) โดยใช้ yu-jin ol เป็นสารตั้งต้นทำปฏิกิริยากับ urea nitrate ในตัวทำละลายเป็น acetic acid โดยจะใช้อ่อนของไนโตรเนียมจาก urea nitrate เป็นตัวเข้าทำปฏิกิริยากับ yu-jin ol โดยขั้นตอนการเกิดปฏิกิริยาจะเริ่มจากละลาย yu-jin ol ในน้ำในภาชนะซึ่ดิบเพื่อให้ yu-jin ol ในน้ำละลายในรูปของอนแทร์มีเดียตที่พร้อมที่จะเข้าทำปฏิกิริยา จากนั้นเติม yu-jin ol

แล้วเพิ่มอุณหภูมิไปที่ 60°C เป็นเวลา 24 ชั่วโมง เพื่อให้ยูจีนอลและยูเรียในเตอร์ตมีพลังงานมากพอที่จะเกิดการแตกพันธะเดิมและมีการสร้างพันธะใหม่ได้ ในขั้นแรกนี้สารผสมมีลักษณะใสไม่มีสีและเมื่อเวลาผ่านไป 24 ชั่วโมง สารผสมเปลี่ยนเป็นสีน้ำตาลเข้ม จากนั้นทำการติดตามการเกิดปฏิกิริยาด้วย TLC เปรียบเทียบสารผลิตภัณฑ์กับสารตั้งต้นในระบบตัวทำละลายที่เหมาะสมคือสารผสมระหว่าง ethyl acetate และ hexane ในอัตราส่วน 1 ต่อ 6 โดยผลจาก TLC พบ spot ของสารเพียง spot เดียวบน TLC ซึ่งอยู่ในตำแหน่งที่ต่างกว่าตำแหน่งของสารตั้งต้น จากนั้นจึงทำการเติมน้ำกลันเพื่อหยุดปฏิกิริยาและทำการปรับ pH ของสารผสมให้ได้ pH ประมาณ 7-8 ด้วยเบสอ่อนคือโซเดียมไอกโซเดจุนคาร์บอนเนต (NaHCO_3) เพื่อให้สารผสมมีสภาพที่เป็นกลาง จากนั้นจึงทำการสกัดด้วย dichloromethane (CH_2Cl_2) สารที่ทำการสกัดออกมานั้นเป็นผลิตภัณฑ์ที่ต้องการ ทำการกำจัดน้ำออกโดยการเติม sodium sulfate ทำให้สารมีความบริสุทธิ์ด้วยวิธีโครง黎明ภาพแบบคอลัมน์จะได้สารผลิตภัณฑ์ที่มีลักษณะเป็นของเหลวใสสีเหลืองอ่อน จากนั้นส่งทดสอบเพื่อหาเอกลักษณ์ของสารด้วยเทคนิค Nuclear Magnetic Resonance (NMR) ผลจากการทดสอบหาเอกลักษณ์ของสารพบว่ามีหมู่แทนที่เข้าไปแทนที่บันวงของromaติกของสารตั้งต้น เมื่อเปรียบเทียบกับ NMR spectrum ของสารตั้งต้นยูจีนอล ดังแสดงในภาพ 3.52



ภาพ 3.52 $^1\text{H-NMR}$ สเปกตัมของ nitroeugenol ใน CDCl_3 ที่สังเคราะห์ได้

จาก condition :urea nitrate, CH_3COOH , 60°C , 24 h

จาก $^1\text{H-NMR}$ สเปกตัมสามารถยืนยันโครงสร้างของ nitroeugenol ที่ได้ สอดคล้องกับงานวิจัยที่ผ่านมาในปี ค.ศ. 2009 ของ Sudarma I. M. และคณะ [30] ที่พบว่ามีหมู่ $-\text{NO}_2$ เข้าแทนที่บันวงของromaติกของยูจีนอลในตำแหน่ง ortho กับหมู่ $-\text{OH}$ จากการศึกษาด้วยปฏิกิริยาในเตอร์ตันโดยใช้ยูจีนอลเป็นสารตั้งต้นทำปฏิกิริยากับ potassium hydrogen sulfate (KHSO_3), sodium nitrate (NaNO_3) ในสภาวะที่มีการใช้ wet silica และตัวทำ

ละลายน้ำเป็น dichloromethane (CH_2Cl_2) ได้ผลิตภัณฑ์ทั้งหมด 75% yield [30] ส่วนผลิตภัณฑ์ที่ผู้วิจัยสามารถสังเคราะห์ได้คือ 47.9% yield

ดังนั้นสามารถสรุปได้ว่าสามารถสังเคราะห์สารอนุพันธ์ของยูจีนอลกลุ่มที่ 1 ถึงกลุ่มที่ 8 ได้ทั้งหมด 17 อนุพันธ์ รวมกับอนุพันธ์ที่มีจำนวนน้อยอยู่แล้ว 9 อนุพันธ์ รวมเป็นสารอนุพันธ์ที่มีการตัดแบ่งโครงสร้างที่จะนำไปทดสอบฤทธิ์การเป็นยาสลบในสัตว์ทั้งหมด 26 อนุพันธ์ ดังแสดงรายละเอียดในตาราง 3.14

ตาราง 3.14 รหัส โครงสร้าง และน้ำหนักของสารอนุพันธ์ที่สามารถเตรียมได้จากการวิจัยครั้งนี้

รหัส	อนุพันธ์	Yield (%)	น้ำหนักที่ได้ (g)	หมายเหตุ
P1		-	-	เป็นสารที่มีจำนวนน้อย (Eugenol)
P2		-	-	เป็นสารที่มีจำนวนน้อย (Allyl benzene)
P3		-	-	เป็นสารที่มีจำนวนน้อย (O-allyl guaiacol))
P4		82.1	2.72	
P5		89.7	3.19	

รหัส	อนุพันธ์	Yield (%)	น้ำหนักที่ได้ (g)	หมายเหตุ
P6		54.7	4.20	
P7		86.3	7.12	
P8		67.6	5.57	
P9		81.0	5.70	
P10		56.6	3.73	สารใหม่
P11		98.0	7.30	

รหัส	อนุพันธ์	Yield (%)	น้ำหนักที่ได้ (g)	หมายเหตุ
P12		75.1	5.91	
P13		90.5	6.60	
P14	-			Placebo Solution
P20		-	-	เป็นสารที่มี จำหน่าย (4-Allyl anisole)
P21		-	-	เป็นสารที่มี จำหน่าย (Guaiacol)
P22		-	-	เป็นสารที่มี จำหน่าย (O-Anisidine)
P23*		-	-	เป็นสารที่มี จำหน่าย (Eugenol + Menthol)

รหัส	อนุพันธ์	Yield (%)	น้ำหนักที่ได้ (g)	หมายเหตุ
P24		47.7	5.48	
P25		47.9	3.31	
P26		-	4.00	เป็นสารที่มี จำหน่าย (isoeugenol)
P27		64.1	2.43	
P28		17.0	0.50	
P29		6.9	0.50	

รหัส	อนุพันธ์	Yield (%)	น้ำหนักที่ได้ (g)	หมายเหตุ
P30		45.3	2.00	สารใหม่
P31		-	4.00	เป็นสารที่มี จำหน่าย (paracetamol)
P32		60.0	2.00	

รวมสารอนุพันธ์ทั้งหมด 26 ชนิด

*หมายเหตุ : อนุพันธ์ P23 เป็นสารผสมระหว่างยูนิคลและเมนทอลในอัตราส่วน 1.1 : 0.9 ซึ่งอยู่นอกเหนือ
วัตถุประสงค์ของโครงการ อย่างไรก็ตามมีรายงานจากเอกสารอ้างอิง (Aquaculture, 2009, 298, 162–167) ว่าสาร
ชนิดนี้ สามารถใช้ในการลับกุ้งก้ามกรามได้ ผู้วิจัยจึงได้เตรียมเป็นอนุพันธ์เพื่อทดสอบการลับในสตอร์น้ำในครั้งนี้
ด้วย

3.2 การตั้งค่ารับอิมลชันของสารอนุพันธ์ยูจีนอลที่สังเคราะห์ได้

การตั้งค่ารับอิมลชันของสารอนุพันธ์ยูจีนอลที่สังเคราะห์ได้ เพื่อศึกษาหาสัดส่วนและชนิดของคู่ของสารก่ออิมลชันที่เหมาะสมสำหรับการเตรียมตัวรับยูจีนอลอิมลชันที่มีความคงตัวดี โดยงานในส่วนนี้ดำเนินการโดย รศ.ดร.ศักดิ์ชัย วิทยาภาควิชากุล และ ภาควิชาเทคโนโลยีเภสัชกรรม คณะเภสัชกรรม มหาวิทยาลัยนเรศวร ตามที่ได้กล่าวรายละเอียดในบทที่ 2 โดยจะแบ่งเป็นขั้นตอนดังนี้

1. การศึกษาอิทธิพลของค่า Hydrophilic-Lipophilic-Balance (HLB) ต่อความคงตัวของยูจีนอลอิมลชัน
2. การศึกษาอิทธิพลของความเข้มข้นของสารก่ออิมลชันต่อความคงตัวของยูจีนอลอิมลชัน
3. การศึกษาอิทธิพลของคู่สารก่ออิมลชันชนิดต่างๆ ต่อความคงตัวของยูจีนอลอิมลชัน
4. การประเมินผลความคงตัวของยูจีนอลอิมลชัน เช่น Creaming, Cracking, Apparent Viscosity และ Physical Appearance

โดยได้ผลการทดลองดังต่อไปนี้

ตาราง 3.15 การประเมินผลของค่า HLB ต่อความคงตัวของอิมลชัน

HLB	การประเมินหลังตั้งทิ้งไว้ 30 นาที			การประเมินหลังตั้งทิ้งไว้ 1 สัปดาห์		
	% Creaming	Cracking	App-η (s)	% Creaming	Cracking	App-η (s)
5	-	-	9.67 (SD 1.15)	-	++	3.67 (SD 1.15)
8	-	-	9.33 (SD 2.52)	-	+	5.00 (SD 2.00)
10	-	-	9.33 (SD 2.52)	-	-	3.67 (SD 1.53)
12	-	-	11.00 (SD 3.61)	3.37 (SD 1.14)	++++	3.00 (SD 1.00)

หมายเหตุ

1. ลักษณะของอิมลชันเริ่มต้นเป็นลักษณะขาวขุ่นเหมือนน้ำนมทุกหลอด
2. เมื่อตั้งทิ้งไว้เป็นเวลากานาน 7 วัน พบร่วมกับความคงตัวของหยดน้ำมันเกิดขึ้นบางส่วนโดยที่ส่วนที่เป็นน้ำมันยูจีนอลจะไปรวมตัวกันหลอด ซึ่งต่างไปจากน้ำมันทั่วไปที่จะถอยอยู่บนผิวน้ำ
3. ลักษณะการแยกขึ้นแบ่งได้เป็น

- ยังคงเป็นอิมัลชันขาวขุ่น ไม่มีการแยกของหยดน้ำมัน
- + ยังคงเป็นอิมัลชันขาวขุ่นแต่มีหยดน้ำมันที่กันหลอดเล็กน้อย
- ++ ยังคงเป็นอิมัลชันขาวขุ่นแต่มีหยดน้ำมันใหญ่ที่กันหลอด
- +++ ยังคงเป็นอิมัลชันขาวขุ่นแต่มีหยดน้ำมันแยกได้เป็นริ้วที่กันหลอด
- ++++ อิมัลชันแยกขั้นชัดเจน

ตาราง 3.16 ค่า HLB โดยประมาณของสารลดแรงตึงผิว

ชื่อสาร	HLB
Tween 20	16.7
Tween 60	14.9
Tween 80	15.0
Span 20	8.6
Span 60	4.7
Span 80	4.3

ตาราง 3.17 การประเมินผลของความเข้มข้นของสารก่ออิมัลชันต่อความคงตัวของอิมัลชัน (HLB = 10)

ความเข้มข้น (% w/w)	การประเมินหลังตั้งพิงไว้ 30 นาที			การประเมินหลังตั้งพิงไว้ 1 สัปดาห์		
	% Creaming	Cracking	App-η (s)	% Creaming	Cracking	App-η (s)
1	-	-	7.67 (SD 0.58)	2.94 (SD 0.64)	+++	2.67 (SD 0.58)
3	-	-	10.00 (SD 1.00)	-	+	2.67 (SD 0.58)
5	-	-	8.00 (SD 2.65)	-	-	2.67 (SD 0.58)
10	-	-	8.00 (SD 3.46)	-	-	3.33 (SD 0.58)
15	-	-	10.67 (SD 1.15)	-	-	12.67 (SD 2.52)

หมายเหตุ

1. ลักษณะของอิมลัชันเริ่มต้นเป็นลักษณะขาวขุ่นเหมือนน้ำนมทุกหลอด
2. เมื่อตั้งทิ้งไว้เป็นเวลา 7 วัน พบว่ามีการรวมตัวของหยดน้ำมันเกิดขึ้นบางส่วนโดยที่ส่วนที่เป็นน้ำมันยังคงจะไปรวมตัวของอยู่ที่ก้นหลอด ซึ่งต่างไปจากน้ำมันทั่วไปที่จะลอยอยู่บนผิวน้ำ
3. ลักษณะการแยกขึ้นแบ่งได้เป็น
 - ยังคงเป็นอิมลัชันขาวขุ่น ไม่มีการแยกของหยดน้ำมัน
 - + ยังคงเป็นอิมลัชันขาวขุ่นแต่มีหยดน้ำมันที่ก้นหลอดเล็กน้อย
 - ++ ยังคงเป็นอิมลัชันขาวขุ่นแต่มีหยดน้ำมันใหญ่ที่ก้นหลอด
 - +++ ยังคงเป็นอิมลัชันขาวขุ่นแต่มีหยดน้ำมันแยกได้เป็นชั้นที่ก้นหลอด
 - ++++ อิมลัชันแยกชั้นชัดเจน

ตาราง 3.18 การประเมินผลของคุณภาพอิมลัชันต่อความคงตัวของอิมลัชัน (HLB = 10)

ความเข้มข้น (% w/w)	การประเมินหลังตั้งทิ้งไว้ 30 นาที			การประเมินหลังตั้งทิ้งไว้ 1 สัปดาห์		
	% Creaming	Cracking	App-η (s)	% Creaming	Cracking	App-η (s)
T20S20	2.56	-	5.00 (SD 1.00)	3.27 (SD 2.95)	+++	3.00 (SD 0.00)
T20S60	-	+	5.33 (SD 0.58)	-	++	ไม่เหลือ
T20S80	-	-	5.00 (SD 0.00)	2.52 (SD 1.66)	++	3.33 (SD 0.58)
T60S20	2.59	-	5.33 (SD 0.58)	-	++	3.67 (SD 0.58)
T60S60	-	-	4.67 (SD 0.58)	-	+	5.67 (SD 4.04)
T60S80	3.41	+	5.33 (SD 2.31)	-	+	3.67 (SD 0.58)
T80S20	1.08	-	5.00 (SD 1.00)	2.11	++	3.33 (SD 1.53)

ความเข้มข้น (% w/w)	การประเมินหลังตั้งทิ้งไว้ 30 นาที			การประเมินหลังตั้งทิ้งไว้ 1 สัปดาห์		
	% Creaming	Cracking	App-η (s)	% Creaming	Cracking	App-η (s)
T80S60	1.00	-	5.00 (SD 1.73)	2.06	+	3.33 (SD 0.58)
T80S80	-	-	5.00 (SD 1.00)	-	-	3.00 (SD 1.73)

หมายเหตุ

1. ลักษณะของอิมลชันเริ่มต้นเป็นลักษณะขาวขุ่นเหมือนน้ำนมทุกหลอด
2. ลักษณะการแยกชั้นแบ่งได้เป็น
 - ยังคงเป็นอิมลชันขาวขุ่น ไม่มีการแยกของหยดน้ำมัน
 - + ยังคงเป็นอิมลชันขาวขุ่นแต่มีหยดน้ำมันที่กันหลอดเล็กน้อย
 - ++ ยังคงเป็นอิมลชันขาวขุ่นแต่มีหยดน้ำมันใหญ่ที่กันหลอด
 - +++ ยังคงเป็นอิมลชันขาวขุ่นแต่มีหยดน้ำมันแยกได้เป็นชั้นที่กันหลอด
 - ++++ อิมลชันแยกชั้นชัดเจน

วิจารณ์ผลการทดลอง

1. การประเมินผลสำหรับภายนอกการเติร์ยม พ布ว่าอิมลชันมีลักษณะเป็นอิมลชันสีขาวนวล คล้ายน้ำนม ซึ่งแม้ว่า การทดลองนี้จะไม่สามารถทดสอบชนิดของอิมลชันที่ประเมินจากความสามารถในการละลายของสีระหง่านไว้ใน วัตภาคน้ำและน้ำมันได้ เนื่องจากสีที่ใช้ทดสอบ methylene blue สามารถละลายได้ทั้งในน้ำมันและน้ำ อย่างไรก็ตามจากการประเมินสัดส่วนของปริมาณของวัตภาคน้ำและน้ำมันแล้ว สำหรับน้ำจะเป็นประเภท น้ำในน้ำมัน เนื่องจากปริมาณของน้ำในสำหรับค่อนข้างสูงถึงร้อยละ 90 โดยน้ำหนัก
2. เนื่องจากน้ำมันที่ใช้เป็นน้ำมันยูนิลที่มีลักษณะเป็นของเหลว omnol ความถ่วงจำเพาะไม่มากนัก (specific gravity: 1.064- 1.070) ความเข้มข้นที่ใช้เพียงร้อยละ 4 โดยน้ำหนัก และองค์ประกอบส่วนใหญ่ของ สำหรับเป็นน้ำ ดังนั้นสำหรับที่เติร์ยมได้ จึงได้มีความหนืดแน่นอยู่ในหลอดได้ง่าย และระยะเวลาในการให้หล่อจึงไม่แตกต่าง กันมากนัก ยกเว้นในกรณีที่ใช้ความเข้มข้นของสารก่ออิมลชันในปริมาณที่สูง เช่น ร้อยละ 15 โดยน้ำหนักสำหรับ จะให้หลาภากลืน แต่เมื่อตั้งทิ้งไว้นานพบว่าสำหรับอิมลชันที่ได้ไม่มีความคงตัว ซึ่งแม้จะมีความหนืดสูง
3. ความไม่คงตัวของสำหรับส่วนใหญ่เกิดจากการเกิด creaming ซึ่งจะพบหยดน้ำมันยูนิลแยกชั้นออกจากน้ำ ด้านล่าง เป็นแพะรวมน้ำมันยูนิลนั้นหากกว่าหนึ่งสัปดาห์ การเกิด cracking พบร้าสำหรับที่เติร์ยมได้ส่วนใหญ่ไม่เกิด

cracking ยกเว้นในกรณีที่ใช้สารก่ออิมลชันเป็น Tween 20 และ Span 60 ซึ่งพบว่ามีการเกิด cracking ทั้ง 3 ครั้งที่มีการทำการทดลอง

4. สำหรับการหาค่า HLB ที่มีเหมาะสมเมื่อใช้ Tween 80 และ Span 80 เป็นสารก่ออิมลชันที่ความเข้มข้นร้อยละ 5 โดยน้ำหนัก พบร่วมกับ HLB 10 ทำให้ได้รับมีความคงตัวยังคงเป็นอิมลชันดี แม้จะตั้งทิ้งไว้เป็นระยะเวลา ดังแสดงในตารางที่ 4 และเมื่อกำหนดให้ HLB ของตัวรับเท่ากับ 10 โดยน้ำหนัก โดยใช้ Tween 80 และ Span 80 เป็นสารก่ออิมลชัน พบร่วมกับความเข้มข้นของสารก่ออิมลชันร้อยละ 5 และ 10 เป็นความเข้มข้นที่ทำให้ได้รับอิมลชัน ยูจีนอลมีความคงตัวเมื่อเทียบกับความเข้มข้นอื่นๆ ดังที่แสดงไว้ในตารางที่ 5
5. อิทธิพลของคู่สารทำอิมลชันชนิดต่างๆ ต่อความคงตัวของอิมลชันซึ่งกำหนดให้ HLB เท่ากับ 10 และความเข้มข้นของสารก่ออิมลชันเท่ากับร้อยละ 5 พบร่วมกับ Tween 20 และ Span 80 กับ Tween 80 และ Span 80 ให้อิมลชันที่มีความคงตัวดีเมื่อตั้งทิ้งไว้ ดังแสดงผลในตารางที่ 6
6. เมื่อพิจารณาผลของการทดลองในภาพรวมพบว่าการใช้สารก่ออิมลชันเป็น Tween 80 และ Span 80 โดยกำหนดให้ Total required HLB ของตัวรับเท่ากับ 10 และความเข้มข้นของสารก่ออิมลชันเท่ากับร้อยละ 5 โดยน้ำหนัก น่าจะเหมาะสมในการนำมาเตรียมตัวรับยูจีนอลอิมลชัน

สรุปผลการทดลองการเติมตัวรับสารอนุพันธ์ของยูจีนอลที่สังเคราะห์ได้

จากการทดลองพบว่าตัวรับที่เหมาะสมในการเติมยูจีนอลอิมลชันให้มีความคงตัวดี ตัวรับที่มีสารก่ออิมลชันเป็น Tween 80 และ Span 80 โดยกำหนดให้ Total required HLB ของตัวรับเท่ากับ 10 และความเข้มข้นของสารก่ออิมลชันเท่ากับร้อยละ 5 และตัวรับอนุพันธ์ของยูจีนอลที่เติมได้ทั้งหมดจะถูกส่งไปทดสอบฤทธิ์ที่ภาควิชาเคมีศาสตร์ คณะวิทยาศาสตร์ มหาวิทยาลัยบูรพาต่อไป

3.3 การทดสอบฤทธิ์การสลบในสัตว์น้ำ

การทดสอบฤทธิ์ในสัตว์น้ำเป็นงานทางด้านวาริชศาสตร์ เพื่อศึกษาฤทธิ์ทางชีวภาพของสารอนุพันธ์ที่สังเคราะห์ขึ้น โดยเน้นเฉพาะฤทธิ์การเป็นยาสลบในสัตว์น้ำประเภทปลา กุ้ง และปูเป็นหลัก โดยงานในส่วนนี้ดำเนินการโดย พศ.ดร.บุญรัตน์ ประทุมชาติ และดร.ณอมศักดิ์ บุญรักดี ภาควิชาวาริชศาสตร์ คณะวิทยาศาสตร์ มหาวิทยาลัยบูรพา โดยทำการทดลองภายในโรงเพาะเลี้ยงสัตว์น้ำ ภาควิชาวาริชศาสตร์ คณะวิทยาศาสตร์ มหาวิทยาลัยบูรพา จังหวัดชลบุรี โดยสัตว์ทดลองทั้งหมดเป็นสัตว์เศรษฐกิจ ต้องการการสลบเพื่อการขันล่ง และมีผลกระทบทางธุรกิจของประเทศไทยสูง แบ่งเป็น 3 กลุ่มดังนี้

กลุ่มที่ 1 ครัสเตเชียน (Crustacean)

กุ้งขาว (*Litopenaeus vannamei*)

ปูม้า (*Portunus pelagicus*)

กลุ่มที่ 2 กลุ่มปลาเม็กเล็ต

ปลากระพงขาว (*Lates calcarifer*)

กลุ่มที่ 3 ปลาไม่มีเม็กเล็ต

ปลาดุกบีกอุย (male *Clarias gariepinus* x female *Clarias macrocephalus*)

สัตว์ทดลองทั้งหมดจะพักไว้ภายในโรงเพาะเลี้ยงสัตว์น้ำ ภาควิชาวาริชศาสตร์ คณะวิทยาศาสตร์ มหาวิทยาลัยบูรพา มีแสงน้ำดับเพื่อลดแสงประมาณ 60% ให้ออกซิเจนที่ 6.5 ppm ความเค็มน้ำ 10 ppt (กรณีน้ำทะเล) อุณหภูมิน้ำ 27-29 °C pH 7.8-8.5 และดให้อาหาร 24 ชั่วโมงก่อนการทดลอง โดยน้ำทะเลที่ใช้ได้มาจากแหล่งต้นและแม่น้ำ จังหวัดชลบุรี

ในการทดลองทั้งหมดนี้ จะใช้ความเข้มข้นของสารอนุพันธ์ที่ 25 และ 50 ppm โดยพิจารณาจากรายงานในเอกสารอ้างอิงหลายฉบับ ซึ่งส่วนใหญ่จะใช้ความเข้มข้นในการทดสอบการสลบปลาอยู่ในช่วง 15-80 ppm ซึ่งอยู่กับชนิดของปลาหรือสัตว์น้ำที่ใช้ และขนาดน้ำหนักตัวของสัตว์น้ำ ประกอบกับผลการทดลองเบื้องต้นที่มีมาก่อนหน้านี้ ว่าความเข้มข้นในช่วง 20-50 ppm เป็นความเข้มข้นที่สามารถสลบปลาได้ถึงระดับที่ 2 โดยมีอัตราการลดลง

การทดสอบจะทดสอบในสัตว์น้ำ 4 ชนิด ได้แก่ 1. ปลาดุกบีกอุย 2. ปลากระพงขาว 3. กุ้งขาว และ 4. ปูม้า และในสัตว์น้ำแต่ละชนิดจะทำการทดลอง 3 ขั้นตอน คือ

1. ระยะเวลาในการสลบ (Anesthetic time)

ระยะเวลาในการสลบ หมายถึง ระยะเวลาที่ทำให้สัตว์น้ำเริ่มสลบในระดับที่ 3 (ตาราง 3.19) หลังจากนำสัตว์น้ำลงสู่ภาชนะที่มีสารอนุพันธ์อยู่ โดยสารอนุพันธ์ที่มีระยะเวลาในการสลบที่เร็ว หมายความถึงการออกฤทธิ์ของสารอนุพันธ์ที่รวดเร็ว โดยจะเบรียบเทียบกับยูจีนอลเป็นหลัก

2. ระยะเวลาในการฟื้นสลบ (Recovery time)

ระยะเวลาในการฟื้นสลบ หมายถึง ระยะเวลาที่ทำให้สัตว์น้ำเริ่มฟื้นจากการสลบเข้าสู่ภาวะปกติ หลังจากนำสัตว์น้ำลงสู่ภาชนะพักฟื้น โดยสารอนุพันธ์ที่มีระยะเวลาในการฟื้นสลบที่ช้า หมายความถึงการออกฤทธิ์ของสารอนุพันธ์ที่ยาวนาน โดยจะเบรียบเทียบกับยูจีนอลเป็นหลัก

3. อัตราการรอดตาย (Survival rate)

อัตราการรอดตาย หมายถึง จำนวนของสัตว์น้ำที่นำมาทำการทดลอง หลังจากที่ผ่านการทดลองแล้ว 24 ชั่วโมง สารอนุพันธ์ที่มีอัตราการรอดตายสูง หมายความถึง ความปลอดภัยในการนำมาใช้กับสัตว์น้ำชนิดนั้น โดยจะเบรียบเทียบกับยูจีนอลเป็นหลัก โดยอัตราการรอดตายของสัตว์น้ำที่ยอมรับได้ คือมากกว่าร้อยละ 80

สรุปหลักเกณฑ์ในการพิจารณาสารอนุพันธ์ที่มีศักยภาพในการเป็นยาสลบสัตว์น้ำ

- ใช้ระยะเวลาในการสลบสัตว์น้ำได้เร็ว (สลบได้เร็ว) ใกล้เคียงหรือต่ำกว่ายูจีนอล
- ใช้ระยะเวลาในการฟื้นสลบสัตว์น้ำนาน (สลบได้นาน) ใกล้เคียงหรือนานกว่ายูจีนอล
- มีอัตราการรอดชีวิตมากกว่าร้อยละ 80
- มีวิธีการสังเคราะห์ง่าย ไม่ยุ่งยาก ซับซ้อน

ตาราง 3.19 ระดับของการสลบของสัตว์น้ำ

ระดับ	ลักษณะ	พฤติกรรมหรือการตอบสนอง
1	Sedation	การเคลื่อนไหวและการหายใจลดลง
2	Anesthesia	เสียสมดุลบางส่วน และมีการตอบสนองต่อการจับหรือสัมผัส
3	Surgical anesthesia	เสียสมดุลทั้งหมด และไม่ตอบสนองต่อการจับหรือการสัมผัส
4	Death	หยุดหายใจและหัวใจหยุดทำงาน

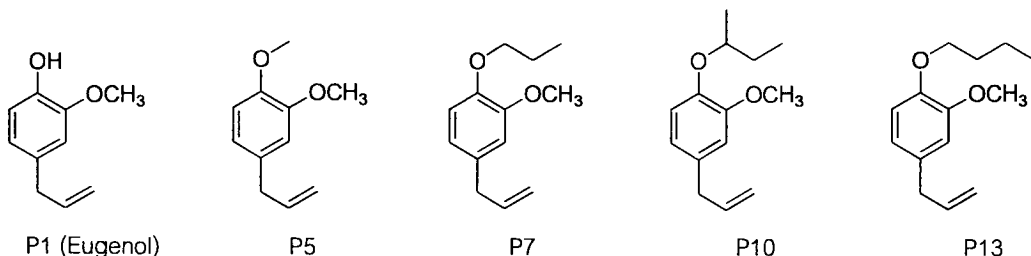
ที่มา : Coyle, S. D.; Durborow, R. M.; Tidwell, J. H., *Anaesthetics in aquaculture*. Kentucky State University

Aquaculture Research Center. 2004.

3.3.1 ผลการทดสอบฤทธิ์การลอกในปลาดุกบีกอุช

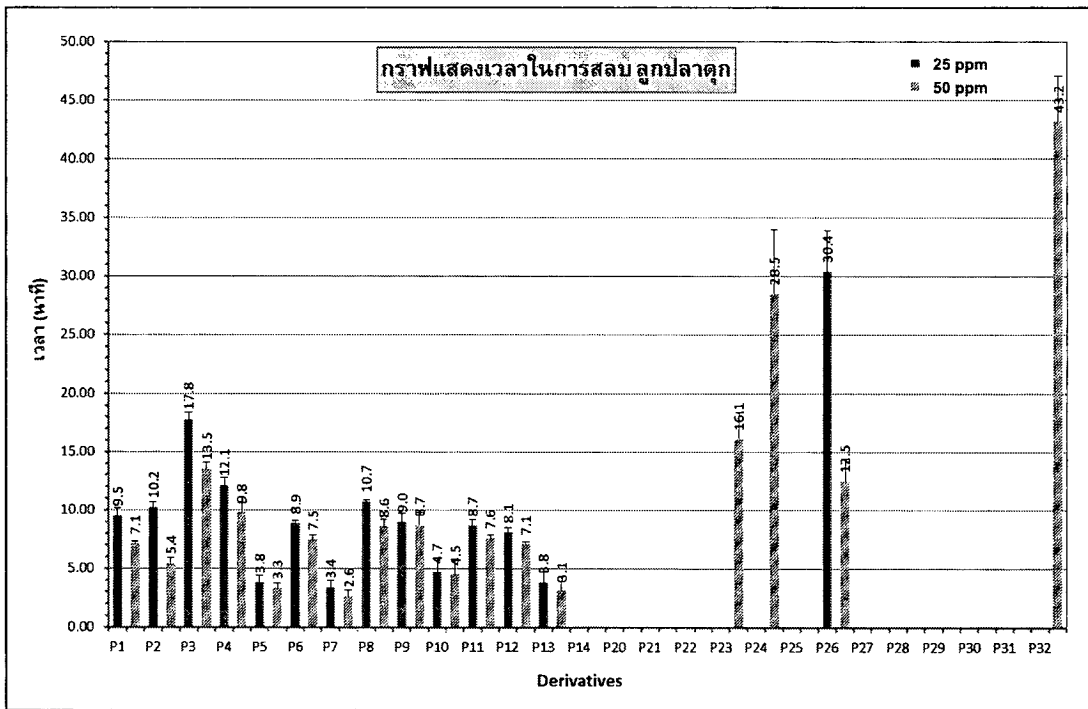
ปลาดุกที่ใช้ในการทดลองมี 2 ขนาด ได้แก่ ร้อยอ่อน (ความยาวเฉลี่ย 2.8 เซนติเมตร และน้ำหนักเฉลี่ย 4.2 กรัม) และวัยรุ่น (ความยาวเฉลี่ย 18.3 เซนติเมตร และน้ำหนักเฉลี่ย 80.5 กรัม) ก่อนการทดลองจะพักไว้ภายในโรงเพาะเลี้ยงสัตว์น้ำ ภาควิชาชีวเคมีศาสตร์ คณะวิทยาศาสตร์ มหาวิทยาลัยบูรพา มีผลลัพธ์เพื่อลดแสงประมาณ 60% ให้ออกซิเจนที่ 6.5 ppm อุณหภูมิน้ำ 27-29 °C pH 7.8-8.2 และด้วยอาหาร 24 ชั่วโมงก่อนการทดลอง

ในการทดลองทั้งหมดนี้ จะใช้ความเข้มข้นของสารอนุพันธ์ที่ 25 และ 50 ppm หลังจากทดสอบปฏิเสชความเข้มข้นทั้งสองความเข้มข้นของสารอนุพันธ์บีกอุช ที่เตรียมได้ทั้งสิ้น 25 ชนิด (P2-13 และ P20-P32) และชุดควบคุม P14 (control) ที่ไม่มีสารอนุพันธ์ของบีกอุช เปรียบเทียบกับบีกอุช (P1) พบว่า การออกฤทธิ์ต่อปลาดุกวัยอ่อนและปลาดุกวัยรุ่นมีลักษณะใกล้เคียงกันโดยสามารถพิจารณาได้จากการลอก การที่น้ำลอก และอัตราการลดตายที่มีลักษณะเหมือนกัน โดยสารอนุพันธ์ที่ให้ประสิทธิภาพดีในการลอกปลาทั้ง 2 กลุ่ม คือ P5 P7 P10 และ P13 โดยพิจารณาจากระยะเวลาที่สั้นที่สุดที่สามารถทำให้ปลาลอกได้ เมื่อเทียบกับบีกอุช (P1) (กราฟ 3.1a-b)

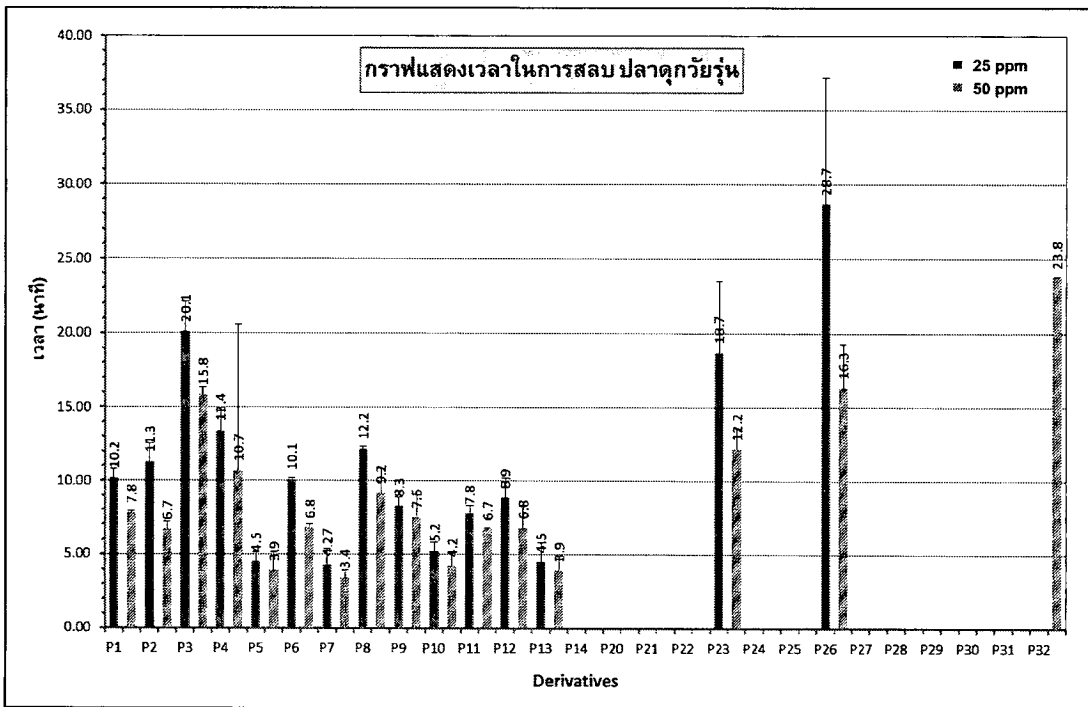


เมื่อพิจารณาจากโครงสร้างแล้ว จะเห็นว่าอนุพันธ์ที่ออกฤทธิ์ได้ ส่วนใหญ่เป็นอนุพันธ์ที่ทำการดัดแปลงมุ่งเพิ่มรัศมีไฮดรอกซี (-OH) ของบีกอุชให้เป็นหมู่แอลกิลชนิดต่างๆ (methyl ถึง heptyl) P5-P13 ซึ่งจะให้ฤทธิ์ในการลอกเทียบเท่าหรือต่ำกว่าบีกอุช โดยอนุพันธ์ที่ให้ฤทธิ์การลอกที่ดี จะมีโครงสร้างที่มีความยาวของสายโซ่carbon ประมาณ 1-4 อะตอม (methyl ใน P5, propyl ใน P7, sec-butyl ใน P10 และ butyl ใน P13) ยกเว้น ethyl ที่จะให้ผลลัพธ์ที่ต่ำกว่าบีกอุช เช่น pentyl hexyl และ heptyl คือออกฤทธิ์ไม่ต่างจากบีกอุชมากนัก

เมื่อพิจารณาความสัมพันธ์ระหว่างความยาวของสายcarbon ที่มีไฮดรอกซีและเวลาในการลอกของทั้งปลาดุกวัยอ่อนและปลาดุกวัยรุ่น แสดงดังกราฟ 3.2a-b จะพบว่าอนุพันธ์ที่มีจำนวนcarbon 1 (C1) 3 (C3 และ C4B) และ 4 (C4) อะตอม จะให้ฤทธิ์การลอกที่ดี แสดงให้เห็นว่าการเพิ่มหมู่แอลกิลที่มีความยาวและขนาดที่เหมาะสม โดยมียาวเกินไป หรือสั้นเกินไปที่ทำแห่งของไฮดรอกซี จะเพิ่มประสิทธิภาพในการลอกปลาดุกทั้งป้าดุกวัยอ่อนและปลาดุกวัยรุ่นได้

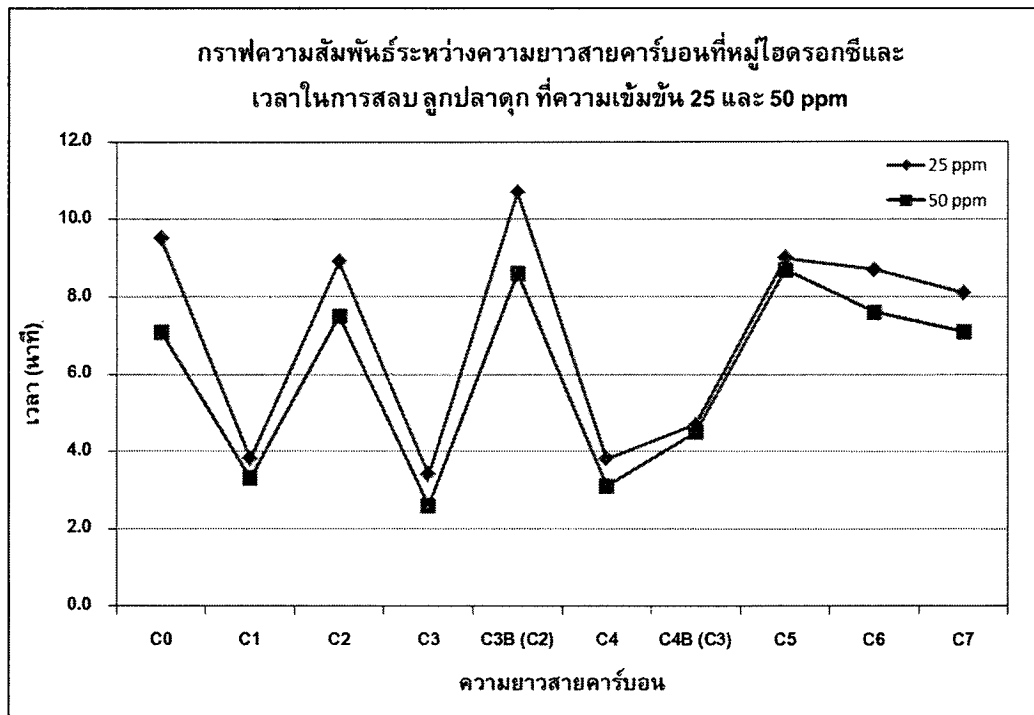


a)

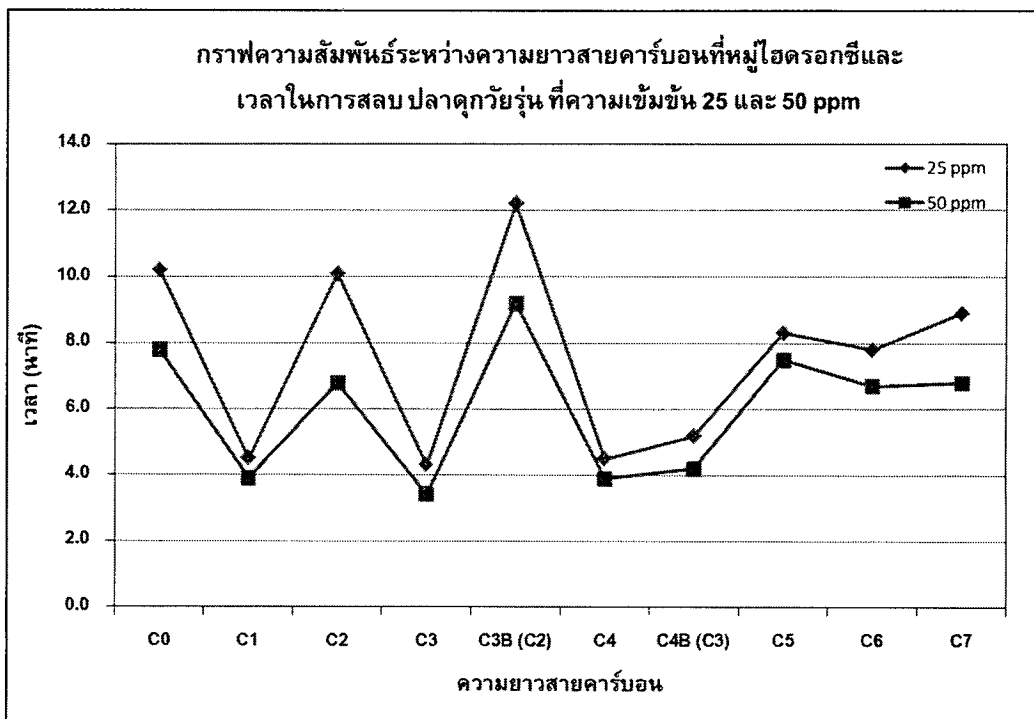


b)

กราฟ 3.1 เวลาที่ใช้ในการสลบปลากดลูกผสม a) วัยอ่อน b) วัยรุ่น ด้วยอนุพันธ์ P1-P14, P20-P32 ที่ความเข้มข้น 25 และ 50 ppm



a)



b)

กราฟ 3.2 ความสัมพันธ์ระหว่างความยาวยาสายคาร์บอนกับเวลาในการลบปลาติก ผล a) วัยอ่อน b) วัยรุ่น ด้วยอนุพันธ์ P1 (C0) P5 (C1) P6 (C2) P7 (C3) P8 (C3B) P13 (C4) P10 (C4B) P9 (C5) P11 (C6) P12 (C7) ที่ความเข้มข้น 25 และ 50 ppm

โดยในกลุ่มปลาดุกวัยอ่อนและปลาดุกวัยรุ่น สารอนุพันธ์ที่ออกฤทธิ์ตีที่สุด คือ P7 เมื่อเทียบกับยูจีนอล (P1) กล่าวคือ ที่ความเข้มข้น 25 และ 50 ppm จะสามารถ slab ได้ภายในเวลา 3.4 และ 2.6 นาที สำหรับปลาดุกวัย อ่อนและ 4.3 และ 3.4 นาที สำหรับปลาดุกวัยรุ่น ซึ่งออกฤทธิ์เร็วกว่ายูจีนอลทั้ง 2 กรณี (9.5 และ 7.1 นาที และ 10.2 และ 7.8 นาที ตามลำดับ) ระยะเวลาฟื้นฟาน 36.7 และ 43.5 นาที สำหรับลูกปลานุก และ 30.6 และ 40.5 นาที สำหรับปลาดุกวัยรุ่น ซึ่งช้ากว่ายูจีนอลทั้ง 2 กรณี (14.5 และ 16.7 นาที และ 10.3 และ 12.4 นาที ตามลำดับ) และ อัตราการรอดตายอยู่ที่ 100% เมื่อเทียบกับยูจีนอลที่มีอัตราการรอดตายอยู่ที่ 86% และ 75% และ 81% และ 70% ตามลำดับ โดยสารที่มีฤทธิ์ใกล้เคียงกัน คือ P5 P10 และ P13 คือ มีระยะเวลาที่ใช้ในการ slab ที่ช้ากว่า และมี ระยะเวลาในการฟื้นฟับเร็วกว่า และอัตราการรอดตายสูง มากกว่า 80% ซึ่งทั้งสามอนุพันธ์ก็ให้ผลที่ดีกว่ายูจีนอล และสามารถสรุปได้ว่าอนุพันธ์ P7 นั้นออกฤทธิ์ได้ตีที่สุดแสดงดังตาราง 3.20

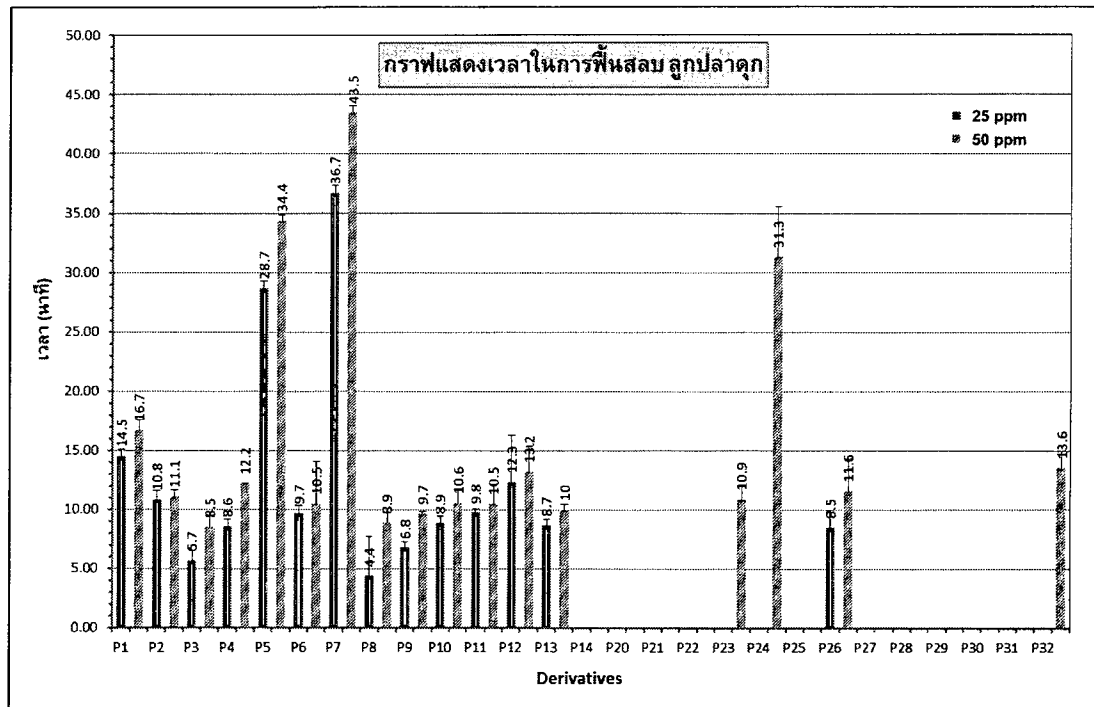
สำหรับการทดลองการฟื้นฟับ จะให้ผลสอดคล้องกับผลการ slab คือ อนุพันธ์ที่มีระยะเวลาในการออกฤทธิ์สั้น จะใช้ระยะเวลาในการฟื้นฟับนาน ดังจะเห็นได้จากกราฟที่ 3.3a-b อนุพันธ์ P5 และ P7 ซึ่งใช้เวลาในการ slab ได้รวดเร็ว จะใช้เวลาในการฟื้นฟับค่อนข้างนาน ประมาณ 30-40 นาที กล่าวคือสารอนุพันธ์ยังออกฤทธิ์ได้ดี แม้ จะมีการเคลื่อนย้ายปลาจากอ่าง slab มากยังคงพักฟื้นแล้วก็ตาม ซึ่งในขณะที่อนุพันธ์ชนิดอื่นๆ จะใช้เวลาในการฟื้นฟับได้เร็วกว่า โดยจะใช้ระยะเวลาในการฟื้นฟับประมาณ 5-15 นาที

เมื่อพิจารณาผลการทดลองทั้งหมด จะพบว่าอนุพันธ์ที่มีศักยภาพที่ดีที่จะใช้ในการ slab ปลาดุก คือ อนุพันธ์ P5 และ P7 เนื่องจากสามารถ slab ปลาดุกได้รวดเร็วกว่ายูจีนอล ถึงแม้ว่าจะใช้ระยะเวลาในการฟื้นฟับค่อนข้างนาน แต่ถ้าพิจารณาในทางปฏิบัติ การฟื้นฟับที่ช้าจะทำให้มีระยะเวลาในการเคลื่อนย้ายหรือทำกิจกรรมอื่นๆ ได้มากกว่า และนอกจากนี้ อนุพันธ์ P5 และ P7 ยังมีอัตราการรอดที่สูงกว่า P10 P13 และยูจีนอลอีกด้วย

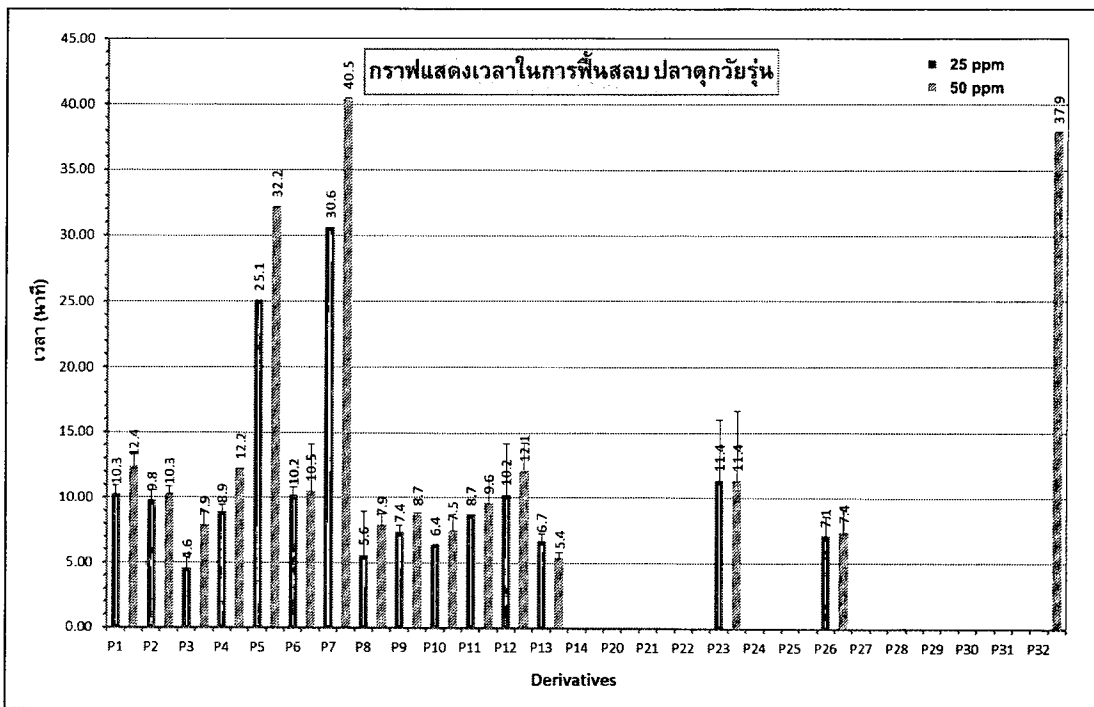
ตาราง 3.20 สารอนุพันธ์ที่มีประสิทธิภาพในการสลบปลัดอกลูกผสม ระยะวัยอ่อนและวัยรุ่น ที่ความเข้มข้น 25 และ 50 ppm

อนุพันธ์	โครงสร้าง	conc	เวลาในการสลบ (นาที)		เวลาในการฟื้นสลบ (นาที)		อัตราการรอดตาย (%)	
			ลูก	วัยรุ่น	ลูก	วัยรุ่น	ลูก	วัยรุ่น
P1 (Eugenol)		25	9.5±0.7	10.2±0.6	14.5±0.6	10.3±0.6	86±4	81±4
		50	7.1±0.2	7.8±0.1	16.7±0.9	12.4±0.9	75±7	70±7
P5		25	3.8±0.6	4.5±0.6	28.7±0.6	25.1±0.0	100±2	100±2
		50	3.3±0.4	3.9±1.2	34.4±0.4	32.2±0.0	94±3	100±3
P7		25	3.4±0.6	4.3±1.1	36.7±0.6	30.6±0.0	100±2	100±2
		50	2.6±0.5	3.4±0.5	43.5±0.6	40.5±0.0	100±2	100±2
P10		25	4.7±1.2	6.2±0.6	8.9±0.6	6.4±0.0	100±1	100±1
		50	4.5±1.3	4.2±0.9	10.6±1.2	7.5±1.2	86±2	90±2
P13		25	4.8±0.9	4.5±1.3	8.7±0.6	6.7±0.6	92±5	92±5
		50	3.1±0.8	3.9±0.8	10.0±0.5	5.4±0.5	94±5	88±5
P14 (Placebo)		25	NA	NA	NA	NA	100±0	100±0
		50	NA	NA	NA	NA	100±0	100±0

*NA = No Anesthetic (ไม่แสดงฤทธิ์ในการสลบ)

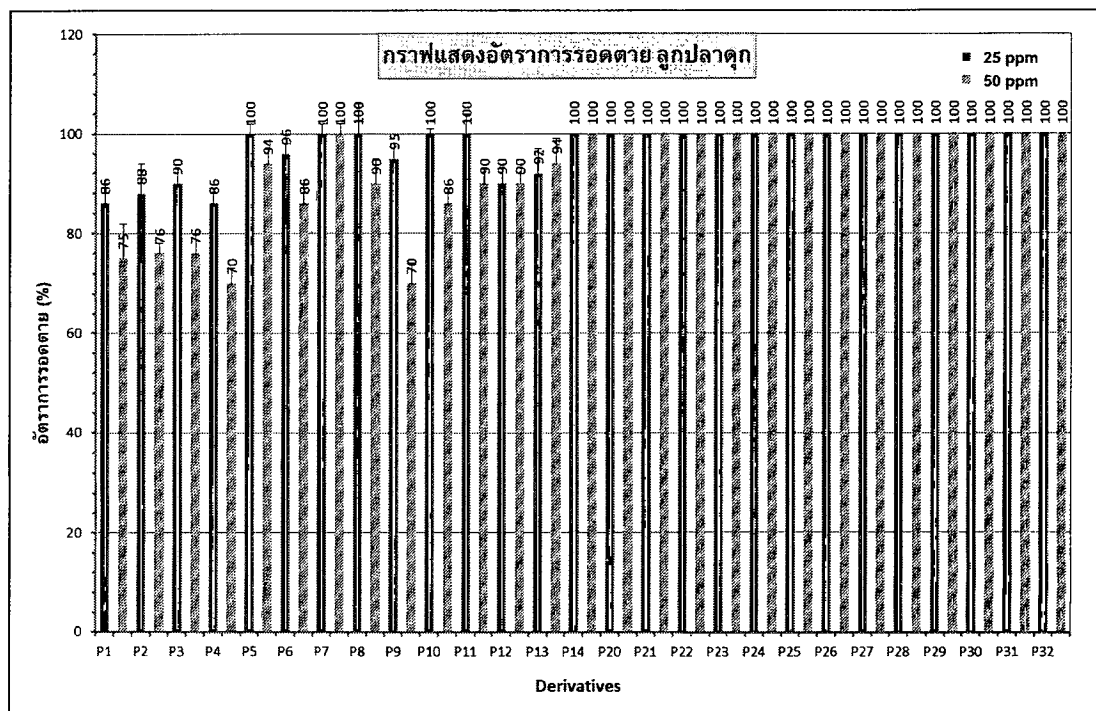


a)

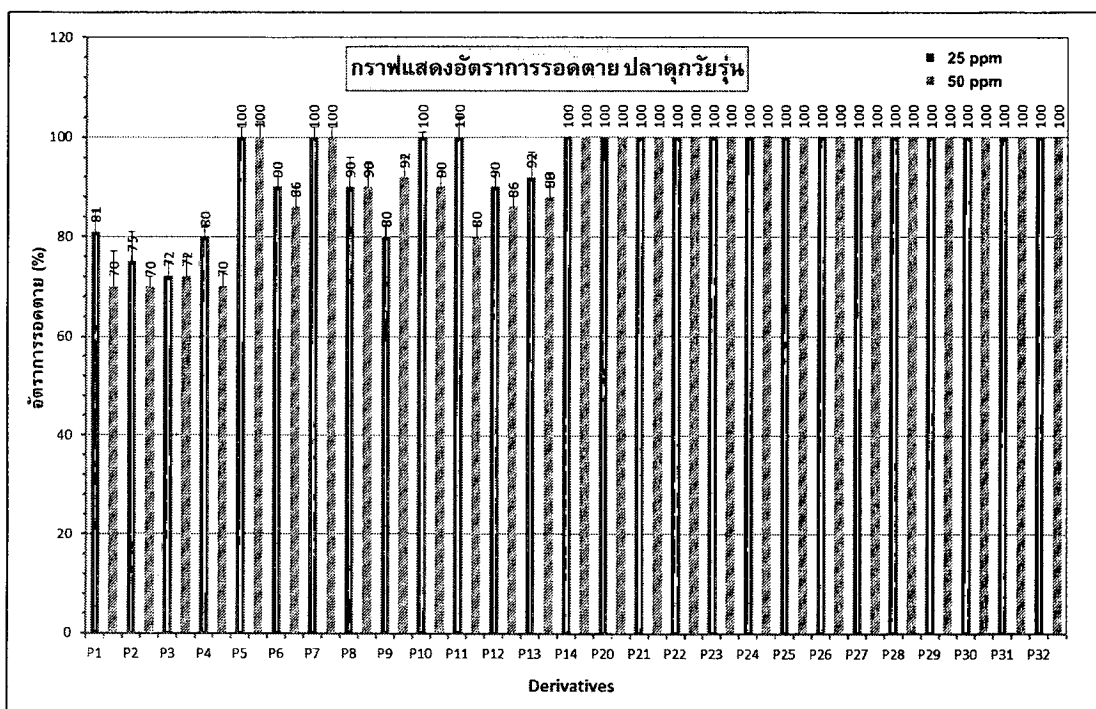


b)

กราฟ 3.3 ระยะเวลาที่ใช้ในการพื้นของปลาสติก 2) วัยรุ่น b) วัยอ่อน ด้วยอนุพันธ์ P1-P14, P20-P32 ที่ความเข้มข้น 25 และ 50 ppm



a)



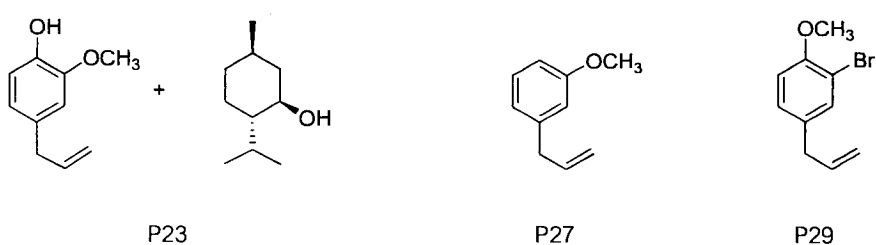
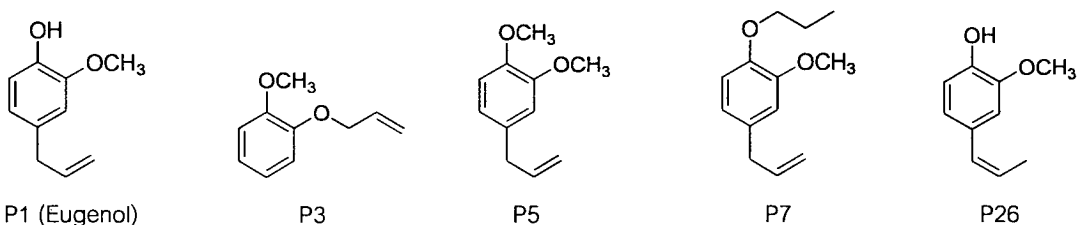
b)

กราฟ 3.4 อัตราการรอดตายของปลาสติก 25 และ 50 ppm
a) วัยอ่อน b) วัยรุ่น เมื่อทำการลบตัวอนุพันธ์ P1-P14, P20-P32 ที่ความเข้มข้น 25 และ 50 ppm

3.3.2 ผลการทดสอบฤทธิ์การสลบในปลากระเพงขาว

ปลากระเพงขาวที่ใช้ในการทดลองมี 2 ขนาด ได้แก่ ปลากระเพงขาววัยอ่อน (ความยาวเฉลี่ย 1.1 เซนติเมตร) ปลากระเพงขาววัยรุ่น (ความยาวเฉลี่ย 9.7 เซนติเมตร และน้ำหนักเฉลี่ย 15.3 กรัม) ก่อนการทดลองจะพักไว้ภายในโรงเพาะเลี้ยงสัดวันน้ำ ภาควิชาชีวาริชศาสตร์ คณะวิทยาศาสตร์ มหาวิทยาลัยบูรพา มีแสลงปิดบ่อเพื่อลดแสงประมาณ 60% ให้ออกซิเจนที่ 6.5 ppm อุณหภูมิน้ำ 27-29 °C pH 7.8-8.2 และด้วยอาหาร 24 ชั่วโมงก่อนการทดลอง

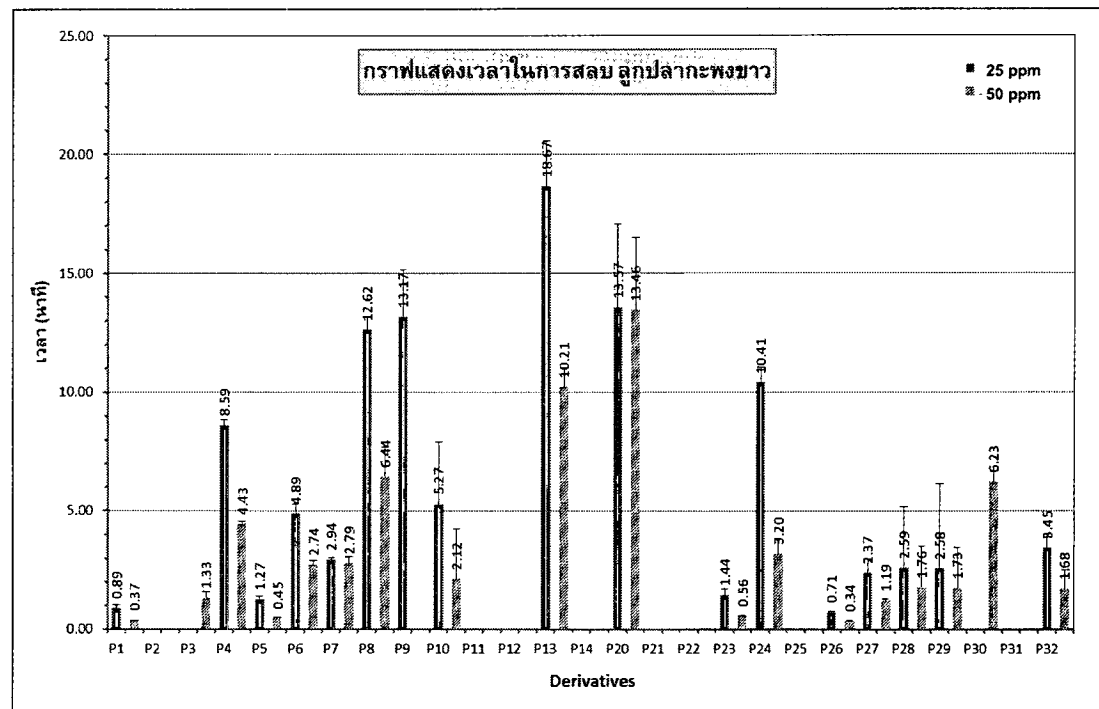
ในการทดลองทั้งหมดนี้ จะใช้ความเข้มข้นของสารอนุพันธ์ที่ 25 และ 50 ppm หลังจากทดสอบใช้ความเข้มข้นทั้งสองความเข้มข้นของสารอนุพันธ์ยูจีนอลที่เตรียมได้ทั้งสิ้น 25 ชนิด (P2-13 และ P20-P32) และชุดควบคุม P14 (control) ที่ไม่มีสารอนุพันธ์ของยูจีนอล เปรียบเทียบกับยูจีนอล (P1) พบว่า การออกฤทธิ์ต่อสูญปลากะเพงและปลากระเพงขาววัยรุ่นมีผลแตกต่างกันเล็กน้อย โดยสามารถพิจารณาได้จากการฟาร์มาซอล์ฟเป็นหลัก (กราฟ 3.5a-b) โดยสารอนุพันธ์ที่ให้ประสิทธิภาพดีในการสลบปลาทั้ง 2 กลุ่ม คือ อนุพันธ์ที่สามารถสลบปลากระเพงขาววัยอ่อน และปลากระเพงขาววัยรุ่น ได้ภายในเวลา 5 นาที ได้แก่ P3 P4 P5 P6 P7 P8 P23 P24 P26 P27 P28 P29 และ P32 รวม 13 ชนิด โดยพิจารณาจากระยะเวลาที่สั้นที่สุด เมื่อเทียบกับยูจีนอล (P1) ดังแสดงในตาราง 3.21 ซึ่งเป็นการเปรียบเทียบอนุพันธ์ที่มีศักยภาพในการสลบปลากระเพงขาววัยอ่อน และปลากระเพงขาววัยรุ่น โดยอนุพันธ์ P4 P6 P8 P24 จะออกฤทธิ์ได้เร็วในปลากระเพงขาววัยรุ่น ส่วน P28 และ P32 จะออกฤทธิ์ได้เร็วในปลากระเพงขาววัยอ่อน ดังนั้นเมื่อพิจารณาโดยรวมแล้วพบว่าอนุพันธ์ที่มีศักยภาพในการสลบปลากระเพงขาววัยอ่อน และปลากระเพงขาววัยรุ่น ได้แก่ P3 P5 P7 P23 P26 P27 และ P29 รวม 7 ชนิด



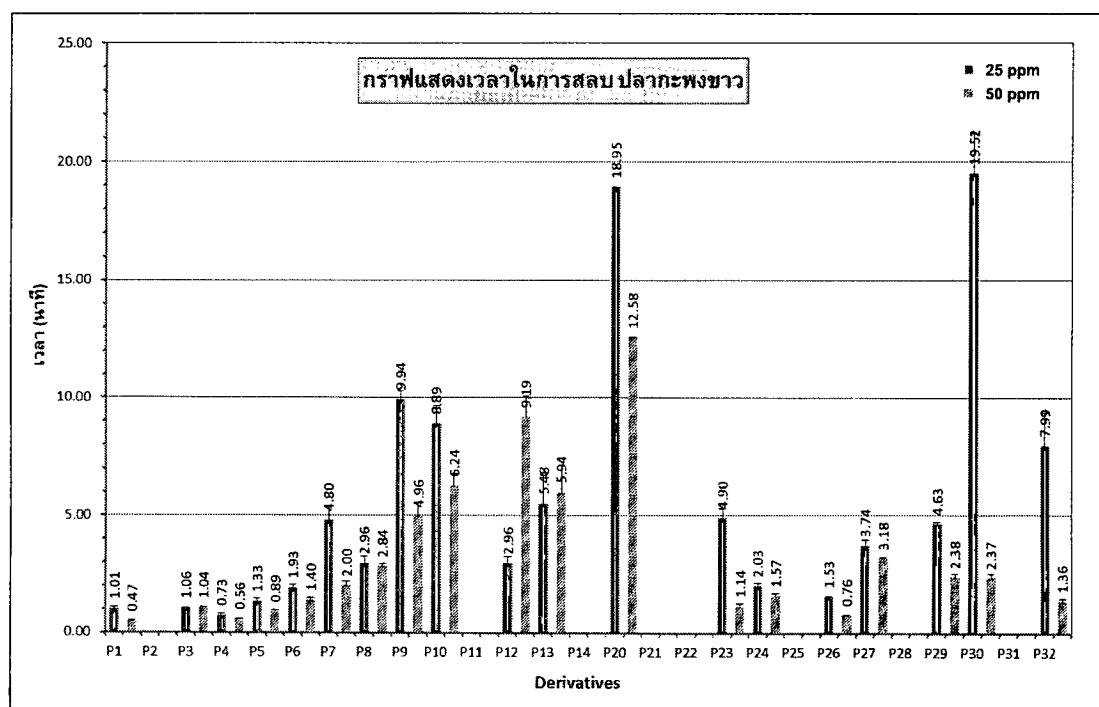
เมื่อพิจารณาจากโครงสร้างแล้ว จะเห็นว่าอนุพันธ์ที่สามารถออกฤทธิ์การสลบปลาในกลุ่มปลากระเพงขาว ได้นั้นจะโครงสร้างที่หลากหลาย แต่เป็นที่น่าสังเกตว่าอนุพันธ์ส่วนใหญ่จะเป็นอนุพันธ์ที่มีส่วนของออกซิลิลอยู่ภายในโมเลกุล ในขณะที่หมู่ไฮดรอกซีและหมู่เมทอกซีนั้น จะต้องมีขนาดที่เหมาะสม (เช่นเดียวกับกรณีของปลาดุก)

ตาราง 3.21 สารอนุพันธ์ที่มีประสิทธิภาพในการลบปلاحะพงขาววัยอ่อนและปلاحะพงขาววัยรุ่น ที่ความเข้มข้น 25 และ 50 ppm

อนุพันธ์ (ความเข้มข้น/ppm)		เวลาที่ใช้ในการลบ (นาที)	
		ลูกปลากระพงขาว	ปลากระพงขาววัยรุ่น
P1 Eugenol	25	0.89±0.12	1.01±0.09
	50	0.37±0.01	0.47±0.05
P3	25	NA	1.06±0.01
	50	1.33±0.26	1.04±0.04
P4	25	8.59±0.22	0.73±0.09
	50	4.43±0.11	0.56±0.01
P5	25	1.27±0.14	1.33±0.13
	50	0.45±0.04	0.89±0.07
P6	25	4.89±0.37	1.93±0.12
	50	2.74±0.15	1.40±0.11
P7	25	2.94±0.08	4.80±0.54
	50	2.79±0.26	2.00±0.19
P8	25	11.62±0.55	2.96±0.28
	50	6.44±1.25	2.84±0.11
P23	25	1.44±0.27	4.90±0.39
	50	0.56±0.03	1.14±0.09
P24	25	10.41±0.63	2.03±0.10
	50	3.20±0.65	1.57±0.12
P26	25	0.71±0.06	1.53±0.04
	50	0.34±0.03	0.76±0.02
P27	25	2.37±0.58	3.74±0.22
	50	1.19±0.06	3.18±0.04
P28	25	2.59±2.59	NA
	50	1.76±1.76	NA
P29	25	2.58±3.58	4.63±0.08
	50	1.73±1.73	2.38±0.16
P32	25	3.45±0.44	7.99±1.39
	50	1.68±0.85	1.36±0.13



a)



b)

กราฟ 3.5 เวลาที่ใช้ในการสลบสูญเสียพลาสติกพงขาว a) วัยอ่อน b) วัยรุ่น เมื่อทำการสลบด้วยอนุพันธ์ P1-P14, P20-P32 ที่ความเข้มข้น 25 และ 50 ppm

อย่างไรก็ตาม เมื่อเปรียบเทียบกับยูจีนอลแล้วจะพบว่า สารอังอิจyuจีนอลยังคงให้ผลการสลบที่ดีที่สุด โดยอนุพันธ์ที่ออกฤทธิ์ได้อย่างมีประสิทธิภาพใกล้เคียงที่สุด คือ อนุพันธ์ P26 (Isoeugenol)

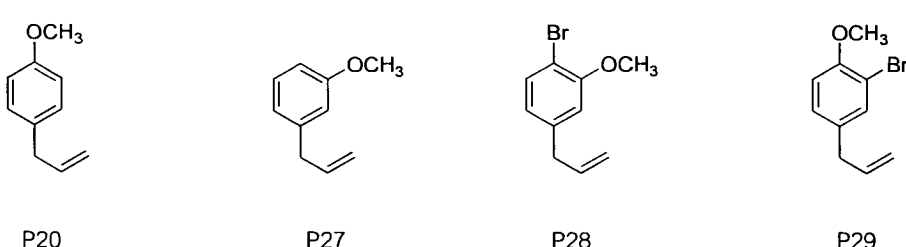
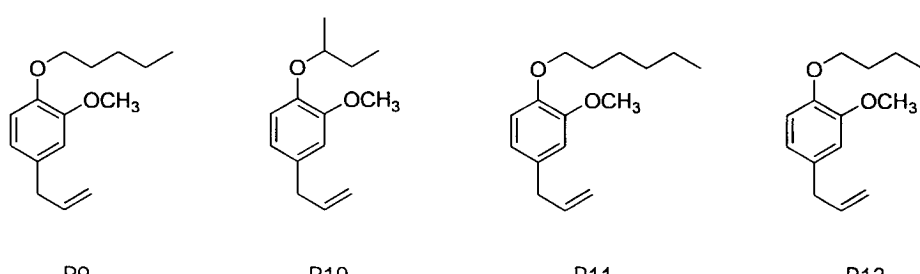
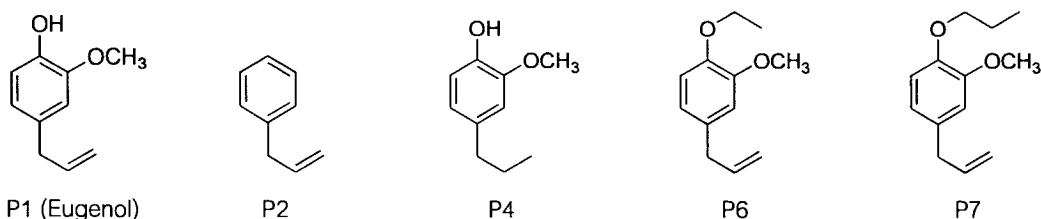
สำหรับการทดลองการฟื้นการสลบ จะพบว่าในกรณีของปลากระเพงนั้น จะมีอัตราในการฟื้นสลบได้ค่อนข้างเร็วเมื่อเทียบกับปลากดุก โดยปลากระเพงทั้งปลากระเพงขาววัยอ่อนและวัยรุ่น จะสามารถฟื้นสลบได้ภายในระยะเวลา 5 นาที ดังจะเห็นได้จากกราฟที่ 3.6a-b อนุพันธ์ที่ทำให้ฟื้นสลบช้าที่สุด คือ อนุพันธ์ P29 ที่จะใช้เวลาในช่วง 30-50 นาที ในปลากระเพงขาววัยอ่อน และ 5-6 นาที ในปลากระเพงขาววัยรุ่น แต่มีพิจารณาไว้ว่าเมื่อกับอัตราการรอดตาย พบร่วมกับปลากระเพงขาววัยอ่อน อนุพันธ์ที่มีศักยภาพ จะมีอัตราการรอดตายอยู่ในเกณฑ์ดี ยกเว้น P7 และ P29 ที่มีอัตราการรอดตายที่ค่อนข้างต่ำ (ร้อยละ 50-97 สำหรับ P7 และร้อยละ 60-80 สำหรับ P29) ทั้งนี้อาจจะเนื่องมาจากปลากระเพงขาววัยอ่อนนั้นจะมีความทนทานที่ต่ำ และตอบสนองต่อปัจจัยแวดล้อมภายนอกได้ง่ายกว่า ส่วนในปลากระเพงวัยรุ่นนั้น อนุพันธ์ที่มีศักยภาพทั้งหมดจะมีอัตราการรอดตายที่ร้อยละ 100

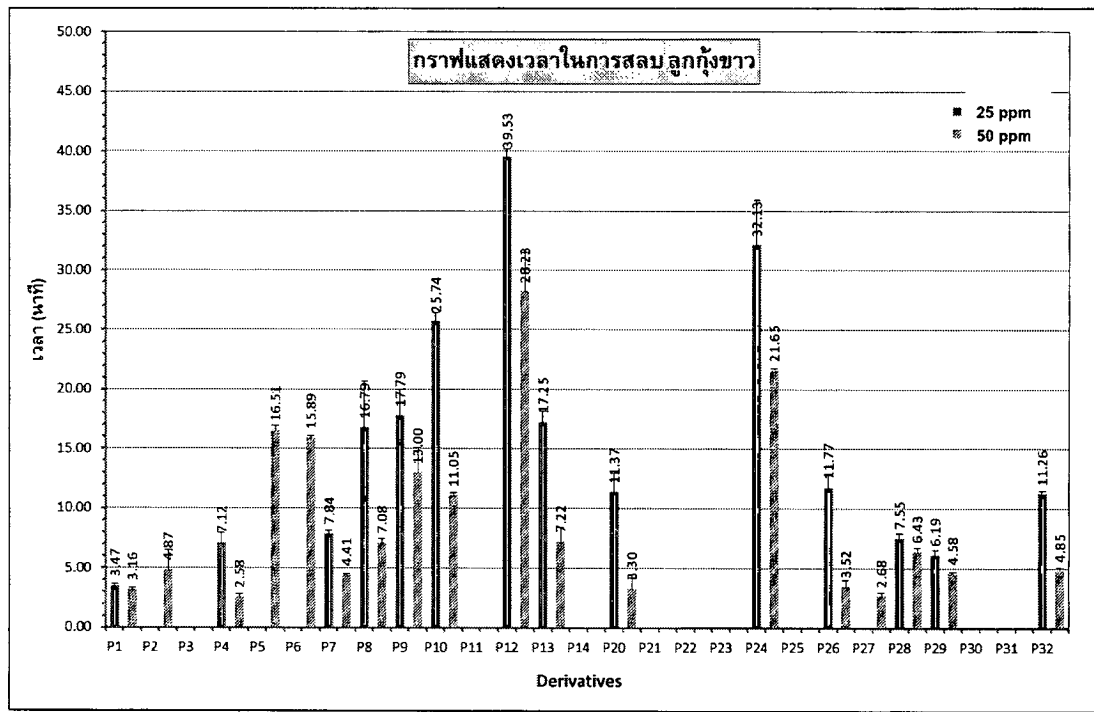
เมื่อพิจารณาจากผลการทดลองโดยรวมทั้งหมด ทั้งเวลาที่ใช้ในการสลบ ฟื้นสลบ และอัตราการรอดตาย ความสะดวกในการเตรียมและการสังเคราะห์ จะพบว่าอนุพันธ์ที่มีศักยภาพที่ดีที่จะใช้ในการสลบปลาในกลุ่มปลากระเพงขาว ทั้งปลากระเพงขาววัยอ่อนและปลาวัยรุ่น คือ อนุพันธ์ P5 และ P26 เนื่องจากสามารถสลบและฟื้นสลบได้มีประสิทธิภาพใกล้เคียงกับยูจีนอล และมีอัตราการรอดตายที่สูงมากกว่าร้อยละ 97

3.3.3 ผลการทดสอบฤทธิ์การสร้างในกุ้งขาว

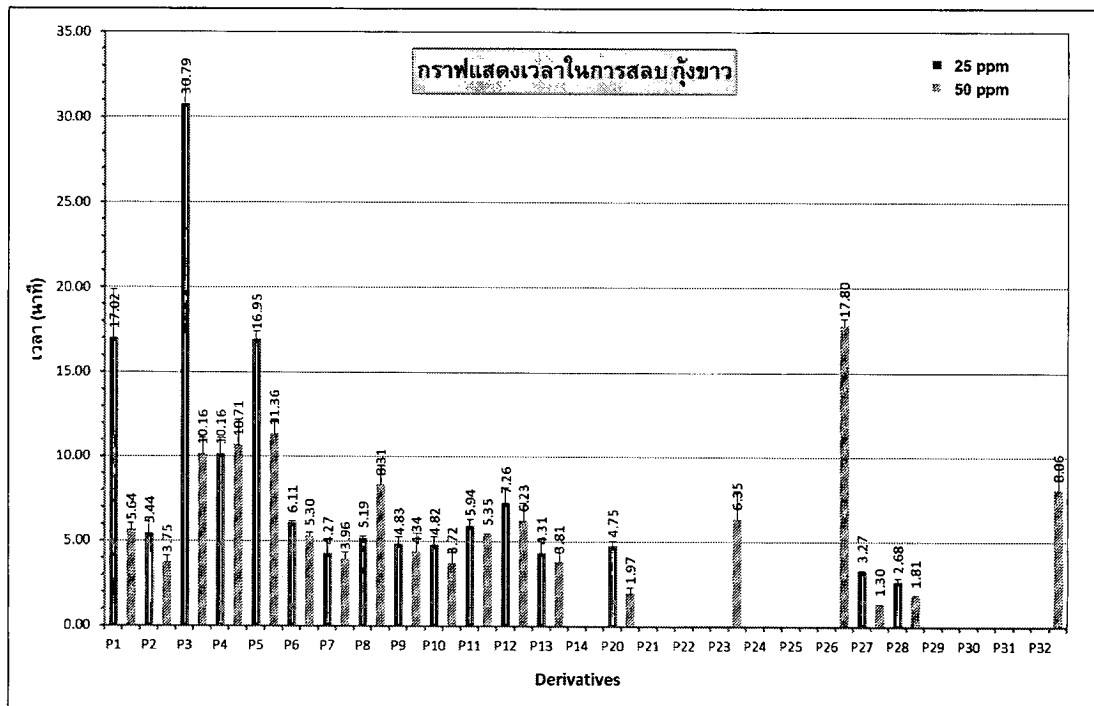
กุ้งขาวที่ใช้ในการทดลองมี 2 ขนาด ได้แก่ กุ้งขาววัยอ่อน (ความยาวเฉลี่ย 1.0 เซนติเมตร) และกุ้งขาววัยรุ่น (ความยาวเฉลี่ย 11.13 เซนติเมตร และน้ำหนักเฉลี่ย 10.64 กรัม) ก่อนการทดลองจะพักไว้ภายในโรงเพาะเลี้ยงสัตว์น้ำ ภาควิชาชีวารัฐศาสตร์ คณะวิทยาศาสตร์ มหาวิทยาลัยบูรพา มีแสดงปีก่อนเพื่อลดแสงประมาณ 60% ให้ออกซิเจนที่ 6.5 ppm อุณหภูมิน้ำ 27-29 °C pH 7.8-8.2 และด้วยอาหาร 24 ชั่วโมงก่อนการทดลอง

ในการทดลองนี้ จะใช้ความเข้มข้นของสารอนุพันธ์ที่ 25 และ 50 ppm หลังจากทดสอบให้ความเข้มข้นทั้งสองความเข้มข้นของสารอนุพันธ์ยี่จีนอลที่เตรียมได้ทั้งสิ้น 25 ชนิด (P2-13 และ P20-P32) และชุดควบคุม P14 (control) ที่ไม่มีสารอนุพันธ์ของยี่จีนอล เปรียบเทียบกับยี่จีนอล (P1) พบว่า ในกรณีกุ้งขาววัยอ่อน อนุพันธ์ของยี่จีนอลที่ทำการสังเคราะห์ในงานวิจัยยังให้ผลการสร้างไม่ดีนักเมื่อเทียบกับสารอ้างอิงยี่จีนอล โดยอนุพันธ์ที่ให้ประสิทธิภาพพอประมาณในการลดกุ้งขาววัยอ่อน ได้แก่ P4 P7 P28 และ P29 โดยสามารถลดได้ภายในระยะเวลาไม่เกิน 10 นาที เมื่อเทียบกับยี่จีนอลที่ใช้เวลา 3-4 นาที (กราฟ 3.1a-b) ในทางตรงกันข้าม อนุพันธ์ที่ให้ประสิทธิภาพดีในการลดกุ้งขาววัยรุ่น โดยออกฤทธิ์ตีกิ่ว>yี่จีนอล มีทั้งหมด 10 ชนิด ได้แก่ P2 P6 P7 P9 P10 P11 P13 P20 P27 และ P28





a)



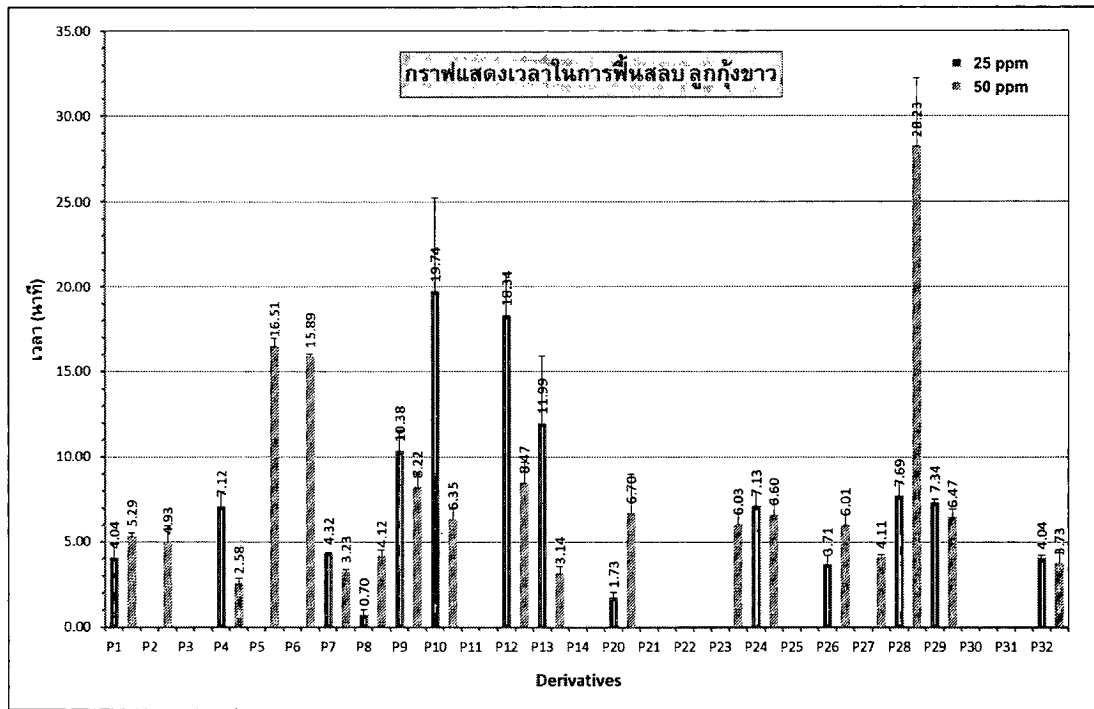
b)

กราฟ 3.8 เวลาที่ใช้ในการสลบกุ้งขาว a) วัยอ่อน b) วัยรุ่น เมื่อทำการสลบด้วยอนุพันธ์ P1-P14, P20-P32 ที่ความเข้มข้น 25 และ 50 ppm

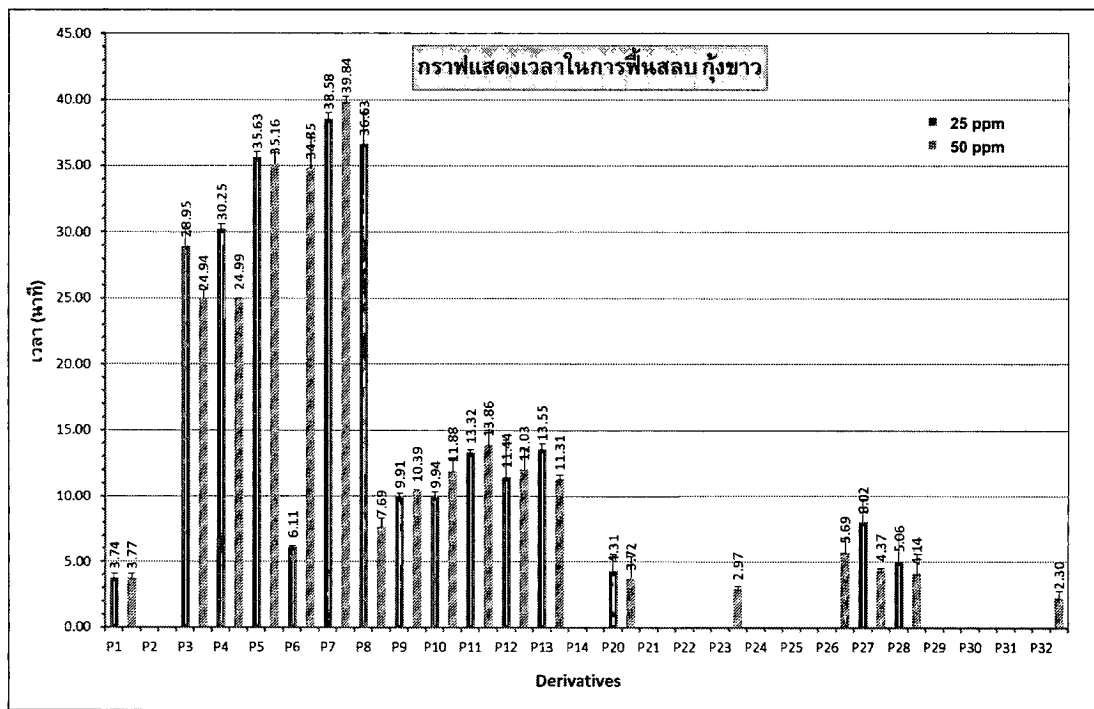
เมื่อพิจารณาจากโครงสร้างของอนุพันธ์ที่ออกฤทธิ์ได้ในกุ้งขาวแล้ว จะเห็นว่าสามารถแบ่งออกได้เป็นสองกลุ่ม คือ กลุ่มที่มีการตัดแปรโครงสร้างบริเวณหมู่ไฮดรอกซี ได้แก่ อนุพันธ์ P6 P7 P9 P10 P11 และ P13 ซึ่งจะออกฤทธิ์ได้ด้วยเฉพาะในกุ้งขาววัยรุ่น และมีประสิทธิภาพใกล้เคียงกัน โดยจะมีความยาวของสายโซ่อั้งแต่ 2 อะตอมจนถึง 6 อะตอม อย่างไรก็ตามเมื่อพิจารณาอนุพันธ์ที่มีคาร์บอน 1 อะตอม และ 7 อะตอม รวมถึงสายโซ่ที่เป็นกิ่งก้านว่าแสดงฤทธิ์การเป็นยาสลบเข่นกัน แต่ไม่ได้เทียบเท่ากับอนุพันธ์ที่กล่าวมา แสดงว่าการตัดแปรหมู่ไฮดรอกซีด้วยการแทนที่ด้วยสายโซ่ที่มีคาร์บอนด้วยความยาวที่เหมาะสม จะช่วยเพิ่มประสิทธิภาพในการออกฤทธิ์เป็นยาสลบได้ยิ่งขึ้น ส่วนอนุพันธ์อีกกลุ่มนี้เป็นกลุ่มที่มีการตัดแปรโครงสร้างบริเวณอื่นๆ ได้แก่ อนุพันธ์ P2 P4 P20 P27 P28 และ P28 เข่น P2 ที่มีการทำจุดหมู่ฟังก์ชันไฮดรอกซีและเมทอกซีออก หรือ P4 ที่เปลี่ยนมุมแอลลิลเป็นแอลกิล หรือ P20 ที่กำจัดหมู่เมทอกซีออกและตัดแปรหมู่ไฮดรอกซีเป็นเมทอกซี หรือ P27 ที่มีการทำจุดหมู่ไฮดรอกซีออก หรือ P28 ที่มีการแทนที่หมู่ไฮดรอกซีด้วยโนร์มินอะตอม หรือ P29 ที่มีการแทนที่หมู่เมทอกซีด้วยโนร์มินอะตอมและตัดแปรหมู่ไฮดรอกซีเป็นเมทอกซี โดยสามารถพิจารณาแยกเป็นสองส่วน คือ การสลบกุ้งขาววัยอ่อน และการสลบกุ้งขาววัยรุ่น ในส่วนของกุ้งขาววัยอ่อน นั้นจะเห็นได้ว่าอนุพันธ์ดังกล่าวสามารถออกฤทธิ์ในการสลบกุ้งขาววัยอ่อนได้ แต่จะให้ผลได้ไม่ดีเทียบเท่ากับสารอ้างอิงยูจีนอล โดยจะใช้ระยะเวลาในการสลบนานกว่า ส่วนในกุ้งขาววัยรุ่น อนุพันธ์ดังกล่าวจะออกฤทธิ์ได้เร็วกว่ายูจีนอลทั้งหมด ยกเว้น P4 ที่ออกฤทธิ์ได้ช้ากว่า และอนุพันธ์ P2 P9 P10 P11 P13 P28 และ P29 ที่มีอัตราการตายของสัตว์น้ำสูงจึงไม่เหมาะสมที่จะนำมาใช้ในการสลบกุ้งขาว แสดงรายละเอียดดังกราฟ 3.8a-b

เมื่อพิจารณาในส่วนของการฟื้นสลบ สารอนุพันธ์ทั้งหมด มีระยะเวลาของการฟื้นสลบในเกณฑ์ต่ำโดยจะใช้เวลาในการฟื้นสลบอยู่ในช่วงประมาณ 4-40 นาที เมื่อเทียบกับยูจีนอลที่ใช้เวลาประมาณ 3 นาที และมีอัตราการรอดตายภายหลังการทดสอบที่ดี ประมาณร้อยละ 90-100 (ยกเว้นอนุพันธ์ P2 P9 P10 P11 P13 P28 และ P29 ตามที่ได้กล่าวมาแล้ว) เมื่อเทียบกับยูจีนอลที่มีอัตราการรอดตายประมาณร้อยละ 87-100 แสดงรายละเอียดดังกราฟ 3.9a-b และกราฟ 3.10a-b

ดังนั้นสามารถสรุปได้ว่าอนุพันธ์ที่มีศักยภาพในการสลบกุ้งขาวนั้น ได้แก่ P6 P7 P20 และ P27 โดย P6 จะออกฤทธิ์ได้ดีในกุ้งขาววัยรุ่น ส่วน P20 และ P27 จะมีอัตราการฟื้นสลบค่อนข้างเร็ว โดยที่ P7 น่าจะมีศักยภาพที่สุดเนื่องจากสามารถออกฤทธิ์ได้ทั้งในกุ้งขาววัยอ่อน กุ้งขาววัยรุ่น อัตราการฟื้นสลบในช่วงประมาณ 30-40 นาที และมีอัตราการรอดตายสูง แสดงให้เห็นว่าอนุพันธ์ที่สามารถแสดงฤทธิ์การสลบกุ้งขาวได้นั้นจะมีโครงสร้างที่มีการตัดแปรหมู่ไฮดรอกซีด้วยหมู่เมทอกซี (-OCH₂CH₃) หรือ หมู่โพโรกซี (-OCH₂CH₂CH₃) หรือในโครงสร้างอาจจะไม่มีหมู่แอลลิลเป็นส่วนประกอบหลัก แสดงดังตาราง

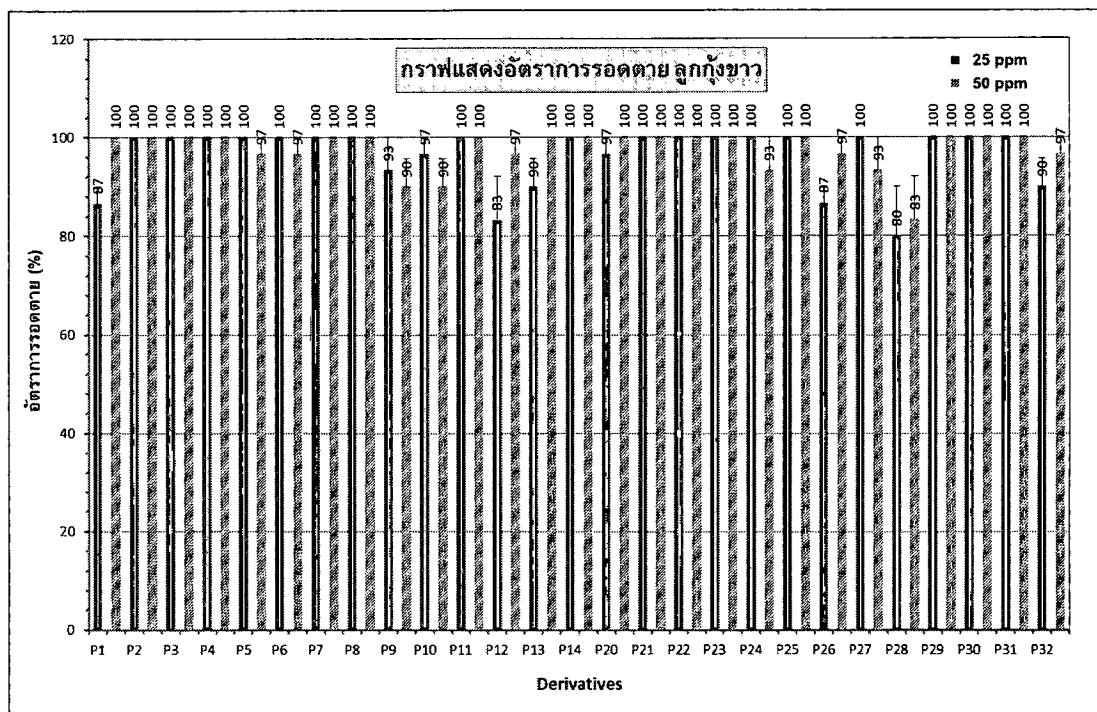


a)

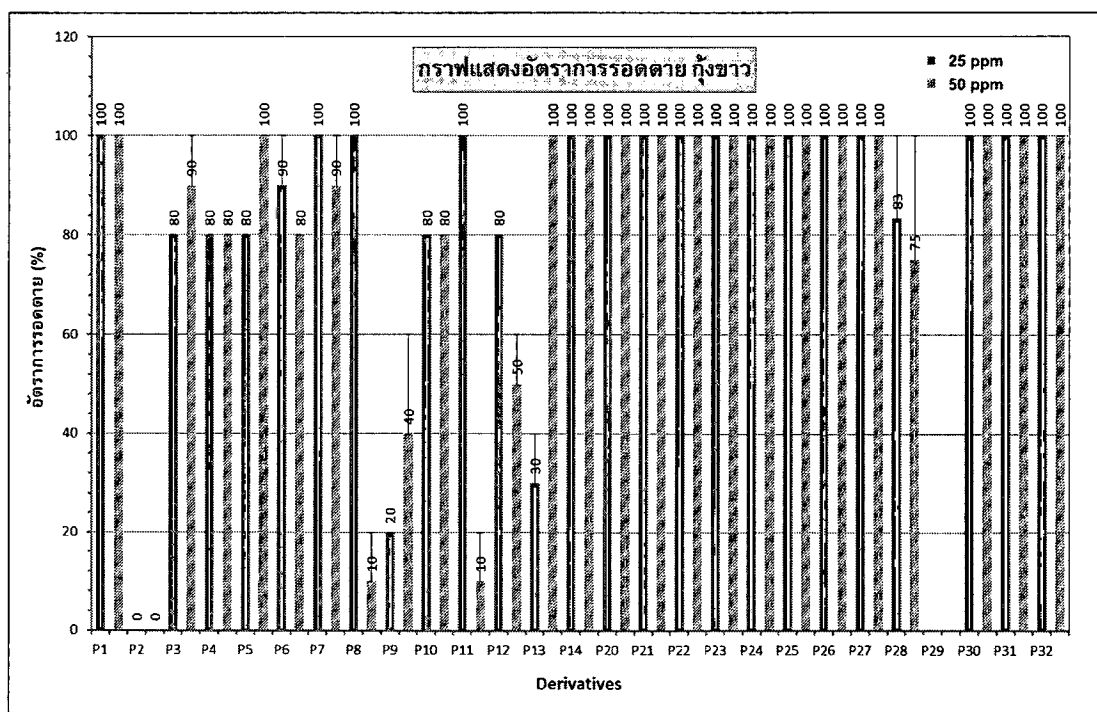


b)

กราฟ 3.9 เวลาที่ใช้ในการพ่นสลบกุ้งขาว a) วัยอ่อน b) วัยรุ่น ด้วยอนุพันธ์ P1-P14, P20-P32 ที่ความเข้มข้น 25 และ 50 ppm



a)



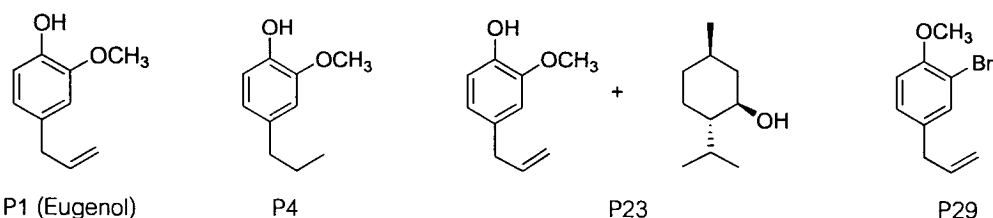
b)

กราฟ 3.10 อัตราการลดตามของกุ้งขาว a) วัยอ่อน b) วัยรุ่น เมื่อทำการสลบด้วยอนุพันธ์ P1-P14, P20-P32 ที่ความเข้มข้น 25 และ 50 ppm

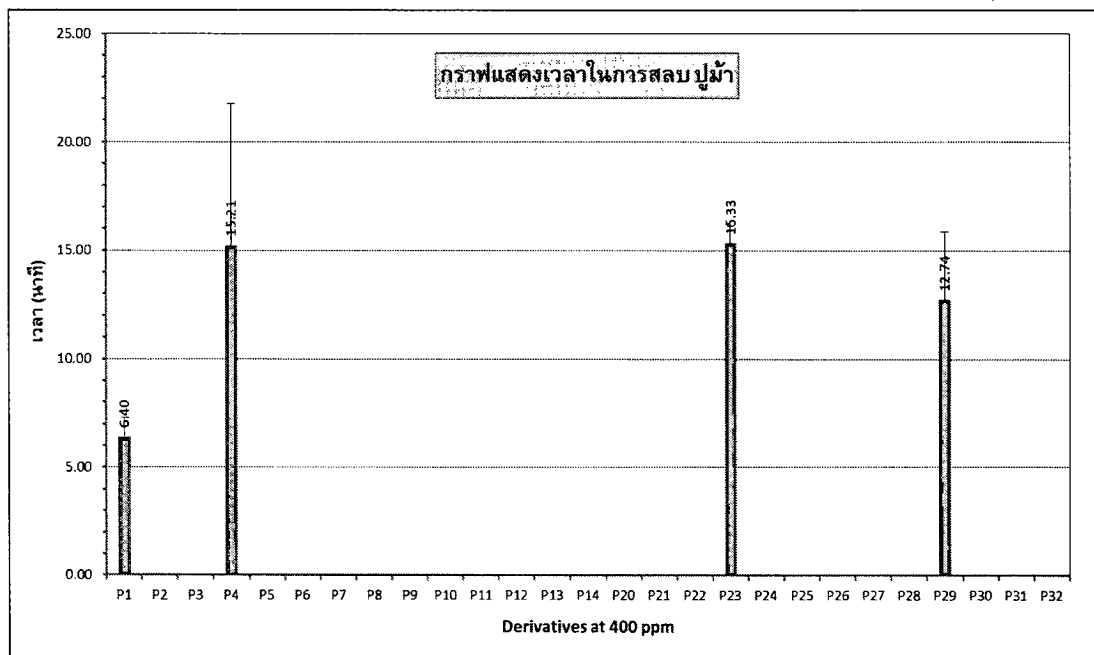
3.3.4 ผลการทดสอบฤทธิ์การสลบในปูม้า

ปูม้าที่ใช้ในการทดลองมีขนาดเดียว (ความยาวเฉลี่ย 11.0 เซนติเมตร และหนักเฉลี่ย 94.4 กรัม) ก่อนการทดลองจะพักไว้ภายในโรงเพาะเลี้ยงสัตว์น้ำ ภาควิชาชีวารីศาสตร์ คณะวิทยาศาสตร์ มหาวิทยาลัยบูรพา โดยมีแสงนีบดปอเพื่อลดแสงประมาณ 60% ให้ออกซิเจนที่ 6.5 ppm อุณหภูมน้ำ 28-29 °C pH 7.9-8.1 และด้วยอาหาร 24 ชั่วโมงก่อนการทดลอง

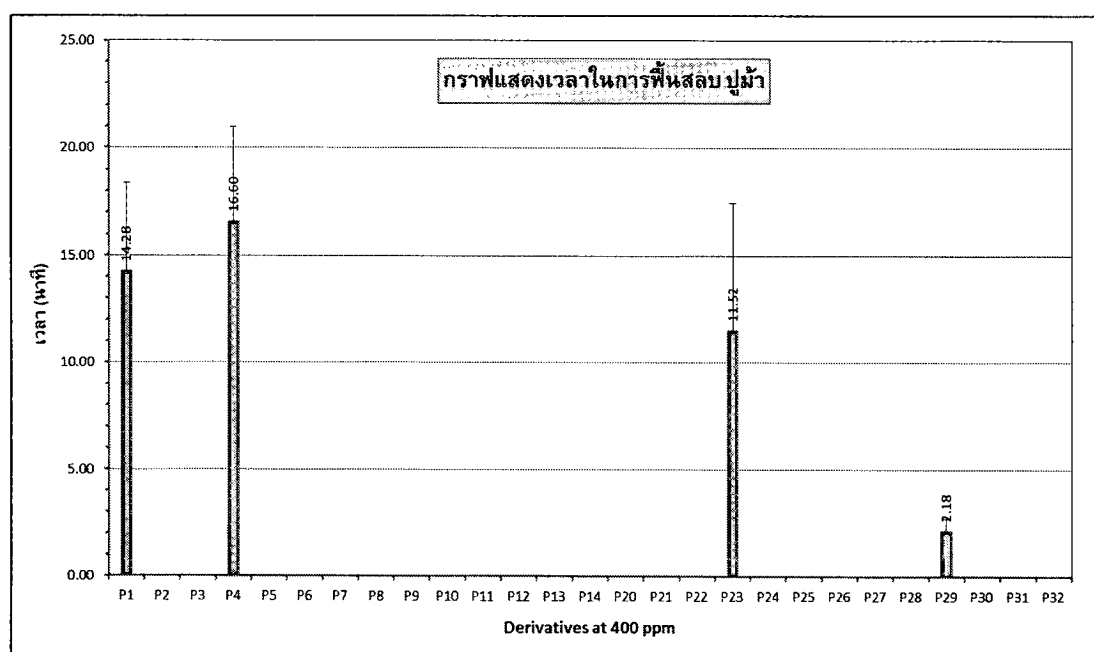
ในการทดลองในปูม้านี้ จะมีการเปลี่ยนแปลงการใช้ความเข้มข้นของสารอนุพันธ์จากเดิมที่ใช้ความเข้มข้นที่ 25 และ 50 ppm ซึ่งไม่สามารถทำให้ปูสลบได้ จึงได้ทดลองเพิ่มความเข้มข้นขึ้น จนถึงความเข้มข้น 400 ppm และได้ใช้ความเข้มข้นนี้ของสารอนุพันธ์ยูจีนอลที่เตรียมได้ทั้งสิ้น 25 ชนิด (P2-13 และ P20-P32) และชุดควบคุม P14 (control) ที่ไม่มีสารอนุพันธ์ของยูจีนอล เปรียบเทียบกับยูจีนอล (P1) พบว่าอนุพันธ์ส่วนใหญ่ยังคงไม่สามารถสลบปูม้าได้ โดยอนุพันธ์ที่ออกฤทธิ์ได้บ้าง ได้แก่ อนุพันธ์ P4 P23 และ P29 โดยใช้เวลาประมาณ 15.21 16.33 และ 12.74 นาที ตามลำดับเมื่อเทียบกับยูจีนอล (P1) ที่ใช้เวลาในการสลบเพียง 6.40 นาที (กราฟ 3.11)



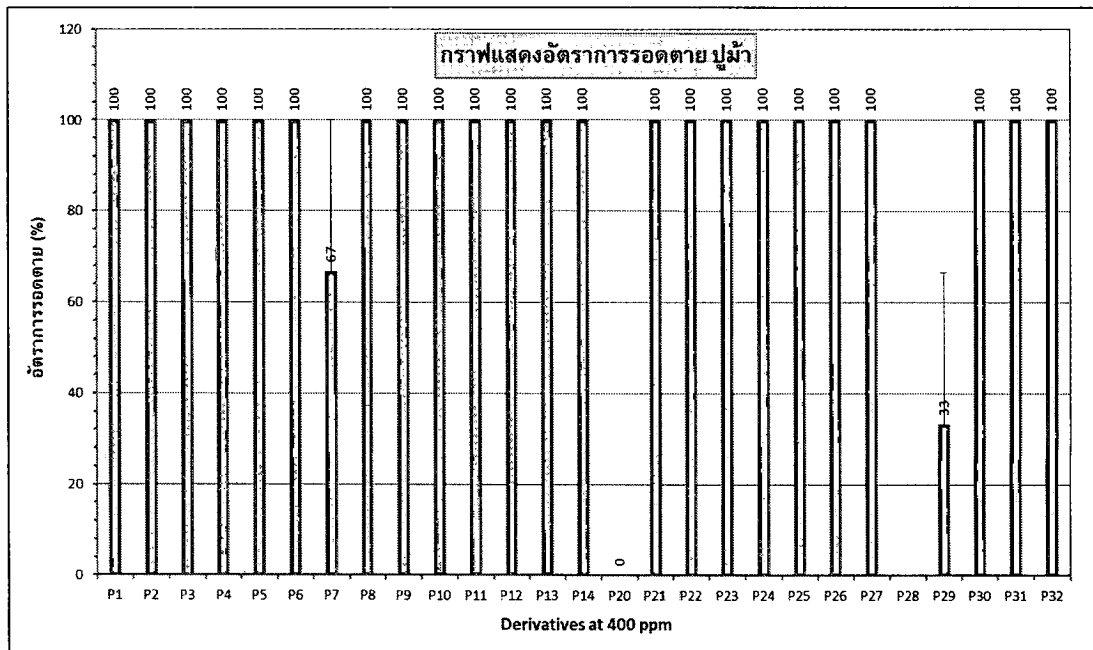
ในส่วนของการพื้นสลบ อนุพันธ์ P4 P23 และ P29 จะใช้เวลาในการพื้นสลบประมาณ 16.60 11.52 และ 2.18 นาที ตามลำดับเมื่อเทียบกับยูจีนอล (P1) ที่ใช้เวลาในการพื้นสลบ 14.28 นาที (กราฟ 3.12) และมีอัตราการรอดตาย 100% ยกเว้นอนุพันธ์ P29 ที่มีอัตราการรอดตายต่ำ (33%) แสดงว่ามีความเป็นพิษสูง เมื่อเทียบกับยูจีนอล ที่มีอัตราการรอดตายร้อยละ 100 แสดงรายละเอียดดังกราฟ 3.13 ดังนั้นจึงสามารถสรุปได้ว่าปูม้านี้มีความทนทานต่อการสลบสูง อาจจะเนื่องมาจากการปูม้ามีโครงสร้างของเหงือกที่แตกต่างไปจากสัตว์น้ำชนิดอื่น ซึ่งอาจจะมีการดูดซึมหรือการแพร่ผ่านของสารอนุพันธ์ได้ไม่ดีพอ หรือปูม้าอาจจะมีระบบประสาทที่ตอบสนองต่อสารสลบต่ำ หรืออนุพันธ์ที่ใช้ยังไม่สอดคล้องกับการรับรู้ของระบบประสาท แม้กระนั้นสารอ้างอิงยูจีนอลที่สามารถสลบปลาดุก ปลากระพง และกุ้งขาวได้ ยังต้องใช้ความเข้มข้นสูงถึง 400 ppm โดยสารอนุพันธ์ที่พอบำรุงชีพในกราฟใช้เป็นยาสลบในปูม้าได้ คือ อนุพันธ์ P4 ซึ่งเป็นอนุพันธ์ที่มีการดัดแปรหมุ่นแลลลิลให้กล้ายเป็นแอลเดน และอนุพันธ์ P23 ซึ่งเป็นของผสมระหว่างยูจีนอลกับเมนಥอล เป็นที่น่าสังเกตว่าผลกระทบของน้ำจะต่างจากในปลาดุก ปลากระพง และกุ้งขาว ที่อนุพันธ์ที่ออกฤทธิ์ส่วนใหญ่จะเป็นการดัดแปรหมุ่นฟังก์ชันบริเวณอื่น โดยจะต้องคงหมุ่นแลลลิลไว้ภายในโครงสร้างไม่เลกุล ในขณะที่ในปูม้านั้นอนุพันธ์ที่ออกฤทธิ์ได้จะเป็นอนุพันธ์ที่มีการดัดแปรโครงสร้างบริเวณหมุ่นแลลลิล ซึ่งในงานวิจัยครั้งนี้ได้สังเคราะห์ขึ้นเพียงชนิดเดียวเท่านั้น (เนื่องจากพิจารณาจากผลของการสลบในปลาดุก ปลากระพง และกุ้งขาวเป็นหลัก) ผู้วิจัยมีความเห็นว่าถ้าต้องการพัฒนายาสลบในปูม้าต้องเป็นอนาคตนั้น อาจจะต้องเน้นการสังเคราะห์อนุพันธ์ที่มีการดัดแปรบริเวณหมุ่นแลลลิลเป็นหลัก



กราฟ 3.11 เวลาที่ใช้ในการสลบปูม้า เมื่อทำการสลบด้วยอนุพันธ์ P1-P14, P20-P32 ที่ความเข้มข้น 25 และ 50 ppm

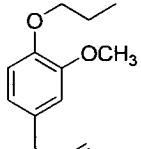
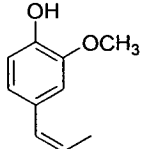
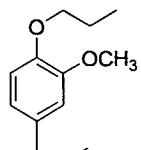
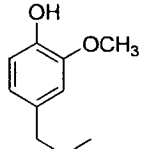


กราฟ 3.12 เวลาที่ใช้ในการพื้นสลบปูม้า ด้วยอนุพันธ์ P1-P14, P20-P32 ที่ความเข้มข้น 25 และ 50 ppm



กราฟ 3.13 อัตราการลดด้วยปูม้า เมื่อทำการลบด้วยอนุพันธ์ P1-P14, P20-P32 ที่ความเข้มข้น 25 และ 50 ppm

ตาราง 3.25 สรุปสารอนุพันธ์ที่มีศักยภาพที่ดีที่สุดในการลับ ปลาดุก ปลากระพง กุ้งขาว และปูม้า เมื่อเทียบกับสารอ้างอิงยูจีนอล (เลขในวงเล็บ)

ประเภท	อนุพันธ์	โครงสร้าง	ppm	ผลการทดสอบ* (นาที/%)		
				เวลาสลับ**	เวลาฟื้นสลับ**	อัตราการรอด**
ปลาดุก	P7		25	4.3 (10.2)	30.6 (10.3)	100 (81)
			50	3.4 (7.8)	40.5 (12.4)	100 (70)
ปลากระพง	P26		25	1.53 (1.01)	2.13 (2.14)	100 (100)
			50	0.76 (0.47)	2.81 (2.51)	100 (100)
กุ้งขาว	P7		25	4.27 (17.02)	38.58 (3.74)	100 (100)
			50	3.96 (5.64)	39.84 (3.77)	90 (100)
ปูม้า	P4		400	15.21 (6.40)	16.60 (14.28)	100 (100)

* แสดงผลเฉพาะในปลาดุกวัยรุ่น ปลากระพงขาว กุ้งขาวขนาดกลางและปูม้า

** ผลการทดสอบด้วยสารอ้างอิงยูจีนอลแสดงในวงเล็บ

เอกสารอ้างอิงบทที่ 3

- [1] Wilhelm, H., Wessjohann, L. A. An efficient synthesis of the phytoestrogen 8-prenylnaringenin from xanthohumol by a novel demethylation process. *Tetrahedron*, 2006, 62, 6961-6966.
- [2] Bernini, R., Barontini, M., Mosesso, P., Pepe, G., Willfor, S. M., Sjöholm, R. E., Eklundb, P. C., Saladino, R. A selective de-O-methylation of guaiacyl lignans to corresponding catechol derivatives by 2-iodoxybenzoic acid (IBX). The role of the catechol moiety on the toxicity of lignans. *Organic and Biomolecular Chemistry*, 2009, 7, 2367-2377.
- [3] Augusto, J., Rodrigues, R., Pedro de Oliveira Filho, A., Paulo Moran, J. S. Regioselectivity of the nitration of phenol by acetyl nitrate adsorbed on silica gel. *Tetrahedron*, 1999, 55, 6733-6738.
- [4] Jin-mei, Z., Yue-qing, L., Wei-jie, Z. Demethylating Reaction of Methyl Ethers. *The Proceedings of the 3rd International Conference on Functional Molecules*. China: State Key Laboratory of Fine Chemicals, Dalian University of Technology, Dalian 116012.
- [5] Zuo, L., Yao, S., Wang, W., Duan, W. An efficient method for demethylation of aryl methyl ethers. *Tetrahedron letters*, 2008, 49, 4054-4056.
- [6] Kwak, J. H., Cho, Y. A., Jang, J. Y., Seo, S. Y., Lee, H., Hong, J. T., Han, S. B., Lee, K., Kwak, Y. S. and Jung, J. K. Expedient synthesis of 4-O-methylhonokiol via Suzuki-Miyaura cross-coupling. *Tetrahedron*, 2011, 67(48), 1-4.
- [7] Bonin, C., Funicello, M., Scialpi, R., Spagnolo, P. Smiles rearrangement for the synthesis of 5-amino-substituted[1]benzothieno[2,3-b]pyridine. *Tetrahedron*, 2003, 59, 7515-7520.
- [8] Mizuno, M., Yamano, M. A New Practical One-Pot Conversion of Phenols to Anilines. *Organic Letters*, 2005, 7, 3629-3631.
- [9] Banno, T., Hayakawa, Y., Umeno, M. Some applications of the Grignard cross-coupling reaction in the industrial field. *Journal of Organometallic Chemistry*, 2008, 653, 288-291.
- [10] Fujisaki, S., Eguchi, H., Omura, A., Regioselective bromination of phenol. *Journal of Organic Chemistry*, 1993, 66, 6-16.
- [11] Majetich, G., Hicks, R., Reister, S. Electrophilic Aromatic Bromination Using Bromodimethyl sulfonium Bromide Generated in Situ. *Journal of Organic Chemistry*, 1997, 62, 4321-4326.
- [12] Roy, S. C., Guin, C., Ranaa, K. K., Maitib, G. An efficient chemo and regioselective oxidative nuclear bromination of activated aromatic compounds using lithium bromide and ceric ammonium nitrate. *Tetrahedron Letters*, 2001, 42, 6941-6942.

- [13] Joshi, A. V., Baidossi, M., Mukhopadhyay, S., Sasson, Y. Oxidative Bromination of Activated Aromatic Compounds Using Aqueous Nitric Acid as an Oxidant. *Organic Process Research & Development*, 2004, 8, 568-570.
- [14] Choi, H. Y., Srisko, E., Jang, K. S., Chi, D. Y. Electrophilic Aromatic Addition Reaction: Electrophilic Attack at an Aromatic H Substituent Position. *Journal of Organic Chemistry*, 2005, 70, 1222-1226.
- [15] Prakash, K. C., Ramaswamy, A. V., Suresh, B. W. Regioselective, photochemical bromination of aromatic compounds using *N*-bromosuccinimide. *Tetrahedron Letters*, 2008, 49, 189-194.
- [16] Adibi, H., Abdol, R. H., Hashemi, M. A convenient and regioselective oxidative bromination of electron-rich aromatic rings using potassium bromide and benzyltriphenylphosphonium peroxyomonosulfate under nearly neutral reaction conditions. *Tetrahedron Letters*, 2007, 48, 1255-1259.
- [17] Chen, C. M., Liu, Y. C. A concise synthesis of honokiol. *Tetrahedron Letters*, 2009, 50, 1151-1152.
- [18] Bovonsombat, P., Ali, R., Khan, C. Facile *p*-toluenesulfonic acid-promoted para-selective monobromination and chlorination of phenol and analogues. *Tetrahedron*, 2010, 66, 6928-6935.
- [19] Greene, T. W., Wuts, P. G. M. Protective groups in organic synthesis, *A Wiley-Interscience Publication USA*, 1999, 251.
- [20] Azzena, U., Dettori, G., Idini, M. V., Pisano, L., Sechi, G. Regioselective reductive demethoxylation of 3,4,5-trimethoxystilbenes. *Tetrahedron*, 2003, 59, 7961-7966.
- [21] Nitin, S., Nandurkar, M. J., Bhanushali, S. R., Bhalchandra, J., Bhanage, M. Ultrasound promoted regioselective nitration of phenols using dilute nitric acid in the presence of phase transfer catalyst, *Ultrasonics Sonochemistry*, 2007, 14, 41-45.
- [22] Joshi, A. V., Baidossi, M., Mukhopadhyay, S., Sasson, Y. Nitration of Phenol and Substituted Phenols with Dilute Nitric Acid Using Phase-Transfer Catalysts. *Organic Process Research and Development*. 2003, 7(1), 95-97.
- [23] Canales, L., Bandyopadhyay, D., Banik, B. K. Bismuth nitrate pentahydrate-induced novel nitration of eugenol. *Organic and Medicinal Chemistry Letters*, 2011, 1-9.
- [24] Chen, C. M., Liu, Y. C. A concise synthesis of honokiol, *Tetrahedron Letters*, 2009, 50, 1151-1152.
- [25] Bolton, J. L., Comeau, E. and Vukonmanovic, V. The influence of 4-alkyl substituents on the formation and reactivity of 2-methoxy-quinone methides: evidence that extended conjugation dramatically stabilizes the quinone methide formed from eugenol. *Chemico-Biological Interactions*, 1995, 95, 279-290.

- [26] Carrasco, A. H., Espinosa, C. L., Cardile, V., Gallardo, C., Cardona, W., Lombardo, L., Catalan, M. K., Cuellar, F. M., Russo, A., Eugenol and its synthetic analogue inhibit cell growth of human cancer cells (part I). *Journal of Brazilian Chemical Society*, 2008, 19, 3, 543-548.
- [27] Wang, A., Jiang, H. Palladium-Catalyzed Direct Oxidation of Alkenes with Molecular Oxygen: General and Practical Methods for the Preparation of 1,2-Diols, Aldehydes, and Ketones, *Journal of Organic Chemistry*, 2010, 75, 7, 2321-2326.
- [28] Rajesh, K., Somasundaram, M., Saiganesh, R., Balasubramanian, K. K. Bromination of Deactivated Aromatic. A simple and Efficient Method, *Journal of Organic Chemistry*, 2007, 5867-5869.
- [29] Menini, L., Elena V. G. Novel highly selective catalytic oxychlorination of phenols, *Chemistry Communication*, 2006, 209-211.
- [30] Sudarma, I. M., Ulfa, M., Sarkono. Chemical Transformation of Eugenol Isolated from Clove Oil to 4-allyl-2-methoxy-6-sulfonicphenol and 4-allyl-2-methoxy-6-aminophenol, *Indonesia Journal of Chemistry*, 2009, 9(2), 267-270.